

Unified methodology for forecasting temperature conditions in mines (Единая методика прогнозирования температурных условий в угольных шахтах)

Authors Kuzin V.A., Velichko A.E., Khokhotva N.N., Yakovenko A.K., Bodnya S.F. (sections 1, 4); Stukalo VA (subsection 1.2. 4.3) Frolov N.A., Fandeyev M.I., Filimonenko V.T. (subsection 1.1.8), Krivoruchko AM (subsection 1.2.2.1), Medvedev B.I., Zhuravlenko V.Y. (subsection 1. 4), (Subsection 1.2.2.1) Scherban A.N., Chernyak V.P., Malashenko E.N., Zimin L.B., Matskovaia A.G., Braycheva N.A. (subsections 1.4, 1.6, Lanchava O.A. (section 2) Oniani S.I., Gandler S.G. (section 3). Dyadkin Y.D., Shuvalov Y.V., Gandler S.G.

Publication date 1979

Volume 1

Pages 196

Министерство угольной промышленности СССР
ГОСУДАРСТВЕННЫЙ
МАКЕЕВСКИЙ ОРДЕНА ОКТЯБРЬСКОЙ РЕВОЛЮЦИИ
НАУЧНО-ИССЛЕДОВАТЕЛЬСКИЙ ИНСТИТУТ
ПО БЕЗОПАСНОСТИ РАБОТ В ГОРНОЙ ПРОМЫШЛЕННОСТИ

ЕДИНАЯ МЕТОДИКА
ПРОГНОЗИРОВАНИЯ
ТЕМПЕРАТУРНЫХ УСЛОВИЙ
В УГОЛЬНЫХ ШАХТАХ

Макеевка—Донбасс
1979

Министерство угольной промышленности СССР
ГОСУДАРСТВЕННЫЙ МАКЕЕВСКИЙ ОРДЕНА ОКТЯБРЬСКОЙ РЕВОЛЮЦИИ
НАУЧНО-ИССЛЕДОВАТЕЛЬСКИЙ ИНСТИТУТ ПО БЕЗОПАСНОСТИ РАБОТ
В ГОРНОЙ ПРОМЫШЛЕННОСТИ

УТВЕРЖДЕНО

Министерством угольной
промышленности СССР
29 декабря 1978 г.

ЕДИНАЯ МЕТОДИКА
ПРОГНОЗИРОВАНИЯ ТЕМПЕРАТУРНЫХ УСЛОВИЙ В УГОЛЬНЫХ ШАХТАХ

Макеевка-Донбасс

1979

О Г Л А В Л Е Н И Е

	Стр.
ВВЕДЕНИЕ	4
ОСНОВНЫЕ УСЛОВНЫЕ ОБОЗНАЧЕНИЯ	7
1. МЕТОДИКА ПРОГНОЗИРОВАНИЯ ТЕМПЕРАТУРНЫХ УСЛОВИЙ ГЛУБОКИХ ШАХТ	10
1.1. Выбор исходных данных	10
1.2. Расчет тепловыделений местных источников в горных выработках	20
1.3. Расчет коэффициентов теплопередачи трубопрово- дов с тепло- и хладоносителем в горных выработ- ках	28
1.4. Расчет коэффициентов нестационарного теплооб- мена между горным массивом и воздухом в выра- ботках	31
1.5. Тепловой расчет горных выработок	38
1.6. Упрощенный способ тепловых расчетов горных выработок	42
1.7. Пример теплового расчета	46
1.8. Пример теплового расчета по упрощенному спо- собу	71
2. МЕТОДИКА ПРОГНОЗИРОВАНИЯ ТЕМПЕРАТУРНОГО РЕЖИМА ШАХТ В ОСЛОЖНЕННЫХ УСЛОВИЯХ	75
2.1. Выбор исходных данных	75
2.2. Тепловой расчет горных выработок, расположенных в зоне восходящего движения термальных вод	80
2.3. Пример теплового расчета выработки с термаль- ными водами	88
3. МЕТОДИКА ПРОГНОЗИРОВАНИЯ ТЕМПЕРАТУРНЫХ УСЛОВИЙ ШАХТ СЕВЕРА	92
3.1. Выбор исходных данных	92
3.2. Расчет тепловыделений местных источников в горных выработках	101
3.3. Нестационарный теплообмен воздушного потока с горным массивом	103

3.4. Тепловой расчет горных выработок	110
3.5. Пример теплового расчета угольной шахты Севера	113
4. МЕТОДИКА ПРОГНОЗИРОВАНИЯ ТЕМПЕРАТУРНЫХ УСЛОВИЙ В ВЫРАБОТКАХ, ПРОВЕТРИВАЕМЫХ С ПОМОШЬЮ ВЕНТИЛЯТОРОВ МЕСТНОГО ПРОВЕТРИВАНИЯ	127
Основные условные обозначения	127
4.1. Выбор исходных данных	129
4.2. Расчет тепловыделений местных источников	135
4.3. Расчет коэффициентов теплопередачи вентиляцион- ных трубопроводов в тупиковых выработках	135
4.4. Расчет коэффициентов нестационарного теплооб- мена между горным массивом и воздухом	136
4.5. Расчет температуры в тупиковой выработке без охлаждения воздуха	138
4.6. Расчет температуры в тупиковой выработке при искусственном охлаждении воздуха	141
4.7. Пример расчета ожидаемых значений температуры воздуха и необходимой холодопроизводительности воздухоохладителя для тупиковой выработки	152
ПРИЛОЖЕНИЯ	175

В В Е Д Е Н И Е

Увеличение добычи угля и повышение производительности труда, намеченные XXV съездом КПСС, связаны с дальнейшим развитием угольных бассейнов страны. В настоящее время в Донецком бассейне более чем на 100 шахтах добыча угля производится с глубины свыше 600 м, а на ряде шахт Донбасса, Грузии и Севера разработки ведутся на глубине 1200 м. Строятся и проектируются новые шахты с глубиной разработки до 1500 м.

В рабочих зонах глубоких шахт, особенно при неудовлетворительном проветривании, больших нагрузках на забои и высоких темпах прохождения горных выработок, температура воздуха превышает нормативную величину. Высокая температура воздуха вызывает снижение производительности труда и повышение производственного травматизма. Задача регулирования теплового режима является актуальной также для шахт Севера и других специфических условий строительства и эксплуатации угольных шахт. Создание нормальных температурных условий на рабочих местах в угольных шахтах как за счет горнотехнических мероприятий, так и применением кондиционирования воздуха, должно базироваться на научно обоснованных методах тепловых расчетов.

Советскими учеными разработаны теоретические основы прогноза и регулирования теплового режима шахт в различных условиях, что послужило научной базой для составления методик теплового расчета. Эти методики до последнего времени использовались проектными, научно-исследовательскими организациями и горными предприятиями.

За последние 10-15 лет выполнен большой объем теоретических и экспериментальных исследований, направленных на совершенствование методов тепловых расчетов шахт. Настоящая методика разработана в соответствии с планами научно-исследовательских работ Государственного Макеевского научно-исследовательского института по безопасности работ в горной промышленности, Института технической теплофизики АН УССР, Ленинградского горного института, Института горной механики АН Гр.ССР, Новочеркасского политехнического инсти-

тута, Донецкого научно-исследовательского угольного института с учетом результатов, полученных в данной области другими организациями.

В методике излагаются указания по выбору исходных данных, способы их определения, зависимости для расчета температуры воздуха и холодоносителя в системах трубопроводов холодильных установок при прямых и обратных тепловых расчетах горных выработок. Методика состоит из четырех разделов. При составлении "Единой методики ..." принята последовательность изложения материала, при которой методы определения расчетных величин, общие для всех разделов методики, изложены в первом разделе, посвященном вопросам прогнозирования температурных условий в выработках глубоких шахт. Методы тепловых расчетов выработок, отражающие специфичность условий разработки, изложены в последующих разделах. Во втором разделе приведена методика прогнозирования теплового режима шахт в осложненных условиях, учитываящая влияние сложного рельефа поверхности, формы залегания пород, наличия в горном массиве восходящих потоков термальных вод. Третий раздел методики содержит расчетные зависимости для прогнозирования температурных условий в выработках шахт Севера, учитывающие сложный характер теплообменных процессов в толще мерзлых пород и закономерности изменения климатических условий на поверхности. В четвертом разделе приведены методы тепловых расчетов выработок, проветриваемых с помощью вентиляторов местного проветривания.

Методика является руководящим материалом для проектных организаций, занимающихся разработкой проектов новых и реконструируемых шахт, подготовки новых горизонтов и участков действующих шахт, а также для специалистов угольных предприятий и научно-исследовательских институтов, занимающихся вопросами прогноза и регулирования теплового режима шахт. С выходом "Единой методики ..." утрачивают силу при проектировании шахт: "Временная инструкция по проверке количества воздуха для проектирования угольных шахт по тепловому фактору", утвержденная Минуглепромом СССР 30 декабря 1966 г.; "Методика теплового расчета дав при повышенных нагрузках на очистные забои" и "Методика по прог-

нозированию температурных условий в тупиковых горных выработках", утвержденные Минуглепромом СССР 8 июля 1976 г.

В разработке методики принимали участие: Кузин В.А., Величко А.Е., Хохотва Н.Н., Яковенко А.К., Бодня С.Ф. (разделы I,4); Фролов М.А., Фандеев М.И., Филимоненко В.Т. (подраздел I.I.8); Криворучко А.М. (подраздел I.2.2.1); Медведев Б.И., Стукало В.А. (подраздел I.2.4.3); Журавленко В.Я.(подраздел I.4); Шербакъ А.Н., Черняк В.П., Малашенко Э.Н., Зимин Л.Б., Мацьковая А.Г., Брайчева Н.А. (подразделы I.4, I.6, раздел 4); Ониани Ш.И., Ланчава О.А (раздел 2); Дядькин Ю.Д., Шувалов Ю.В., Гендлер С.Г. (раздел 3).

Общая координация работ, обобщение материала и редактирование методики выполнены в МакНИИ под руководством Кузина В.А. и Хохотвы Н.Н.

ОСНОВНЫЕ УСЛОВНЫЕ ОБОЗНАЧЕНИЯ

A_f, A_n	- соответственно фактическая и номинальная производительность установки, машины и др., т/ч ;
α	- коэффициент температуропроводности, $m^2/ч$;
$\alpha_k, \alpha_p, \alpha_y$	- коэффициенты температуропроводности соответственно пород кровли, почвы и угля, $m^2/ч$;
$\alpha_{ср}$	- средневзвешенное значение коэффициента температуропроводности горных пород, $m^2/ч$;
b	- ширина конвейера в лаве, м;
$Г_{ср}$	- средняя для геотермического участка величина геотермической ступени, $m/°C$;
C	- удельная теплоемкость, ккал/кг. $°C$;
C_p	- теплоемкость воздуха при постоянном давлении, $C_p = 0,24$ ккал/кг. $°C$;
$C_{тр}$	- теплоемкость тепло- или хладоносителя, ккал/кг. $°C$;
C_k, C_p, C_y	- соответственно коэффициенты теплоемкости пород кровли, почвы и угля, ккал/кг. $°C$;
$C_{ср}$	- средневзвешенное значение коэффициента теплоемкости, ккал/кг. $°C$;
d_i	- наружный диаметр трубопровода, м ;
d_{in}	- внутренний диаметр трубопровода, м ;
q	- влагосодержание насыщенного воздуха, кг/кг ;
G	- средний весовой расход воздуха в выработке, кг/ч ;
G_t	- весовой дебит термальных вод, кг/ч ;
$G_{ж}$	- расход сжатого воздуха, кг/ч ;
$G_{тр}$	- расход тепло- или хладоносителя, кг/ч ;
$q_{ок}$	- удельное тепловыделение от окисления, ккал/ $m^2 \cdot ч$;
H, H_e	- глубина от поверхности расчетного пункта выработки, м; глубина от поверхности начального и конечного пунктов выработки, м;
ΔH	- разность высотных отметок начала и конца расчетного участка выработки, м;
$K_з$	- коэффициент загрузки электродвигателя во времени ;
$K_{утв}$	- коэффициент, учитывающий утечки воздуха через выработанное пространство ;
K_p	- коэффициент разрыхления транспортируемого ископаемого;
$K_{эо}$	- расход электроэнергии на один т.км, кВт.ч;
K_3	- коэффициент теплопередачи от воды к воздуху, ккал/ $m^2 \cdot ч \cdot °C$;
$K_{тр}$	- коэффициент теплопередачи неизолированного трубопровода, ккал/ $m^2 \cdot ч \cdot °C$;
$K_{ктр}, K_{ттр}$	- коэффициенты теплопередачи трубопроводов соответственно с хладо- и теплоносителем, ккал/ $m^2 \cdot ч \cdot °C$;
K_t	- коэффициент нестационарного теплообмена между горным массивом и воздухом, ккал/ $m^2 \cdot ч \cdot °C$;
$K_{тз}$	- коэффициент нестационарного теплообмена между угольным забоем и воздухом, ккал/ $m^2 \cdot ч \cdot °C$;
$K_{тв}$	- коэффициент нестационарного теплообмена между углем на конвейере и воздухом в лаве, ккал/ $m^2 \cdot ч \cdot °C$;
$K_{тп,к}$	- коэффициент нестационарного теплообмена соответственно пород почвы и кровли, ккал/ $m^2 \cdot ч \cdot °C$;
$K_{тв}$	- коэффициент нестационарного теплообмена между породами выработанного пространства и воздухом, ккал/ $m^2 \cdot ч \cdot °C$;
L	- длина горной выработки, м ;
m_a	- коэффициент электрических потерь ;
N	- установленная мощность электродвигателей, кВт ;

$N_{\text{пп}}$	- установленная мощность пневмодвигателя, л.с.;
N_p	- потребляемая мощность, кВт ;
N_c	- часовая мощность комбайна, кВт ;
P	- барометрическое давление воздуха в горной выработке, мм рт.ст. ;
P_{t_1}	- парциальное давление насыщенных водяных паров в воздухе при температуре шахтной воды, мм рт.ст. ;
P_{t_0}	- парциальное давление насыщенных паров при температуре воздуха в начале выработки, мм рт.ст. ;
$P_{t_{tr}}$	- парциальное давление насыщенных водяных паров в воздухе при температуре стенки трубопровода, мм рт.ст. ;
Q	- количество воздуха, поступающего на выемочный участок, м ³ /мин;
$Q_{\text{оч}}$	- количество воздуха, проходящего по рабочему пространству лавы, м ³ /мин;
$\Sigma Q_{\text{ми}}$	- тепловыделения местных источников в выработке, ккал/ч;
R_o	- эквивалентный радиус выработки, м;
R_b	- радиус эквивалентного вагонетке шара, м;
τ_w	- скрытая теплота испарения воды, $\tau = 0,59 \text{ ккал}/\text{kg}$;
τ_l	- скрытая теплота плавления льда, $\tau' = 0,08 \text{ ккал}/\text{kg}$;
F_b	- поверхность теплоотдачи шахтной воды, м ² ;
S_{tr}	- сечение горной выработки, м ² ;
S_{vol}	- площадь поперечного сечения транспортируемого ископаемого, м ² .
U_{tr}	- площадь поперечного сечения вагонетки, м ² ;
U_b	- периметр среднего сечения выработки, м;
U_{tr}	- периметр вагонетки, м ;
U_{tr}	- внешний периметр трубопровода, м;
$U_{tr}, U_{t_{tr}}$	- соответственно периметры охлаждающего, греющего трубопровода, м;
T	- расчетное время проветривания выработки, ч ;
T_3	- расчетное время проветривания угольного забоя лавы, ч;
T_n	- среднее время, затрачиваемое на снятие одной полосы угля по длине лавы в течение цикла с учетом ремонтно-подготовительных операций, ч;
T_{30}	- продолжительность работы электровозной откатки, ч/сутки;
t	- температура воздуха в выработке, °C :
t_c	- средняя температура воздуха на расчетном участке выработки, °C ;
t_1, t_2	- температура воздуха соответственно в начале и конце выработки, °C ;
t_{3n}	- средняя температура земной поверхности геотермического участка, в пределах которого находится шахтное поле, °C ;
t_n	- естественная температура горных пород, °C ;
t_{npr}	- средняя по длине выработки естественная температура горных пород, °C ;
t_t	- температура термальных вод, °C ;
t_b	- средняя температура воды в канавке на расчетном участке, °C ;
t_{om}	- температура сжатого воздуха в трубопроводе перед пневмодвигателем, °C ;
t_{st_1}, t_{st_2}	- температура поверхности выработки соответственно в начале и конце участка, °C ;
t_{tr}	- температура поверхности трубопровода, °C ;
φ	- относительная влажность воздуха, в долях единицы ;
φ_{cr}	- средняя относительная влажность воздуха, в долях единицы ;
φ_1, φ_2	- относительная влажность воздуха в начале и конце выработки, в долях единицы ;

U_1	- скорость движения воздуха, м/сек ;
U_2, U_3	- средняя скорость движения воздуха в выработке, м/с;
U_4, U_5, U_6	- скорость движения воздуха соответственно по первой, второй, третьей технологическим дорогам лавы, м/с ;
V_1	- скорость движения конвейерной ленты, м/с ;
V_2	- скорость движения воды в канавке, м/с ;
V_3	- объем вагонетки, м ³ ;
δ_k	- толщина крепи, м ;
$\delta_{k,p}$	- толщина покрытия канавки, м;
α	- коэффициент теплоотдачи от поверхности выработки к воздуху, ккал/м ² .ч.°С ;
χ_c	- среднее значение коэффициента теплоотдачи от поверхности вагонеток с полезным ископаемым за период пребывания их в выработке, ккал/м ² .ч.°С ;
λ_1	- коэффициент теплоотдачи от воды к покрытию канавки, ккал/м ² .ч.°С ;
$\lambda_k, \lambda_p, \lambda_m$	- соответственно конвективная, радиационная и массообменная составляющие коэффициента теплоотдачи от трубопровода к воздушному потоку, ккал/м ² .ч.°С ;
λ_b	- коэффициент теплоотдачи от подвижного агента в трубопроводе к его стенке, ккал/м ² .ч.°С ;
λ_{tr}	- коэффициент теплоотдачи от трубопровода к воздушному потоку, ккал/м ² .ч.°С ;
λ	- коэффициент теплопроводности горных пород, ккал/м.ч.°С ;
λ_{sp}	- эффективное значение коэффициента теплопроводности пород, ккал/м.ч.°С ;
$\lambda_x, \lambda_p, \lambda_u$	- соответственно коэффициенты теплопроводности пород кровли, почвы и угля, ккал/м.ч.°С ;
λ_{tr}	- коэффициент теплопроводности материала трубопровода, ккал/м.ч.°С ;
λ_{kr}	- коэффициент теплопроводности крепи, ккал/м.ч.°С ;
ρ_1	- плотность рудничного воздуха, кг/м ³ ;
ρ_2	- плотность воды, кг/м ³ ;
ρ_3	- к.п.д. родуктора ;
ρ_4	- к.п.д. двигателя ;
θ_1	- механический к.п.д. насосов, маслонасосов ;
θ_2	- температура подвижного агента в трубопроводе в начале выработки, °С ;
θ_3	- температура подвижного агента в трубопроводе в конце выработки, °С ;
$\Theta_{t\infty}, \Theta_{w\infty}$	- среднее значение температуры подвижного агента в трубопроводе на расчетном участке выработки, °С ;
ξ	- коэффициент влаговыделения ;
φ	- угол наклона выработки, град ;
ζ	- коэффициент троховатости ;
Φ_p	- геотермический градиент, °С/м ;
	- охлаждение эффект расширения воздуха в изогнутых излучателях, ккал/ч.

Критерии теплового подобия:

F_0 - Фурье;
 Bl - Бло;

K_U - Карпичев ;
 K_O - Коссович .

I. МЕТОДИКА ПРОГНОЗИРОВАНИЯ ТЕМПЕРАТУРНЫХ УСЛОВИЙ ГЛУБОКИХ ШАХТ

I.I. Выбор исходных данных

Тепловому расчету горных выработок должны предшествовать анализ горногеологических и горнотехнических условий разработки (схем вскрытия и подготовки месторождения, схем проветривания, схем транспортирования полезного ископаемого); определение тепло-влажностных параметров воздуха, подаваемого в шахту; установление значений относительной влажности воздуха в горных выработках; определение для каждой выработки геометрических и технических характеристик (длины, угла наклона, площади и периметра сечения, вида крепи); расхода воздуха; наличия местных источников тепла (машин и механизмов, транспорт добываемого ископаемого и пород, шахтная вода и др.); естественной температуры горных пород, окружающих выработку, и их теплофизических свойств, а также времени проветривания горных выработок.

I.I.I. Геометрические характеристики выработок принимаются по данным технологических проектов или шахтных замеров.

I.I.I.I. Периметр среднего сечения выработки определяется по формуле

- для трапециевидного крепления

$$\lambda = 4,16 \sqrt{S} ; \quad (I.1)$$

- для арочного крепления

$$\lambda = 3,8 \sqrt{S} . \quad (I.2)$$

I.I.I.2. Эквивалентный радиус выработки определяется по формуле

$$R_o = \frac{2 S}{\lambda} . \quad (I.3)$$

I.I.2. Расход воздуха по выработкам принимается по результатам шахтных замеров, а при их отсутствии определяется по проекту вентиляции шахты.

Количество воздуха, поступающего на проветривание лав, рассчитывается с учетом воздухораспределения в пределах выемочных участков

$$Q_{\text{оч}} = \frac{Q}{K_{y\text{м}\delta}} . \quad (I.4)$$

Значение коэффициента утечек воздуха $K_{y\text{м}\delta}$ принимается в зависимости от принятой схемы проветривания выемочного участка, способа управления кровлей, состава вмещающих боковых пород (см. "Инструкция по расчету количества воздуха, необходимого для проветривания действующих угольных шахт", табл. 31 или "Руководство по проектированию вентиляции угольных шахт", табл. 22).

I.I.3. Скорость движения воздуха по технологическим дорогам лав на пологом падении определяется по формулам:

- для лав, оборудованных механизированными комплексами:

I дорога

$$v'_1 = (1,10 \div 1,15) v'_{cp} ; \quad (I.5)$$

II дорога

$$v'_2 = (0,60 \div 0,65) v'_{cp} ; \quad (I.6)$$

- для лав с индивидуальной крепью:

I дорога

$$v'_1 = (1,10 \div 1,20) v'_{cp} ; \quad (I.7)$$

II дорога

$$v'_2 = (0,80 \div 0,90) v'_{cp} ; \quad (I.8)$$

III дорога

$$v'_3 = (0,75 \div 0,80) v'_{cp} , \quad (I.9)$$

где v'_{cp} - средняя скорость воздуха в рабочем пространстве лавы, м/с; вычисляется по формуле

$$v'_{cp} = \frac{Q_{\text{оч}}}{60 \cdot S_A} , \quad (I.10)$$

Таблица I.1

Среднемесячные гидрохимические параметры атмосферного воздуха для Донецкого бассейна

Температурно-влажностные параметры воздуха	ЯНВАРЬ	ФЕВРАЛЬ	МАРТ	АПРЕЛЬ	МАЙ	ИЮНЬ	ИЮЛЬ	АUGUST	СЕНТЯБРЬ	ОКTOBРЬ	НОЯБРЬ	ДЕКАБРЬ	СРЕДНЕГОДОВЫЙ
температура воздуха, °C	-5,4	-5,6	-1,4	8,6	15,9	20,1	21,8	21,0	14,6	7,6	1,1	-3,1	7,9
относительная влажность, в долих единицах	0,89	0,86	0,82	0,65	0,58	0,57	0,58	0,57	0,63	0,75	0,85	0,90	0,72
температура воздуха, °C	-6,5	-6,8	-2,8	7,8	15,2	19,7	21,3	20,5	14,1	7,0	-0,4	-4,1	7,1
относительная влажность, в долих единицах	0,93	0,91	0,86	0,67	0,60	0,59	0,59	0,58	0,64	0,77	0,87	0,92	0,74
температура воздуха, °C	-5,6	-6,0	-1,6	9,0	16,4	20,7	22,4	21,5	14,6	7,8	0,4	-3,0	8,1
относительная влажность, в долих единицах	0,84	0,82	0,79	0,63	0,56	0,55	0,56	0,57	0,62	0,75	0,80	0,85	0,69
температура воздуха, °C	-6,0	-6,1	-1,5	9,4	16,8	21,2	23,0	22,1	15,3	8,1	0,6	-3,0	8,5
относительная влажность, в долих единицах	0,89	0,86	0,83	0,63	0,57	0,54	0,54	0,54	0,62	0,75	0,80	0,88	0,70

где S_A - площадь пограничного слояния призабойного пространства лавы, м^2 .

1.1.4. Скорость движения воздуха по технологическим дорогам в лавах крутопадающих пластов принимается равной средней скорости движения в рабочем пространстве лавы.

1.1.5. Значения температуры и относительной влажности атмосферного воздуха на поверхности шахт принимаются по данным многолетних наблюдений ближайших метеостанций. Эти значения для условий Донбасса приведены в табл. I.1. Район, к которому относится шахта, определяется по схематической карте метеорологического районирования (рис. I.1).

При тепловых расчетах для летнего периода года в найденные по табл. I.1 среднемесячные значения параметров атмосферного воздуха вносятся соответствующие поправки из табл. I.2 в зависимости от расположения рассматриваемой шахты на местности.

Таблица I.2

Поправки на изменение параметров воздуха, поступающего в шахту, в зависимости от расположения шахты на местности

Группы шахт	Повышение температуры, $^{\circ}\text{C}$	Снижение относительной влажности, в долях единиц
<u>1. группа.</u> Шахты расположены в больших промышленных городах не более 1 км от крупных промышленных объектов	2,0	0,06
<u>2 группа.</u> Шахты расположены в застроенной части города без промышленных объектов, на окраине города и не более 1 км от него	1,5	0,04
<u>3 группа.</u> Шахты расположены в полевых условиях более 1 км от города.	1,0	0,02
<u>4 группа.</u> Шахты расположены в вогнутой форме рельефа.	2,0	0,07

I.I.6. Барометрическое давление воздуха в горной выработке определяется по формуле

$$P = P_0 + 0,09 H, \quad (I.II)$$

где P_0 - среднемесячное давление воздуха, поступающего в шахту, мм рт. ст.; рассчитывается по формуле

$$P_0 = P_{cm} - \frac{H_0 P_{cm}}{8000(1+0,004 t_{cm})}, \quad (I.II) *$$

где H_0 - абсолютная отметка устья воздухоподающего ствола относительно уровня моря, которая определяется по гипсометрической карте шахты, м;

t_{cm} - среднемесячная температура атмосферного воздуха, $^{\circ}\text{C}$; определяется по табл. I.I и I.2 ;

P_{cm} - среднемесячное значение атмосферного давления, приведенного к уровню моря, мм рт.ст.; определяется по табл. I.3.

Таблица I.3

Среднемесячное атмосферное давление воздуха, приведенное к уровню моря

Месяцы	I	II	III	IV	V	VI	VII
Атмосферное давление, мм рт.ст.	765,8	765,4	763,8	761,6	761,4	759,1	
Месяцы	VIII	IX	X	XI	XII	I	II
Атмосферное давление, мм рт.ст.	758,4	759,9	763,2	765,5	766,4	766,1	

I.I.7. Относительная влажность воздуха в горных выработках принимается по данным шахтных замеров.

При отсутствии последних относительную влажность рекомендуется принимать в зависимости от геологических характеристик имеющихся горных пород и ожидаемого притока шахтной воды. Значения относительной влажности принимаются:

I.I.7.1. В околоствольных дворах: при отсутствии притоков шахтной воды - $0,50 + 0,70$; при притоке воды до $5,0 \text{ м}^3/\text{ч}$ - $0,70 + 0,85$; при притоке до $20 \text{ м}^3/\text{ч}$ - $0,85 + 0,95$; при большем водопритоке - $0,95 + 1,0$.

I.I.7.2. В основных воздухоподъемных выработках: сухих - $0,55 + 0,65$; с влажной почвой или капежом на отдельных участках - $0,70 + 0,80$; обводненных - $0,8 + 0,9$.

I.I.7.3. В участковых выработках: сухих - $0,70 + 0,75$; с конвейерным транспортом, влажной почвой или капежом на отдельных участках - $0,6 + 0,9$; обводненных - $0,90 + 0,95$.

I.I.7.4. В начале и конце лав, в зависимости от вида выполняемых работ технологического цикла по добыче угля и влажностного состояния горного массива, по табл. I.4.

Таблица I.4

Средние значения относительной влажности воздуха в начале лав и темп ее изменения по длине

Вид работ в лаве	Уровень относительной влажности воздуха на ходе в лавы, в долях единицы		Величина изменения относи- тельной влажности на 100 м длины лавы, в долях единицы	
	"сухие"	"влажные"	"сухие"	"влажные"
Ремонтная смена	0,735	0,89	-0,018	0,025
Добычная смена	0,705	0,88	-0,038	0,033

к "влажные" относятся лавы с повышенной влажностью угольного пласта (более 5%); лавы, кровля или почва которых представлена породами, насыщенными гравитационной водой (капиллярной или свободной) или породами, обладающими большой водопоглощающей способностью (например, известняками).

I.I.8. Относительная влажность воздуха при обратных тепловых расчетах и проектировании искусственного охлаждения в пределах выемочного участка принимается в зависимости от дали обрабатываемого воздуха в воздухоохладителе и удаления пункта охлаждения от лавы.

Значения относительной влажности воздуха и темпы ее изменения в воздухоподающих выработках при удалении пункта охлаждения от лавы не более 150 м для наиболее характерных случаев приведены в табл. I.5. При большем удалении значения относительной влажности принимаются согласно п. I.I.7.3.

Таблица I.5

Относительная влажность воздуха и темп ее изменения в участковых воздухоподающих выработках при искусственном охлаждении

Доля воздуха, обрабатываемого в воздухоохладителе от поступающего из выработки, %	Относительная влажность воздуха в воздухоподающей выработке за пунктом охлаждения, в долях единицы	Снижение относительной влажности на 100 м длины воздухоподающей выработки, * в долях единицы	
		"сухие"	"влажные"
95 - 100	0,98 - 1,00	0,12 - 0,15	0,04 - 0,05
65 - 70	0,91 - 0,94	0,09 - 0,11	0,02 - 0,03

* Нижний предел снижения относительной влажности принимается для выработок на глубине до 900 м, верхний - на глубине более 1000 м.

Величина изменения относительной влажности воздуха по длине лавы принимается согласно п. I.I.7.4.

I.I.9. Естественная температура горного массива в начале каждой выработки определяется по формуле

$$t_n = t_{зп} + \frac{H}{\Gamma_{ср}} . \quad (I.13)$$

Значения величин $t_{зп}$ и $\Gamma_{ср}$ для отдельных геотермических участков Донецкого бассейна приведены в табл. П.I.1, П.I.2.

I.I.10. Техофизические свойства горных пород (теплопроводность λ , температуропроводность α , удельная теплоемкость C) принимаются в соответствии с данными исследований, полученнымными для соответствующих горнопромышленных районов или шахтных полей. При отсутствии последних можно пользоваться средними значениями. Для Донбасса техофизические характеристики основных имеющихся пород приведены в табл. I.6.

Таблица I.6

Средние значения техофизических характеристик горных пород для условий Донбасса

Наименование горной породы	Плотность, кг/м ³	Техофизические свойства		
		$\alpha \cdot 10^4$, м ² /ч	λ , ккал/м·ч·°C	C , ккал/кг·°C
Песчаник	2440	43,7	2,20	0,204
Глинистый или песчанистый сланцы	2570	29,3	1,52	0,216
Уголь	1225	7,4	0,251	0,285
Известник	2478	16,0	0,846	0,212

В случае, когда выработки (кроме лав) окружает неоднородный горный массив, вместо λ , C и α следует использовать их средневзвешенные значения λ_{cp} , C_{cp} , α_{cp} .

$$\lambda_{cp} = \frac{\lambda_k U_k + \lambda_n U_n + \lambda_y U_y}{U_k + U_n + U_y}; \quad (I.14)$$

$$C_{cp} = \frac{C_k U_k + C_n U_n + C_y U_y}{U_k + U_n + U_y}; \quad (I.15)$$

$$\alpha_{cp} = \frac{\alpha_k U_k + \alpha_n U_n + \alpha_y U_y}{U_k + U_n + U_y}. \quad (I.16)$$

I.I.II. Расчетное время теплообмена между породным массивом и воздухом.

I.I.II.I. Воздухоподающих горных выработок

$$\tau = \frac{\tau_n + \tau_k + 2\sqrt{\tau_n \tau_k}}{4}, \quad (I.17)$$

где τ_n, τ_k - соответственно время проветривания начала и конца расчетного участка выработки, ч.

Под временем проветривания любого пункта выработки подразумевается продолжительность существования этого пункта от момента проходления до расчетного момента.

I.I.II.2. Лав при пологом падении пласта:

- угольного забоя

$$\tau_3 = 0,25 \tau_n; \quad (I.18)$$

- кровли и почвы пласта:

I дорога

$$\tau_1 = 0,25 n_1 \tau_n; \quad (I.19)$$

II дорога

$$\tau_2 = \frac{\tau_n (n_1 + n_2 + 2\sqrt{n_1 n_2})}{4}; \quad (I.20)$$

III дорога

$$\tau_3 = \frac{\tau_n (n_2 + n_3 + 2\sqrt{n_2 n_3})}{4}, \quad (I.21)$$

где n_1 - количество полос, равных ширине выемки или глубине зруба выемочного механизма, вмещающихся по ширине первой дороги;

n_2 - тоже, по ширине первой и второй дорог;

n_3 - тоже, по ширине первой, второй и третьей дорог.

Если по ширине дороги размещается не целое число полос, их количество следует округлять до целого.

Для породного массива со стороны выработанного пространства расчетное время теплообмена принимается равным времени теплообмена последней дороги и определяется в зависимости от количества дорог по формулам (I.20) или (I.21).

I.1.II.3. Лав при крутом падении пласта:

- угольного забоя

$$\tau_3 = 0,25 \tau_n ; \quad (I.22)$$

- кровли и почвы пласта

$$\tau_{kp} = 0,25 n_{kp} \tau_n ; \quad (I.23)$$

- выработанного пространства

$$\tau_b = \frac{\tau_n [0,5 + n_{kp} + \sqrt{n_{kp}(n_{kp}+1)}]}{2} , \quad (I.24)$$

где n_{kp} - количество полос, равных ширине выемки или глубине вруба выемочного механизма, движущихся по ширине призабойного пространства лавы.

I.2. Расчет тепловыделений местных источников в горных выработках.

I.2.1. Тепловыделения при работе электрических машин, механизмов и оборудования (ккал/ч).

I.2.1.1. Тепловыделения от электрических потерь (Q_3). К ним относятся тепловыделения от трансформаторов, освещения, кабелей и др.

$$Q_3 = 860 N_m m_3 . \quad (I.25)$$

Коэффициент электрических потерь принимается для трансформаторов $m_3 = 0,05$, для осветительных приборов $m_3 = 1,0$, для кабелей $m_3 = 0,01$ на 1000 м длины кабеля.

I.2.1.2. Тепловыделения при работе лебедок:

- при подъеме груза по наклонным и вертикальным выработкам

$$Q_{lp} = 860 N \frac{A_\Phi}{A_H} \xi_A - 2,34 A_\Phi D H , \quad (I.26)$$

где $A_{\text{ф}} A_{\text{н}}$ - соответственно фактическая и номинальная нагрузка на лебедку, т/ч ;

ξ_A - эмпирический коэффициент, $\xi_A = 0,8$;
- при спуске груза

$$Q_{A0} = 860 N \frac{A_{\text{ф}}}{A_{\text{н}}} \xi_A . \quad (I.27)$$

I.2.1.3. Тепловыделения при работе насосов

$$Q_{\text{н}} = 860 (1 - \gamma_m) N K_3 , \quad (I.28)$$

где $\gamma_m = \gamma_p \cdot \gamma_{90}$. (I.29)

I.2.1.4. Тепловыделения при электровозной откатке

$$Q_{30} = 860 \frac{A_c L_0 K_{30}}{\tau_{30}} , \quad (I.30)$$

где A_c - количество груза, проходящего по расчетной выработке в сутки, т/сутки ;

L_0 - длина участка транспортирования, км.

Расход электроэнергии на 1 т.км, в среднем принимается
 $K_{30} = 0,15 + 0,2 \text{ кВт}\cdot\text{ч}$.

I.2.1.5. Тепловыделение при работе электродвигателей конвейера:

- в пунктах установки приводных головок конвейера

$$Q_3 = 860 N \frac{A_{\Phi}}{A_{\text{н}}} (1 - \gamma_{90} \gamma_p) ; \quad (I.31)$$

- от трения по длине конвейера

$$Q_{TP} = 860 N \frac{A_{\Phi}}{A_{\text{н}}} \gamma_{90} \gamma_p \pm 2,34 A_{\Phi} \Delta H . \quad (I.32)$$

В формуле (I.52) знак "+" принимается при перемещении испытываемого вниз, а знак "-" при транспортировке его вверх.

I.2.1.6. Тепловыделение при работе маслостанций гидросистем механизированных крепей

$$Q_{mc} = 860 N_m K_{mc}, \quad (I.33)$$

где N_m - мощность, расходуемая на создание энергии потока жидкости в гидросистеме, кВт;

K_{mc} - коэффициент загрузки одновременно работающих электродвигателей маслостанции во времени; определяется по планограмме работы лавы.

По источникам выделения тепла:

- в пункте размещения маслостанции

$$Q'_{mc} = 860 N_m K_{mc} (1 - \gamma_{q6} \gamma_m); \quad (I.34)$$

- гидросистемам механизированных крепей в лаве

$$Q_{rc} = 860 N_m \gamma_{q6} \gamma_m K_{mc}, \quad (I.35)$$

где γ_m - механический КПД маслонасоса.

Коэффициенты полезного действия механизмов принимаются по их техническим характеристикам.

I.2.1.7. Тепловыделение при работе комбайна или струговой установки

$$Q_k = 860 N_k \frac{A_\varphi}{A_n} \xi_k, \quad (I.36)$$

где ξ_k - эмпирический коэффициент, принимаемый при работе комбайна равным 0,5 + 0,6, при работе струга 0,8 + 0,85.

I.2.2. Тепловыделения от шахтной воды в канавках,

I.2.2.1. При открытой канавке

$$Q_b = F_b \alpha (t_b - t_1) + \beta (P_h^{t_b} - \varphi_0 P_h^{t_1}), \quad (I.37)$$

где β - коэффициент теплоотдачи испарения, ккал/м².ч. мм рт.ст.,

определяется по формуле

$$\beta = \alpha \frac{1500 + 2,75(t_b + t_1)}{\rho}. \quad (I.38)$$

Температура шахтной воды принимается по данным замеров.

При отсутствии замеров в расчет принимается перепад температуры между шахтной водой и воздухом $\Delta t_g = t_g - t_1$:

- в выработках, расположенных на расстоянии до 500 м от ствола $- 4 + 5^{\circ}\text{C}$;

- в выработках, удаленных на расстояние до 1500 м от ствола $- 3 + 4^{\circ}\text{C}$;

- в выработках, удаленных от ствола на расстояние выше 1500 м $- 1,5 + 2,5^{\circ}\text{C}$;

- в участковых откаточных выработках $- 1,0 - 1,5^{\circ}\text{C}$.

Величина коэффициента теплоотдачи определяется по формуле

$$\alpha = 2 \varepsilon (\gamma v)^0, \left(\frac{U}{S} \right)^{0,2}. \quad (I.39)$$

Коэффициент шероховатости принимается для выработок с монолитной бетонной крепью $\varepsilon = 1,0$; для выработок с металлической, железобетонной и деревянной крепью со сплошной затяжкой $\varepsilon = 1,5$; с той же крепью без затяжки $\varepsilon = 2,0$; для выработок без крепи $\varepsilon = 2,5$; для лав $\varepsilon = 2,5 - 3,5$.

$$\gamma = 0,464 \frac{\rho - \varphi_{cr} \rho_n^{cr}}{273 + t}, \quad (I.40)$$

где ρ_n^{cr} - среднее парциальное давление насыщенных водяных паров в диапазоне изменения температуры воздуха в выработке, мм рт.ст.;

определяется по табл. I.10 подраздела I.5.

Значения $\rho_n^{t_b}$, $\rho_n^{t_1}$ определяются по табл. П.2 или рассчитываются по формуле

$$\rho_n^{t} = \exp \left(\frac{360 + 18,7t}{236 + t} \right). \quad (I.41)$$

I.2.2.2. При закрытой канавке

$$Q_g = F_g K_g (t_b - t_1), \quad (I.42)$$

где

$$K_b = \frac{1}{\frac{1}{\lambda} + \frac{\delta_K}{\lambda_K} + \frac{1}{\lambda_1}} , \quad (I.43)$$

λ - коэффициент теплоотдачи от поверхности покрытия к воздуху (общий для выработки в целом), ккал/м².ч.⁰С ;

λ_K - коэффициент теплопроводности покрытия канавки, ккал/м.ч.⁰С ;

λ_1 - коэффициент теплоотдачи от воды к покрытию канавки, ккал/м².ч.⁰С ; определяется по формуле

$$\lambda_1 = A_{t_b} \frac{(K_b V_b)^{0.8}}{d_{экб}^{1.2}} , \quad (I.44)$$

где A_{t_b} - коэффициент, учитывающий теплофизические свойства воды;

$d_{экб}$ - эквивалентный диаметр канавки, принимаемый равным ширине канавки, м.

Коэффициент, учитывающий теплофизические свойства воды A_{t_b} , принимается по табл. I.7.

Таблица I.7.

Значения коэффициента A_{t_b}

Температура воды, ⁰ С	0	20	40	60
A_{t_b}	4,91	6,45	7,98	9,30

I.2.3. Тепловыделения при работе пневматических механизмов

$$Q_n = 632 N_n \frac{A_\varphi}{A_n} \pm 2,34 A_\varphi H - \varPhi_n ; \quad (I.45)$$

$$\varPhi_n = G_{сж} [C_p (t - t_{omp}) + r (\varphi d_t^n - d_{omp}^n)] , \quad (I.46)$$

где t - температура окружающего воздуха в пункте размещения пневматической машины, ⁰С ;

d_t^n - влагосодержание насыщенного воздуха при температуре t , кг/кг;

$d_{\text{сж}}^{\text{H}}$ - влагосодержание насыщенного отработанного воздуха на выходе из пневмодвигателя при $t_{\text{отр}}$, кг/кг.

Температура отработанного воздуха

$$t_{\text{отр}} = (t_{\text{сж}} + 273) \left(\frac{P_{\text{отр}}}{P_{\text{сж}}} \right)^{\frac{K-1}{K}} - 273, \quad (I.47)$$

$P_{\text{сж}}, P_{\text{отр}}$ - соответственно давление сжатого воздуха перед и после пневмодвигателя, кгс/см²;

K - показатель политропы, принимается равным $K \approx 1,2$.

Температура сжатого воздуха в трубопроводе перед пневмодвигателем принимается равной температуре воздуха в выработке.

I.2.4. Тепловыделения от транспортируемого ископаемого.

I.2.4.1. При конвейерной транспортировке в лаве

$$Q_A = 1,2 K_{C_A} B_A L_K (t_n - \Delta t' - t_i), \quad (I.48)$$

где L_K - длина конвейера, м;

$\Delta t'$ - снижение температуры угля в зоне выемки вследствие десорбции метана и предварительного увлажнения угольного массива, °С; $\Delta t' = 1,5 - 3,5$ °С для пластов марок ОС, К, К; $\Delta t' = 0,5 - 1,0$ °С для антрацитов и полуантрацитов.

I.2.4.2. При конвейерной транспортировке по выработкам

$$Q_{Kb} = K_{C_T} U_T L_K (t_n' - t_i), \quad (I.49)$$

где t_n' - температура транспортируемого ископаемого на расчетном участке, °С;

U_T - периметр поперечного сечения насыпки ископаемого на конвейере, м.

Для всех видов конвейеров U_T рассчитывается по формуле

$$U_T = 0,11 \sqrt{\frac{A_\varphi}{\rho_\lambda}}, \quad (I.50)$$

где A_φ - фактическая нагрузка на конвейер, т/ч.

В выработке, примыкающей к лаве, температура t_n' определяется

по формуле

$$t_n' = t_n - \Delta t' - \frac{Q_1}{A_{\varphi} C_y} . \quad (I.51)$$

Значение t_n' для следующих по направлению транспортирования расчетных участков находится из выражения

$$t_{n(i+1)}' = t_{n_i}' - \frac{Q_{\text{неб}_i}}{A_{\varphi} C_y} . \quad (I.52)$$

где $Q_{\text{неб}_i}$ – тепловыделение от транспортируемого ископаемого на по- следующем за расчетным участке, ккал/ч ;

t_{n_i}' – температура транспортируемого ископаемого на последую- щем за расчетным участке, $^{\circ}\text{C}$.

I.2.4.3. При транспортировке полезного ископаемого по выработкам в вагонетках

$$Q_{\text{тв}} = A_{\varphi} C_y (\Theta_{\text{вн}} - \Theta_{\text{вк}}) (t_n' - t_1) . \quad (I.53)$$

где A_{φ} – фактическое количество транспортируемого ископаемого на расчетном участке, кг/ч ;

$\Theta_{\text{вн}}, \Theta_{\text{вк}}$ – средние по объему вагонетки безразмерные температуры ископаемого в начале и конце расчетного участка;

t_n' – начальная температура ископаемого, загружаемого в вагонетки, $^{\circ}\text{C}$.

На расчетном участке с погрузкой ископаемого у лавы тем- пература t_n' определяется по формуле (I.51), у других пунктов – по формуле (I.52).

Расчет величин $\Theta_{\text{вн}}, \Theta_{\text{вк}}$ производится в следующем порядке:

- определяется средняя скорость движения воздуха в выра- ботке относительно вагонеток с ископаемым

$$v_{\text{отн}} = \frac{v_{\text{ср}} \tau_{\text{по}} + (v_{\text{сп}} \pm v_{\text{тр}})(\tau_{\text{тр}} - \tau_{\text{по}})}{\tau_{\text{тр}}} , \quad (I.54)$$

где $\tau_{\text{по}}$ – средняя продолжительность пребывания груженых вагонеток у погрузочного пункта и приемо-отправочной площадки, равная половине продолжительности погрузки состава у погрузочного пункта и стоянки на приемо-отправочной пло- щадке, ч;

- время пребывания груженого состава на участке, ч.

$$\tau_{tp} = \tau_{no} + \frac{L}{3600 v_{tp}} , \quad (I.55)$$

где L - протяженность расчетного участка, м;

v_{tp} - скорость движения вагонетки, м/с; знак "+" принимается при встречном, "-" при попутном движении вагонеток и воздуха в выработке;

- определяется среднее значение коэффициента теплоотдачи от поверхности вагонеток с полезным ископаемым за период пребывания их в выработке:

$$\alpha_u = 3 (f v_{omn})^{0,58} \left(\frac{U + U_e}{S - S_g} \right)^{0,42} ; \quad (I.56)$$

- определяются значения критериев Био и Фурье, соответствующие условиям начала и конца движения груженых вагонеток на расчетном участке:

$$Bi_n = Bi_k = \frac{\alpha_u R_b}{\lambda_y} ; \quad (I.57)$$

$$F_{0n} = \frac{\alpha_y \tau_{tpn}}{R_b^2} ; \quad (I.58)$$

$$F_{0k} = \frac{\alpha_y \tau_{tpk}}{R_b^2} , \quad (I.59)$$

где R_b - радиус эквивалентного вагонетке шара, м.

$$R_b = 0,62 \sqrt[3]{V_b} ; \quad (I.60)$$

τ_{tpn}, τ_{tpk} - соответственно продолжительность охлаждения вагонеток с ископаемым в начальном и конечном пунктах транспортирования ископаемого на расчетном участке, ч.

Значения α_y и λ_y принимаются по табл. II. З.1.

Для расчетного участка, на котором производится загрузка вагонеток ископаемым $\tau_{tpn} = 0$, а τ_{tpk} определяется из выражения (I.55).

Для следующих по направлению транспортирования вагонеток расчетных участков

$$\tau_{TPH_{l+1}} = \overset{\circ}{\tau}_{TPH_l}; \quad \tau_{TPK_{l+1}} = \tau_{TPH_{l+1}} + \tau_{TP}; \quad (I.61)$$

- по табл. П. 3.2 определяется безразмерная средняя по объему вагонетки температура полезного ископаемого в начале θ_{VH} и в конце θ_{VK} расчетного участка.

I.2.5. Тепловыделения окислительных процессов.

Тепловыделения от окислительных процессов учитываются только в выработках шахт (кроме лав), разрабатывающих пласти угли, склонные к самовозгоранию, а также интенсивному низкотемпературному окислению. Расчетная формула имеет вид

$$Q_o = q_o \mathcal{U} L. \quad (I.62)$$

Удельное тепловыделение от окисления в горных выработках q_o принимается по данным исследований для каждого пласта, склонного к самовозгоранию. При отсутствии таких данных во всех откаточных участковых выработках, пройденных по породе, удельное тепловыделение ориентировочно принимается равным 2-3 ккал/м².ч, а в выработках, пройденных по пласту - 4-5 ккал/м².ч.

I.2.6. Тепловыделения от работающих людей.

Количество тепла, выделяемого одновременно работающими на расчетном участке рабочими, определяется по формуле

$$Q_p = 250 n_p, \quad (I.63)$$

где n_p - количество одновременно работающих чел.

I.3. Расчет коэффициентов тепlop передачи трубопроводов с тепло- и хладоносителем в горных выработках.

I.3.1. Коэффициенты тепlop передачи неизолированных трубопроводов

$$K_{TP} = \frac{1}{\frac{d_h}{\lambda_0 d_{bh}} + \frac{\delta_{TP}}{\lambda_{TP}} + \frac{1}{\lambda_{TP}}}, \quad (I.64)$$

Коэффициент теплоотдачи от стенки трубопровода к подвижному

агенту в трубе определяется по формуле

$$\lambda = A_\theta \frac{U^{0.8}}{d_{bh}^{0.2}}, \quad (I.65)$$

где A_θ - коэффициент, зависящий от физических свойств хладоносителя и его температуры.

Значение коэффициента A_θ для различных хладоносителей определяется по формулам:

для воды

$$A_\theta = 1190 + 21.4 \Theta_1; \quad (I.66)$$

для рассола NaCl , CaCl_2

$$A_\theta = (1190 + 21.4 \Theta_1) [1 - 1.35(\gamma_x - 1)], \quad (I.67)$$

где γ_x - плотность хладоносителя, $\text{т}/\text{м}^3$.

Коэффициент теплоотдачи от трубопровода к воздушному потоку

$$\lambda_{tr} = \xi \lambda_k + \lambda_c. \quad (I.68)$$

Конвективная составляющая коэффициента теплоотдачи определяется по формуле

$$\lambda_k = 3.16 \frac{U^{0.8}}{d_{bh}^{0.2}}, \quad (I.69)$$

где U - скорость движения воздуха в месте расположения трубопровода, $\text{м}/\text{с}$; определяется по формуле

$$U = \alpha_T U_{cp}, \quad (I.70)$$

где α_T - коэффициент, учитывающий место расположения трубопроводов хладоносителя в выработке приимается из табл. I.2

Таблица I.8

Значения коэффициента, учитывающего расположение трубопровода в выработке

Расстояние трубопровода от стенки выработки, м	Значение коэффициента α_T
Более 0,4	1,0
0,25 - 0,4	0,7 - 0,9
0,1 - 0,2	0,6

Коэффициент влаговыпадения для условий шахтных выработок рассчитывается по формуле

$$\xi = 1 + \frac{70.4}{D} \varphi_{cp} (1.54 + t_{cp}), \quad (I.71)$$

где t_{cp} - среднее значение температуры воздуха в выработке, $^{\circ}\text{C}$.

Если температура подвижного агента в трубопроводе выше температуры воздуха в выработке, то $\xi = 1,0$.

Радиационная составляющая коэффициента теплоотдачи от трубопровода к воздуху определяется по формуле

$$\alpha_p = \frac{4,46 \left[\left(\frac{t_{cm} + 273}{100} \right)^4 - \left(\frac{t_{tp} + 273}{100} \right)^4 \right]}{t_1 - \theta_1}, \quad (I.72)$$

где $t_{cm} = t_1 + \frac{K_t}{\lambda} (t_n - t_1); \quad (I.73)$

$$t_{tp} = t_1 - \frac{K'_{tp}}{\lambda_K} (t_1 - \theta_1), \quad (I.74)$$

K'_{tp} - коэффициент теплопередачи от подвижного агента в трубопроводе к воздуху, $\text{кал}/\text{м}^2 \cdot \text{ч} \cdot {^{\circ}\text{C}}$.

$$K'_{tp} = \frac{1}{\frac{d_h}{L \theta d_h} + \frac{\delta_{tp}}{\lambda_{tp}} + \frac{1}{\lambda_K}}. \quad (I.75)$$

Коэффициент теплоотдачи от горного массива к воздуху определяется по формуле (I.3').

I.4. Расчет коэффициентов нестационарного теплообмена между горным массивом и воздухом в выработках

I.4.1. Коэффициент нестационарного теплообмена в выработках, проветриваемых более года

$$K_C = \frac{1}{1 + \frac{\lambda}{2\lambda R_0}} \left[\frac{\lambda}{2R_0} + \frac{\lambda}{\sqrt{\pi} \alpha t \left(1 + \frac{\lambda}{2\lambda R_0} \right)} \right]. \quad (I.76)$$

Для выработок, закрепленных всплошную (кирпич, бетон, дерево) коэффициент теплоотдачи λ в формулах для коэффициента K_T следует заменять коэффициентом теплопередачи

$$K' = \frac{1}{\frac{1}{\lambda} + \frac{\delta_{kp}}{\lambda_{kp}}}, \quad (I.77)$$

где K' – коэффициент теплопередачи для выработок, закрепленных всплошную, ккал/м².ч.°С.

Значения теплофизических свойств крепежных материалов приведены в табл. П.4.1.

I.4.2. Коэффициент нестационарного теплообмена в выработках, проветриваемых менее года

$$K_T = \lambda \left[1 - \frac{B_L}{B_i} f(\xi) \right], \quad (I.78)$$

где

$$B_L = \frac{\lambda R_0}{\lambda} ; \quad (I.79)$$

$$B_i = B_i + 0,375 ; \quad (I.80)$$

$$\xi = \beta_i \sqrt{F_0} ; \quad (I.81)$$

$$F_0 = \frac{Q \tau}{R_0^2} ; \quad (I.82)$$

$f(\xi)$ – функция обобщенного числа гомохронности.

Значение функции $f(z)$ определяется по табл. I.9 или рассчитывается по формулам:

$$f(z) = \frac{1,0774z - 0,0064}{z + 0,8773}; \text{ при } 0 < z \leq 2; \quad (I.83)$$

$$f(z) = \frac{1,0011z - 0,2575}{z + 0,3406}; \text{ при } 2 < z \leq 30; \quad (I.84)$$

$$f(z) = 1 - \frac{0,56}{z}; \text{ при } z > 30. \quad (I.85)$$

Таблица I.9

Значения функции $f(z)$

z	$f(z)$	z	$f(z)$	z	$f(z)$	z	$f(z)$
0,0	0,0000	2,5	0,7928	II	0,9487	40	0,9859
0,1	0,0036	3,0	0,8207	I2	0,9530	45	0,9875
0,2	0,1910	3,5	0,8454	I3	0,9566	50	0,9887
0,3	0,2654	4,0	0,8634	I4	0,9597	60	0,9906
0,4	0,3202	4,5	0,877	I5	0,9624	70	0,9919
0,5	0,3843	5,0	0,8872	I6	0,9647	80	0,9929
0,6	0,4823	5,5	0,8974	I7	0,9668	90	0,9937
0,7	0,4741	6,0	0,9060	I8	0,9686	100	0,9944
0,8	0,5100	6,5	0,9132	I9	0,9703	110	0,9949
0,9	0,5435	7,0	0,9194	I20	0,9718	120	0,9953
I,0	0,5724	7,5	0,9248	I22	0,9744	130	0,9957
I,2	0,6214	8,0	0,9295	I24	0,9765	I40	0,9960
I,4	0,6414	8,5	0,9336	I26	0,9783	I50	0,9962
I,6	0,6975	9,0	0,9373	I28	0,9799	I60	0,9964
I,8	0,7217	9,5	0,9406	I30	0,9812	I80	0,9968
2,0	0,7434	I0,0	0,9436	I35	0,9839	200	0,971

I.4.3. Коэффициент нестационарного теплообмена для лав на пластах полого падения

$$K_T = K_{T3} \frac{U_3}{U} + (K_{Tn1} + K_{TK1}) \frac{U_1}{U} + (K_{Tn2} + K_{TK2}) \frac{U_2}{U} + (K_{Tn3} + K_{TK3}) \frac{U_3}{U} + K_{Tn4} \frac{U_4}{U}. \quad (I.86)$$

В том случае, когда породы кровли и почвы однородны или имеют одинаковые теплофизические константы,

$$K_T = K_{T_3} \frac{U_3}{U} + K_{T_n} \frac{2U_1}{U} + K_{T_n} \frac{2U_2}{U} + K_{T_n} \frac{2U_3}{U} + K_{T_b} \frac{U_b}{U}, \quad (I.87)$$

где K_{T_n} , K_{T_n} , K_{T_n} , K_{T_k} , K_{T_k} , K_{T_k} - коэффициенты нестационарного теплообмена соответственно почвы и кровли пласта для первой, второй и третьей дорог лавы, ккал/м².ч.°С ; U_3 , U_1 , U_2 , U_3 , U_b - длины участков периметра поперечного сечения призабойного пространства лавы соответственно угольного забоя, первой, второй и третьей дорог, выработанного пространства, м ;

U - общий периметр поперечного сечения призабойного пространства лавы, м.

Коэффициенты нестационарного теплообмена K_{T_3} , K_{T_n} , ... K_{T_k} определяются по формуле (I.78) с учетом формул (I.18) - (I.21) и (I.39).

I.4.4. Коэффициент нестационарного теплообмена для лав на пластах крутого падения

$$K_T = K_{T_3} \frac{U_3}{U} + K_{T_n} \frac{U_n}{U} + K_{T_k} \frac{U_k}{U} + K_{T_b} \frac{U_b}{U}, \quad (I.88)$$

где U_3 , U_n , U_k , U_b - длины участков периметра поперечного сечения призабойного пространства лавы соответственно угольного забоя, почвы, кровли, выработанного пространства, м.

I.4.5. Коэффициент нестационарного теплообмена между транспортируемым в лаве углем и воздухом

$$K_{T_A} = \frac{\lambda_u}{1.77 \sqrt{\alpha_g T_A} + \frac{\lambda_u}{\lambda_A}}, \quad (I.89)$$

где λ_A - коэффициент теплоотдачи от поверхности транспортируемого по лаве угля, ккал/м².ч.°С ;

τ_A - длительность теплообмена отбитого угля, транспортируемого по лаве, с воздушным потоком, ч. Определяется по скорости удаления угля из лавы

$$\tau_A = \frac{L_k}{3600 U_A} , \quad (I.90)$$

где U_A - скорость движения скребков конвейера лавы, м/с.

Длительность нахождения угля на конвейере лавы зависит от технологии работ по выемке угля и нагрузки; практически в 3-5 раз больше времени, определяемого по формуле (I.90), что рекомендуется учитывать при расчетах.

Теплофизические свойства угля принимаются по табл. П.3.1 в зависимости от выхода летучих и средней влажности ископаемого на конвейере.

Коэффициент теплостадии транспортируемого угля λ_A определяется по формуле (I.39), в которую подставляется относительная скорость движения воздуха

$$U_{\text{отн}} = U_l \pm U_A , \quad (I.91)$$

где U_l - скорость движения воздуха в лаве по дороге, на которой расположен конвейер, м/с.

В формуле (I.91) знак "+" принимается при встречном, знак "-" при попутном движении воздуха и транспортируемого угля.

I.4.6. Коэффициент нестационарного теплообмена между транспортируемым по выработкам ископаемым и воздухом

$$\kappa_{T_T} = \lambda_T [1 - f(z)] , \quad (I.92)$$

где λ_T - коэффициент теплостадии от поверхности транспортируемого по выработке ископаемого, ккал/м².ч.°С. Значение λ_T определяется по формуле (I.39), в которую подставляется относительная скорость движения воздуха

$$U_{\text{отн}} = U_C \pm U_{AK} , \quad (I.93)$$

где U_{cp}, U_{lk} - соответственно средняя скорость воздуха в выработке и полотна конвейера, м/с. Знак "+" принимается при встречном, а "-" при попутном движении воздуха и полотна конвейера.

$$z_t = \frac{\lambda_t}{\lambda} \sqrt{a_y t_b}, \quad (I.94)$$

где t_b - длительность теплообмена угля на конвейере с воздушным потоком в выработке, ч; определяется по формуле (I.90).

I.4.7. Коэффициент нестационарного теплообмена в выработках при скачкообразном изменении температуры воздуха. При работе воздухоохладителей, расположенных в участковых горных выработках, а также при периодической их переноске по мере подвижания лав, коэффициент нестационарного теплообмена в выработке между пунктом охлаждения и лавой, при времени работы воздухоохладителя менее 6 месяцев, определяется по формуле

$$K_t' = \frac{\lambda}{R_o} K_{ut} + \frac{\lambda}{2} \frac{t_n - t}{t_n - t} (\vartheta_t - 1) \left[1 - f(z) \right], \quad (I.95)$$

где K_{ut} - безразмерный коэффициент нестационарного теплообмена.

Значение коэффициента $K_{ut} = f(F_0, Bi)$ определяется по номограмме, приведенной на рис. I.2

$$F_0 = \frac{\alpha \tau'}{R_o^2}, \quad (I.96)$$

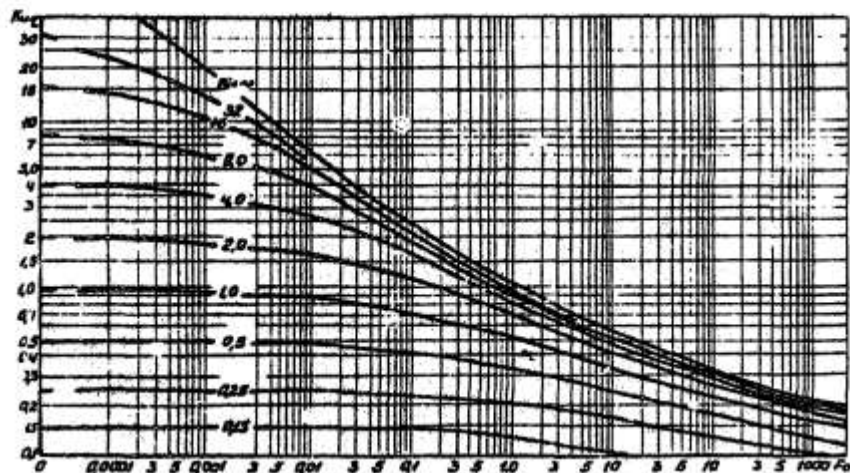
где τ' - расчетное время работы воздухоохладителя в пункте его установки, ч; определяется по формуле (I.17);

t, t' - соответственно температура воздуха в пункте установки воздухоохладителя до и после его включения, $^{\circ}\text{C}$;

ϑ_{ct} - безразмерная температура стеки. Значение $\vartheta_{ct} = f(F_0, Bi)$ определяется по номограмме на рис. I.3.

$$z_1 = Bi' \sqrt{F_0}. \quad (I.97)$$

Значения критериев Bi и Bi' определяются по формулам (I.79) и (I.80), а функции $f(z_1)$ - по формулам (I.83)-(I.85) или табл. I.9.



५८

Рис. I.2. Номограмма для определения безразмерного коэффициента нестационарного теплообмена между горным массивом и вентилиционным воздухом

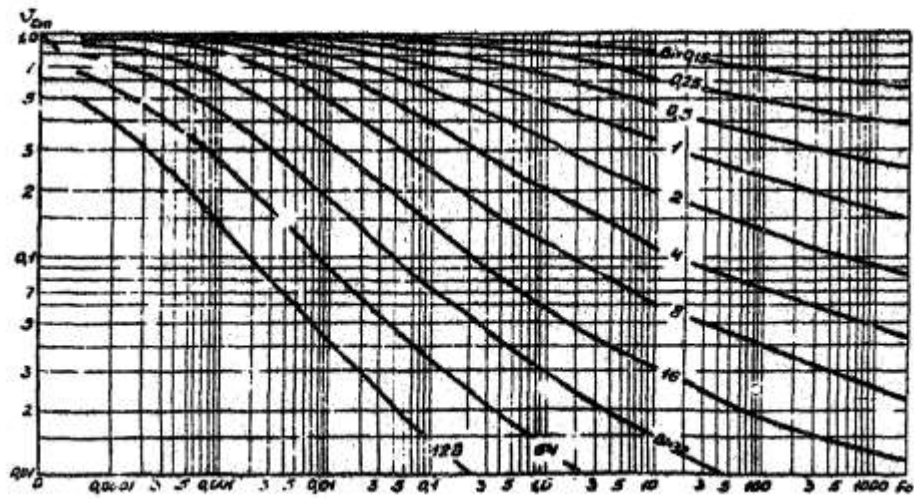


Рис. I.3. Номограмма для определения изменений во времени температуры стен
захтых выработок $\psi = \frac{t_{er} - t}{t_n - t}$

При времени работы воздухоснадителя в пункте его установки более 6 месяцев, коэффициент нестационарного теплообмена определяется по формуле (I.78) или (I.79).

I.5. Тепловой расчет горных выработок.

I.5.1. При отсутствии в выработках трубопроводов с тепло- и хладоносителем.

Температура воздуха в вертикальных, наклонных и горизонтальных выработках различного срока службы и назначения рассчитывается по формуле

$$t_2 = t_1 B + \frac{1-B}{A+\Delta\varphi B} \left[E + \Delta\varphi \bar{B} \dot{\varepsilon} + \frac{\sum Q_{\text{ни}}}{G c_p} \pm L \sin \psi \left(G^T + 9,76 \cdot 10^{-3} \right) \right], \quad (\text{I.98})$$

где

$$B = \left[\frac{1 + \bar{B} \varphi_1}{1 + \bar{B} \varphi_2} \right] \left(1 + \frac{A}{\Delta\varphi B} \right), \quad (\text{I.99})$$

$$\text{при } \Delta\varphi = \varphi_2 - \varphi_1 ; \quad (\text{I.100})$$

$$B = \exp \left(- \frac{A}{1 + \varphi B} \right), \quad (\text{I.101})$$

$$\text{при } \varphi_1 = \varphi_2 = \varphi ; \quad (\text{I.102})$$

$$\bar{B} = \frac{1542 H^L}{P - P_H}; \quad (\text{I.103})$$

$$A = \frac{K_T U L}{G c_p} + \frac{K_{T_T} U_L L}{G c_p} + \frac{1.2 K_{T_A} \beta_A L}{G c_p}; \quad (\text{I.104})$$

$$E = \frac{K_T U L}{G c_p} t_n + \frac{K_{T_T} U_L L}{G c_p} t_{n_t}' + \frac{1.2 K_{T_A} \beta_A L}{G c_p} (t_n - \Delta t'); \quad (\text{I.105})$$

$$T = \frac{K_T U L [(A + \Delta\varphi \bar{B}) - (1 + \bar{B} \varphi_1)(1 - B)]}{G c_p (A + 2 \Delta\varphi \bar{B})(1 - B)}, \quad (\text{I.106})$$

где n^i, ε^i - коэффициенты уравнения аппроксимации зависимости давления насыщения водяных паров в воздухе от температуры при $\varphi = 1,0$, которые принимаются для ожидаемого диапазона изменения температуры воздуха на участке.

Значения коэффициентов n^i , ε^i и величины $P_n^{\text{ср}}$ приведены в табл. I.10.

Таблица I.10

Значения коэффициентов n^i , ε^i и величины $P_n^{\text{ср}}$ для различных диапазонов изменения температуры воздуха

Диапазон изменения температуры, °C	n^i	ε^i	$P_n^{\text{ср}}$, мм рт.ст.
0-10	0,461	-9,50	6,7
5-15	0,622	-5,09	9,4
10-20	0,830	-0,69	13,0
15-25	1,094	3,70	17,8
20-30	1,425	8,07	24,2
25-35	1,837	12,43	32,3
30-40	2,345	16,77	42,7
35-45	2,965	21,11	53,0
40-50	3,710	25,40	72,7

В выражение для $\sum Q_{\text{ми}}$ не включаются тепловыделения от транспортируемого конвейерами по ходу и конвейерным выработкам исходного. Влияние исходного учитывается в комплексах А и Е.

Температура воздуха в начале выработки при обратном тепловом расчете определяется по формуле

$$t_r = \frac{t_0}{B} - \frac{1 - B}{B(A + \Delta\varphi B)} \left[E + \Delta\varphi B \varepsilon + \frac{\sum Q_{\text{ми}}}{G_{C_p}} \pm L \sin \psi \left(GT + 9,76 \cdot 10^{-3} \right) \right]. \quad (I.107)$$

Из зависимостей (I.98)-(I.107) могут быть получены формулы для различных частных случаев теплового расчета:

- для горизонтальной выработки ($\sin \psi = 0$);
- для выработки с постоянной относительной влажностью (при $\Delta \varphi = 0$ комплекс B определяется по формуле (I.101));
- для лавы ($K_{T_A} = 0$ в комплексах A и E);
- для других выработок ($K_{T_A} = 0$ в комплексах A и E);
- при отсутствии в выработках конвейерного транспорта ($K_{T_A} = 0$ и $K_{T_T} = 0$ в комплексах A и E).

I.5.2. При наличии в выработках трубопроводов с тепло- и хладоносителем.

Температура воздуха в конце выработки определяется по формуле (I.98), а значения входящих в нее комплексов A и E по формулам

$$A = \frac{(K_T U + 1.2 K_{T_A} B_A + K_{T_T} U_T + K_{X_T P} U_{X_T P} + K_{T_T P} U_{T_T P}) L}{G C_P \sigma}; \quad (I.108)$$

$$E = \frac{K_T U_L}{G C_P} t_{n'} - \frac{1.2 K_{T_A} B_A L}{G C_P} (t_{n-\Delta} t') + \frac{K_{T_T} U_T L}{G C_P} t'_{n_i} + \\ + \frac{K_{T_T P} U_{T_T P} L}{G C_P} \Theta_{T_C P} + \frac{K_{X_T P} U_{X_T P} L}{G C_P} \Theta_{X_C P}. \quad (I.109)$$

Значения комплексов B , B и T определяются по формулам (I.99)–(I.103) и (I.106), а коэффициентов n' , ε' , и $\rho_n^{\text{ср}}$ – по табл. I.10.

Расчет средних значений температуры тепло- ($\Theta_{T_C P}$) и хладоносителя ($\Theta_{X_C P}$) в трубопроводах на расчетном участке выработки производится по формуле

$$\Theta_{C_P} = \Theta_1 + 0.5 A_{T_P} L (t_1 - \Theta_1). \quad (I.110)$$

Значение величины A_{T_P} определяется по формуле

$$A_{T_P} = \frac{(K_{T_P} + \beta_n n_e) U_{T_P}}{G_{T_P} C_{T_P}}, \quad (I.111)$$

где β_H - коэффициент массоотдачи от влажного воздуха к поверхности трубопровода, $\text{ккал}/\text{м}^2 \cdot \text{ч} \cdot \text{мм рт.ст.}$;
 n'_θ - коэффициент аппроксимации зависимости давления насыщения водяных паров в воздухе при температуре хладоносителя, определяется по табл. I.IO.

$$\beta_H = 2,5 \mathcal{L}_K , \quad (I.II2)$$

где \mathcal{L}_K - коэффициент теплоотдачи, определяется по формуле (I.69).

Температура воздуха в начале выработки при обратном тепловом расчете определяется по формуле (I.IO7).

В качестве средних температур θ_{cr} при определении комплекса E по формуле (I.IO9) принимаются их значения, вычисленные по результатам прямого теплового расчета.

Знак "+" в формулах (I.98) и (I.IO7) относится к случаю исходящего движения вентиляционной струи, знак "-" - к восходящему проветриванию.

I.5.3. Расчет температуры подвижного агента в конце выработки в трубопроводах с тепло- и хладоносителем.

I.5.3.1. При немодифицированных трубопроводах хладоносителя

$$\theta_{2x,t} = \theta_{1x,t} \exp(-A_{tp} L) + \prod_{i=1}^{n-1} [1 - \exp(-A_{tp} L)] \quad (I.II3)$$

где

$$\Pi = K_{tp} U_{tp} t_{cr} + \beta_H U_{tp} P_H^{t_{cr}} \varphi_{ef} + \beta_H U_{tp} n'_\theta \varepsilon'_\theta ; \quad (I.II4)$$

$$U = K_{tp} U_{tp} + \beta_H n'_\theta U_{tp} ; \quad (I.II5)$$

$$t_{cr} = \frac{t_1 + t_2}{2} ; \quad (I.II6)$$

$$\varphi_{ef} = \frac{\varphi_1 + \varphi_2}{2} . \quad (I.II7)$$

Значение величины A_{tp} определяется по формуле (I.III), а β_n по формуле (I.II2). После определения значения θ_2 производят сопоставление результатов расчета с принятой величиной θ_{cp} по формуле (I.IIO) и оценивают величину ошибки, которая сравнивается с заданной допустимой погрешностью

$$\left| \theta_{cp} - \frac{\theta_1 + \theta_2}{2} \right| \leq \Delta \theta. \quad (I.II8)$$

При ошибке, большей $\Delta \theta$, задаются новым значением θ_{cp} и повторяют расчеты, пока не будет удовлетворено условие (I.II8). Затем производят определение t_2 с подстановкой в формулу для комплекса E уточненного значения θ_{cp} .

При теплоизолированных трубопроводах хладоносителя потерями через трубы пренебрегают, т.е. $K_{tr, T} = 0$.

I.6. Упрощенный способ тепловых расчетов горных выработок.

Для инженерных тепловых расчетов, выполняемых, например, с целью оперативного контроля состояния теплового режима на действующих участках, в т.ч. и с искусственным охлаждением или проверки количества воздуха для проветривания участков глубоких горизонтов по тепловому фактору, рекомендуется изложенная ниже упрощенная методика.

I.6.1. Температура воздуха в подземных горных выработках при наличии в них трубопроводов с хладоносителем (рис. I.4), а также в лавах, при прямых расчетах определяется по формуле

$$t_2 = N_2 \sqrt{N_2^2 + \frac{1}{2,49 \varphi_2' l_y} [E_2 + (1-\beta)t_1 + 2,49 \varphi_1' d_{t_1}^H] - \frac{m_4}{l_y}}, \quad (I.II9)$$

где

$$N_2 = \frac{1 + \beta + 2,49 \varphi_2' n_y}{4,98 \varphi_2' l_y}; \quad (I.I20)$$

$$\varphi_1' = \frac{760}{P_1} \varphi_1; \quad (I.I21)$$

$$\varphi_2' = \frac{760}{P_2} \varphi_2; \quad (I.I22)$$

$$E_2 = A_1 t_{n_{cp}} + A_2 t'_n + 2B_1 \theta_{x_1} + 2B_2 \theta_{x_4} + \frac{\sum Q_{mi}}{G_{cp}} \pm 0,01 \Delta H; \quad (I.I23)$$

$$\beta = 0,5 (A_1 + A_2) + B_1 + B_2; \quad (I.I24)$$

$$A_1 = \frac{K_T U L}{G c_p} ; \quad (I.125)$$

$$A_2 = \frac{K_{T_T} U_T L}{G c_p} ; \quad (I.126)$$

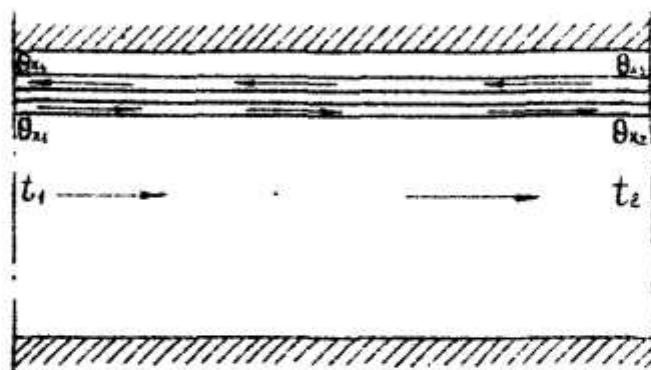


Рис. I.4. Схема горной выработки с трубопроводами хладоносителя

$$\bar{B}_1 = \frac{A_3}{2 + A_5} ; \quad (I.127)$$

$$\bar{B}_2 = \frac{A_4}{2 - A_6} ; \quad (I.128)$$

$$A_3 = \frac{K_T U L}{G c_p} ; \quad (I.129)$$

$$A_4 = \frac{K_T U_{PL}}{G c_p} ; \quad (I.130)$$

$$A_5 = \frac{K_T U_{T_P}}{G_{T_P} C_{T_P}} ; \quad (I.131)$$

$$A_6 = \frac{K_T U_{TH}}{G_{TP} C_{TP}}, \quad (I.I32)$$

φ'_1, φ'_2 - относительная влажность воздуха соответственно в начале и конце выработки, приведенная к нормальному барометрическому давлению, в долях единицы;

$d_{t_1}^h, d_{t_2}^h$ - влагосодержание насыщенного воздуха соответственно при температуре t_1 и t_2 , г/кг; рассчитывается по формуле

$$d_t^h = \frac{622 P_h^t}{760 - P_h^t}. \quad (I.I33)$$

Значение величины P_h^t определяется по табл. П.2.

Θ_{x_4} - температура хладоносителя в прямой ветви циркуляционного трубопровода холодильной установки в начале выработки, $^{\circ}\text{C}$;

Θ_{x_4} - температура хладоносителя в обратной (отепленной) ветви циркуляционного трубопровода холодильной установки в начале выработки, $^{\circ}\text{C}$ (рис. I.4);

m_y, n_y, ℓ_y - коэффициенты аппроксимации влагосодержания насыщенного воздуха. Принимаются для ожидаемого интервала изменения температуры воздуха в выработке согласно табл. I.II.

Таблица I.II.

Значения коэффициентов m_y, n_y, ℓ_y для различных диапазонов изменения температуры воздуха

Диапазон изменения температуры, $^{\circ}\text{C}$	m_y	n_y	ℓ_y	$\frac{m_y}{\ell_y}$
0-10	3,780	0,267	0,0120	315
5-15	3,966	0,210	0,0158	251
10-20	4,692	0,089	0,0206	228
15-25	6,552	-0,128	0,0268	244
20-30	10,502	-0,484	0,0347	303
25-35	18,257	-1,052	0,0450	406
30-40	32,519	-1,935	0,5860	555

Исходные данные, входящие в зависимости (I.II9)-(I.I33), определяются согласно рекомендаций и формул, приведенных в п.п. I.I - I.4.

Температура хладоносителя в конце расчетного участка выработки в циркуляционных трубопроводах определяется по формулам:

- в прямой ветви

$$\Theta_{x_2} = \frac{2\Theta_{x_1} + A_5(t_1 + t_2 - \Theta_{x_1})}{2 + A_5}; \quad (I.I34)$$

- в обратной ветви

$$\Theta_{x_3} = \frac{2\Theta_{x_4} - A_6(t_1 + t_2 - \Theta_{x_4})}{2 - A_6}. \quad (I.I35)$$

При отсутствии в выработке трубопроводов с хладоносителем в формулах (I.I23) и (I.I24) значения $B_1, 0$ и $B_2 = 0$.

При тепловых расчетах лав в формулах (I.I23) и (I.I24) вместо значения A_2 (I.I26) подставляется значение

$$A'_2 = \frac{1,2 K_{T_A} \delta L}{G C_p}. \quad (I.I36)$$

I.6.7 При обратных тепловых расчетах температура воздуха в начале выработки определяется по формуле

$$t_1 = -N_1 + \sqrt{N_1^2 + \frac{1}{2,49 \varphi'_1 l_y} \left[(1 + B) t_2 - E_1 + 2,49 \varphi'_2 d^n t_2 \right] - \frac{m_y}{l_y}}, \quad (I.I37)$$

где

$$N_1 = \frac{1 - B + 2,49 \varphi'_1 n_y}{4,98 \varphi'_1 l_y}; \quad (I.I38)$$

$$E_1 = A_1 t_n + A_2 t'_n + 2B_1 \Theta_{x_2} + 2B_2 \Theta_{x_3} + \frac{\sum Q_{\text{ни}}}{G C_p} \mp 0,01 \Delta H. \quad (I.I39)$$

Остальные обозначения и физические величины в формулах (I.I37)-(I.I39) те же, что и в формуле (I.II9).

Температура хладоносителя в начале выработки определяется по формулам:

$$\theta_{x_1} = \frac{2\theta_{x_2} - A_5(t_1 + t_2 - \theta_{x_2})}{2 - A_5}; \quad (I.140)$$

$$\theta_{x_4} = \frac{2\theta_{x_3} + A_6(t_1 + t_2 - \theta_{x_3})}{2 + A_6}. \quad (I.141)$$

В формулах (I.123) и (I.139) перед слагаемым 0,01ΔH знак плюс ставится при движении воздуха по наклонной выработке вниз, а знак минус – при восходящем проветривании выработки.

I.7. Пример теплового расчета

I.7.1. Исходные данные.

Шахтное поле расположено в Донецко-Макеевском районе Донбасса и относится к геотермическому участку № 8 (табл. II.I.2). Воздухоподающий ствол шахты находится в застроенной части города без промышленных объектов. Упрощенная схема цепи горных выработок по расчетному маршруту приведена на рис. I.5.

Основные горногеологические и горнотехнические параметры выработок расчетного маршрута приведены в табл. I.12.

I.7.2. Расчет воздухоподающего ствола (участок I-2).

I.7.2.1. Тепловые параметры воздуха на поверхности. Согласно схематической карте метеорологического районирования Донбасса (рис. I.1) шахта относится к Западному району. Для июля месяца в указанном районе среднемесячная температура воздуха на поверхности составляет 21,8°C, относительная влажность – 0,58 (табл. I.1) по табл. I.2 определяем поправки к параметрам воздуха, поступающего в шахту. Для шахты, расположенной в застроенной части города за промышленных объектов, температура воздуха, поступающего в шахту, принимается на 1,5°C выше, а относительная влажность – на 0,04 ниже среднемесячных значений указанных параметров воздуха, тогда

$$t_1 = 21,8 + 1,5 = 23,3^{\circ}\text{C};$$

$$\varphi_1 = 0,58 - 0,04 = 0,54.$$

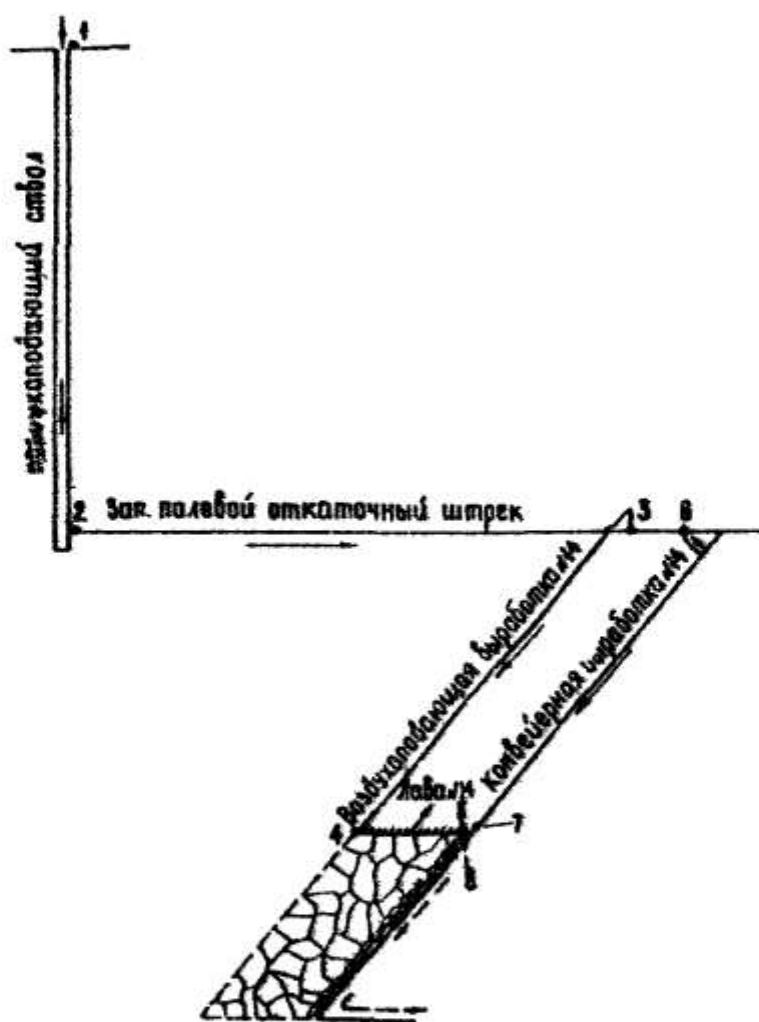


Рис. I.5. Схема сети горных выработок расчетного маршрута условной шахты

Таблица I.I2.

Горногеологические и горнотехнические данные выработок расчетного маршрута

Наименование участков маршрута	Соединение участка маршрута на схеме	Глубина выработки, м	Длина, м	Сечение, м ²	Количество воздуха, м ³ /мин	Средняя скорость воздуха, м/с	Примечания	
Воздухоподавший ствол	I-2	0	1012	1012	50,2	18100	6,0	Ствол сухой, круглого сечения, диаметром 6 м, крепление бетонное
Западный полевой откаточный штрек	2-3	1012	1012	1060	13,0	3980	5,1	Штрек закреплен арочной крепью с железобетонными затяжками.
Западный полевой откаточный штрек	3-6	1012	1012	160	13,0	2960	3,8	См. участок 2-3
Воздухоподавшая выработка № 14	3-4	1007	1057	600	8,5	1020	2,0	Выработка сухая, закреплена арочной крепью с деревянными затяжками. Угол падения - 6°
Лава № 14	4-5	1057	1057	200	3,37	680	3,38	Лава оборудована комплексом КМ-87.
Конвейерная выработка № 14	6-7	1007	1057	640	9,2	570	1,05	Выработка закреплена арочной крепью с деревянными затяжками. Угол падения 6°.

1.7.2.2. Барометрическое давление воздуха, поступающего в шахту. Среднемесячное значение атмосферного давления воздуха, приведенное к уровню моря, для июля месяца составляет $P_{\text{ср.м}} = 758,4$ мм рт.ст. (табл. I.3). Абсолютная отметка устья воздухоподающего ствола относительно уровня моря, согласно гипсометрической карте шахты, $H_0 = +258$ м. Барометрическое давление воздуха, поступающего в шахту, определяется по формуле (I.12)

$$P_0 = 758,4 - \frac{258 \cdot 758,4}{8000 (1 + 0,004 \cdot 23,3)} = 736 \text{ мм рт.ст.}$$

1.7.2.3. Геометрические характеристики ствола:

- периметр круглого сечения

$$U = 3,14 \cdot 8 = 25,12 \text{ м} ;$$

- эквивалентный радиус $R_0 = 4$ м.

1.7.2.4. Геотермические показатели шахтного поля. Для геотермического участка № 8, расположенного в донецко-Дзержинском районе, согласно табл. II.1.1 температура земной поверхности $t_{3a} = 8,4^{\circ}\text{C}$, геотермическая ступень $\Gamma_{\text{го}} = 34,1 \text{ м/}^{\circ}\text{C}$. Естественная температура горного массива в окрестностях шахты согласно формуле (I.13)

$$t_n = 8,4 + \frac{1012}{34,1} = 38,1^{\circ}\text{C} .$$

Геотермический градиент для шахтного поля равен

$$\sigma = \frac{1}{34,1} = 0,0293^{\circ}\text{C/m} .$$

1.7.2.5. Теплофизические свойства окружающих горных пород принимаются из табл. I.6. Суммарные мощности пород, пересекаемых стволом, согласно стратиграфическому разрезу составляют: песчаники - 264 м; глинистые и песчанистые сланцы - 707 м; известняки - 25 м; угли - 16 м. Средневзвешенные по глубине значения теплофизических параметров окружающих горных пород составляют?

коэффициент теплопроводности (I.14)

$$\lambda_{\varphi} = \frac{2,2 \cdot 264 + 1,52 \cdot 707 + 0,846 \cdot 25 + 0,251 \cdot 16}{264 + 707 + 25 + 16} = 1,661 \frac{\text{ккал}}{\text{м} \cdot \text{ч} \cdot {}^{\circ}\text{C}},$$

коэффициент температуропроводности (I.16)

$$\alpha_{\varphi} = \frac{0,00437 \cdot 264 + 0,00293 \cdot 707 + 0,0016 \cdot 25 + 0,00074 \cdot 16}{264 + 707 + 25 + 16} = 0,0032 \frac{\text{м}^2}{\text{ч}}$$

I.7.2.6. Барометрическое давление воздуха в околоствольном дворе согласно формуле (I.11) составляет

$$P = 736 + 0,09 \cdot 1012 = 827 \text{ мм рт.ст.}$$

I.7.2.7. Относительная влажность воздуха в околоствольном дворе. Согласно пункту I.1.7 при отсутствии притока шахтной воды в стволе, относительная влажность $\varphi_2 = 0,60$.

I.7.2.8. Расчетное время проветривания ствола. В соответствии с календарным планом строительства и эксплуатации шахты, время проветривания устья ствола $T_n = 18 \cdot 8760 = 157680$ ч, время проветривания конца ствола $T_k = 16 \cdot 8760 = 140160$ ч. Расчетное время проветривания ствола определяется по формуле (I.17)

$$\tau = \frac{157680 + 140160 + 2\sqrt{157680 \cdot 140160}}{4} = 148800 \text{ ч.}$$

I.7.2.9. Плотность рудничного воздуха в стволе определяется по формуле (I.40)

$$\gamma' = 0,464 \frac{781,5 - 0,57 \cdot 22,78}{273 + 24,3} = 1,2 \text{ кг/м}^3,$$

здесь

$$P_{cp} = \frac{736 + 827}{2} = 781,5 \text{ мм рт. ст.} - \text{среднее барометрическое давление воздуха в стволе;}$$

$\varphi_{cp} = \frac{0,54 + 0,60}{2} = 0,57$ — средняя относительная влажность воздуха в стволе;

$P_n = 22,78$ мм рт.ст. — парциальное давление водяных паров при средней температуре воздуха в стволе $t_{cr} = 23,3 + 1,0 = 24,3^{\circ}\text{C}$, определяемое по табл. П.2.

1.7.2.10. Коэффициент теплоотдачи от поверхности ствола к воздуху при $\varepsilon = 2$ согласно формуле (I.39)

$$\alpha = 2 \cdot 2(1,2 \cdot 6,0)^{0,8} \cdot \left(\frac{-25,12}{50,24}\right)^{0,2} = 16,9 \text{ ккал}/\text{м}^2 \cdot \text{ч} \cdot {}^{\circ}\text{C}.$$

1.7.2.11. Коэффициент теплопередачи от пород ствола к воздуху при толщине бетонной крепи $\delta = 1$ м и коэффициенте теплопроводности $\lambda = 0,9$ ккал/м·ч· ${}^{\circ}\text{C}$ согласно формуле (I.77)

$$K' = \frac{1}{\frac{1}{16,9} + \frac{1}{0,9}} = 0,85 \text{ ккал}/\text{м}^2 \cdot \text{ч} \cdot {}^{\circ}\text{C}.$$

1.7.2.12. Коэффициент нестационарного теплообмена в стволе согласно формуле (I.76)

$$K_T = \frac{1}{1 + \frac{1,66}{2 \cdot 0,85 \cdot 4}} \left[\frac{1,66}{2 \cdot 4} + \frac{1,66}{\sqrt{3,14 \cdot 0,0032 \cdot 148800} \left(1 + \frac{1,66}{2 \cdot 0,85 \cdot 4} \right)} \right] = \\ = 0,194 \text{ ккал}/\text{м}^2 \cdot \text{ч} \cdot {}^{\circ}\text{C}.$$

1.7.2.13. Температура воздуха в околоствольном дворе согласно формуле (I.98)

$$t_2 = 23,3 \cdot 0,9309 + \frac{1 - 0,9309}{0,01586 + 0,06 \cdot 2,9} \left[0,1332 + 0,06 \cdot 2,9 \times \right. \\ \left. \times 8,07 + 1512 \cdot 1(0,0293 \cdot 0,007916 + 0,00976) \right] = 25,8^{\circ}\text{C}.$$

Здесь значения $\eta = 1,425$; $\varepsilon' = 8,07$; $P_{cp}^n = 24,2$ мм рт.ст. приняты из табл. I.10 для предполагаемого диапазона изменения температуры в стволе $20-30^{\circ}\text{C}$; величина Б согласно формуле (I.I03)

$$B = \frac{1542 \cdot 1,425}{781,5 - 24,2} = 2,9 ;$$

величина А согласно формуле (I.I04)

$$A = \frac{0,194 \cdot 25,12 \cdot 1012}{1303200 \cdot 0,24} = 0,01586 ;$$

весовой расход воздуха

$$G = 18100 \cdot 1,2 \cdot 60 = 1303200 \text{ кг/ч} ;$$

величина Е согласно формуле (I.I05)

$$E = \frac{0,194 \cdot 25,12 \cdot 1012 \cdot 8,4}{1303200 \cdot 0,24} = 0,1332 ;$$

температура пород в начале ствола $t_{3p} = 8,4^{\circ}\text{C}$;

приращение относительной влажности согласно формуле (I.I00)

$$\Delta\varphi = 0,60 - 0,54 = 0,06 ;$$

величина В согласно формуле (I.99)

$$B = \left(\frac{I + 2,9 \cdot 0,54}{I + 2,9 \cdot 0,6} \right) \left(I + \frac{0,01586}{0,06 \cdot 2,9} \right) = 0,9309 ;$$

Величина Т согласно формуле (I.I06)

$$T = \frac{0,01586 [(0,01586 + 0,06 \cdot 2,9) - (I + 2,9 \cdot 0,54)(I - 0,9309)]}{(0,01586 + 2 \cdot 0,06 \cdot 2,9)(I - 0,9309)} = 0,007916.$$

I.7.3. Расчет западного полевого откаточного штрека (участок 2-3).

I.7.3.1. Характеристика выработки. Западный полевой откаточный штрек проходит по пустым породам. В кровле выработки залегает

крупнозернистый песчаник, в почве - песчанистый сланец. Песчаник занимает одну треть периметра сечения выработки. По штреку проложены теплоизолированные трубопроводы хладоносителя в связи с чем потерями через трубопроводы пренебрегаем. Шахтная вода в количестве 5 м³/ч протекает в канавке, в перекрытой деревянным настилом толщиной $\delta = 0,05$ м с коэффициентом теплопроводности

$\lambda = 0,3$ ккал/м.ч.⁰С. Ширина канавки - 0,4 м, глубина - 0,3 м. Откатка угля по штреку электровозная в вагонетках ВШ-5Т емкостью 3,3 м³. По штреку транспортируется 1700 т/сутки угля. Длина участка транспортирования 1060 м. Электровозная откатка производится в три смены на протяжении 18 ч. На расчетном участке одновременно находится 40 вагонеток с углем. На штреке установлена трансформаторная подстанция ТКШВП-320 мощностью 320 кВА. В штреке работает 6 человек по перекреплению выработки.

I.7.3.2. Геометрические характеристики штрека:

- периметр среднего сечения согласно формуле (I.2)

$$U = 3,8 \sqrt{13} = 13,7 \text{ м};$$

- эквивалентный радиус согласно формуле (I.3)

$$R_0 = \frac{2 \cdot 13}{13,7} = 1,9 \text{ м}.$$

I.7.3.3. Естественная температура горных пород и геотермический градиент определяются согласно пункту I.7.2.4.

$$t_n = 38,1^{\circ}\text{C} ; \quad \sigma = 0,0293^{\circ}\text{C}/\text{м}.$$

I.7.3.4. Теплофизические свойства окружающих горных пород принимаются из табл. I.6. При длине периметра поперечного сечения выработки, занимаемого песчаником, $\frac{1}{3} \cdot 13,7 = 4,57$ м и песчанистым сланцем $\frac{2}{3} \cdot 13,7 = 9,13$ м средневзвешенные по периметру значения теплофизических параметров окружающих горных пород составляют:

коэффициент теплопроводности по формуле (I.I4)

$$\lambda_{cp} = \frac{4,57 \cdot 2,2 + 9,13 \cdot 1,52}{13,7} = 1,75 \text{ ккал}/\text{м}\cdot\text{ч}\cdot{}^{\circ}\text{C};$$

коэффициент температуропроводности по формуле (I.I6)

$$\alpha_{cp} = \frac{4,57 \cdot 0,00437 + 9,13 \cdot 0,00293}{13,7} = 0,0033 \text{ м}^2/\text{ч}.$$

I.7.3.5. Барометрическое давление воздуха в штреке согласно формуле (I.II)

$$P = 736 + 0,09 \cdot 1013 = 827 \text{ мм рт.ст.}$$

I.7.3.6. Относительная влажность воздуха. Согласно пункту I.I.7 принимаем $\varphi_1 = 0,60$, $\varphi_0 = 0,75$.

I.7.3.7. Расчетное время проветривания штрека. По плану горных работ время проветривания начала штрека $T_n = 10 \text{ лет } 10 \text{ мес} = 94800 \text{ ч.}$, конца штрека $T_k = 5 \text{ лет } 10 \text{ мес} = 51000 \text{ ч.}$. Расчетное время проветривания штрека согласно формуле (I.I7)

$$\tau = \frac{94800 + 51000 + 2 \sqrt{94800 \cdot 51000}}{4} = 71200 \text{ ч.}$$

I.7.3.8. Плотность воздуха в штреке при средней температуре $t_{cp} = 25^{\circ}\text{C}$ и $\varphi_{cp} = 0,67$ согласно формуле (I.40) к табл. П.2

$$\rho = 0,464 \frac{827 - 0,67 \cdot 23,76}{273 + 25} = 1,26 \text{ кг}/\text{м}^3.$$

I.7.3.9. Тепловыделения от электрических потерь в трансформаторной подстанции согласно формуле (I.25)

$$Q_1 = 860 \cdot 32 \cdot 0,05 = 13760 \text{ ккал/ч.}$$

I.7.3.10. Тепловыделения при электровозной откатке согласно формуле (I.30)

$$Q_{so} = 860 \cdot \frac{1700 \cdot 1,06 \cdot 0,2}{18} = 17200 \text{ ккал/ч.}$$

1.7.3.II. Тепловыделения от чистой воды в канавках согласно формуле (I.42)

$$Q_g = 1060 \cdot 0,4 \cdot 3,88 (29,8-25,8) = 6580 \text{ ккал/ч},$$

здесь коэффициент теплоотдачи согласно формуле (I.43)

$$K_g = \frac{1}{\frac{1}{13,42} + \frac{0,05}{0,3} + \frac{1}{60,84}} = 3,88 \text{ ккал/м}^2 \cdot \text{ч.}^{\circ}\text{C ;}$$

коэффициент теплоотдачи в выработке при $\varepsilon = 1,5$ согласно формуле (I.39)

$$\alpha = 2 \cdot 1,5 (1,26 \cdot 5,1)^{0,8} \left(\frac{13,7}{13,0} \right)^{0,2} = 13,42 \text{ ккал/м}^2 \cdot \text{ч.}^{\circ}\text{C ;}$$

коэффициент теплоотдачи от воды к покрытию канавки согласно формуле (I.44)

$$\alpha_1 = 7,13 \frac{(1000 \cdot 0,0116)^{0,8}}{0,4^{0,2}} = 60,84 \text{ ккал/м}^2 \cdot \text{ч.}^{\circ}\text{C ;}$$

скорость движения в канавке

$$U_g = \frac{5}{0,4 \cdot 0,3 \cdot 3600} = 0,0116 \text{ м/с ;}$$

коэффициент, учитывающий теплофизические свойства воды, принят из таблицы I.7 методом интерполяции для температуры 25°C

$$A_{tg} = 7,13.$$

1.7.3.I2. Тепловыделение от угля при транспортировке в вагонетках согласно формуле (I.53)

$$Q_{Tb} = 94400 \cdot 0,33 (1-0,9483) (35,04-25,8) = 14820 \text{ ккал/ч.}$$

Здесь количество транспортируемого ископаемого

$$A_{op} = \frac{170000}{18} = 94400 \text{ кг/ч ;}$$

теплоемкость угля определяем по табл. П.3.1 (принимаем уголь марки УК, влажность которого в результате орошения на конвейерном цехе повысилась до 5%)

$$C_u = 0,33 \text{ ккал/кг.}^{\circ}\text{C.}$$

Температура угля, загружаемого в вагонетки, составляет

$$t'_{n_{2-6}} = t'_{n_{4-7}} - \frac{Q_{Kb_{6-7}}}{A_{Kb_{6-7}} C_{u_{6-7}}} = 36,1 - \frac{29,30}{85000 \cdot 0,33} = 35,04^{\circ}\text{C.}$$

Горная температура горного массива на глубине выемки угля в лаве в соответствии с (I.13)

$$t_r = 8,4 + \frac{1057}{34,1} = 39,4^{\circ}\text{C.}$$

Тепловыделение от транспортируемого угля в лаве определяется по формуле (I.48)

$$Q_A = 1,2 \cdot 4,87 \cdot 0,63 \cdot 200 (39,4 - 3,0 - 26,0) = 7660 \text{ ккал/ч,}$$

где согласно П. I.2.4 принимаем $\Delta t' = 3,0$.

Коэффициент K_t согласно (I.89) при значениях теплофизических свойств угля с влажностью до 5% (табл. П.3.1).

$$K_t = \frac{0,093}{1,77 \sqrt{0,000369 \cdot 0,18 + \frac{0,093}{19,8}}} = 4,87 \text{ ккал/м}^2\cdot\text{ч.}^{\circ}\text{C.}$$

Коэффициент теплоотдачи α_A определяется по (I.39) при $\epsilon = 3,0$, количестве воздуха в лаве $680 \text{ м}^3/\text{мин}$ (формула I.4), скорости движения воздуха по I технологической дороге $V_1 = 1,12 \cdot 3,38 = 3,78 \text{ м/с}$ (формула I.5) с учетом относительной скорости движения воздуха $V_{отн} = 3,78 - 0,92 = 2,86 \text{ м/с}$ (формула I.91);

$$\alpha_A = 2 \cdot 3,0 (1,26 \cdot 2,86)^{0,8} \left(\frac{9,48}{3,37} \right)^{0,2} = 19,8 \text{ ккал/м}^2\cdot\text{ч.}^{\circ}\text{C.}$$

Расчетное время охлаждения отбитого угля в лаве определяем согласно (I.90) с учетом технологии работ (остановок комбайна и конвейера)

$$\tau_A = \frac{200}{3600 \cdot 0,92} \cdot 3 = 0,18 \text{ ч.}$$

Температура угля на конвейере в конце лавы при $A_{\varphi} = \frac{1700000}{20} =$

= 85000 кг/ч и теплоемкости угля при влажности 3% (табл.П.3.1) согласно (I.51), составит

$$t'_{n_{4-7}} = 39,4 - 3,0 - \frac{7660}{85000 \cdot 0,315} = 36,1^{\circ}\text{C}.$$

Тепловыделения от транспортируемого угля в конвейерном штреке

$$Q_{k_{6-7}} = 5,75 \cdot 0,8 \cdot 640 (36,1-26,0) = 29730 \text{ ккал/ч.}$$

Условно принимаем температуру воздуха в конвейерном штреке равной предельно-допустимой по ПБ (26°C). При существенном отличии ее от расчетной, определенной для участка 6-7, расчет необходимо уточнить, что не представляет трудностей при использовании ЭВМ.

Коэффициент K_{T_T} рассчитывается по формуле (I.92)

$$K_{T_T} = 10,52 \left[1 - 0,4529 \right] = 5,75 \text{ ккал/м}^2.$$

Коэффициент теплоотдачи α_T от поверхности транспортируемого угля определяется по (I.39) при $\epsilon = 1,5$, относительной скорости воздуха $V_{\text{отн}} = 1,05 + 1,6 = 2,65 \text{ м/с}$ (формула I.93)

$$\alpha_T = 2 \cdot 1,5 (1,26 \cdot 2,65)^{0,8} \left(\frac{11,51}{9,2} \right)^{0,2} = 10,52 \text{ ккал/м}^2 \cdot \text{ч.}^{\circ}\text{C};$$

значение Ξ_T при теплофизических свойствах транспортируемого угля с влажностью 5% (табл. П.3.1) определяется по (I.94)

$$\Xi_T = \frac{10,52}{0,109} \sqrt{0,000412 \cdot 0,11} = 0,6466;$$

длительность теплообмена угля на конвейере с воздухом согласно (I.90)

$$\tau_b = \frac{640}{3600 \cdot 1,6} = 0,11 \text{ ч};$$

функция $f(z_T)$ рассчитывается по формуле (I.83)

$$f(z_T) = \frac{1,0774 \cdot 0,6466 - 0,0064}{0,6466 + 0,8773} = 0,4529;$$

периметр поперечного сечения насыпки угля на конвейере

$$U_T = 0,11 \sqrt{\frac{1700}{\frac{20}{1,6}}} = 0,8 \text{ м.}$$

Средняя скорость движения воздуха в выработке относительно вагонеток определяется по формуле (I.54)

$$U_{optm} = \frac{5,1 \cdot 1,0 + (5,1 + 4,16)(1,1 - 1,0)}{1,1} = 5,4 \text{ м/с},$$

где скорость движения воздуха в выработке $U_{cp} = 5,1 \text{ м/с}$ (табл. I.I2)

скорость движения вагонеток с углем по выработке

$$U_{Tp} = 15 \text{ км/ч} = \frac{15000}{3600} = 4,16 \text{ м/с};$$

продолжительность пребывания вагонеток с углем ориентировочно принимаем $\tau_{no} = 1,0 \text{ ч}$;

время общего пребывания вагонеток в выработке рассчитывается по формуле (I.55)

$$\tau_{Tp_{2-6}} = 1 + \frac{1220}{3600 \cdot 4,16} = 1,08 \text{ ч.}$$

Коэффициент теплоотдачи от поверхности вагонеток по формуле (I.56)

$$\alpha_u = 3(1,26 \cdot 5,4)^{0,58} \left(\frac{13,7 + 4,62}{13 - 1,32} \right)^{0,47} = 11 \text{ ккал/м}^2 \cdot \text{ч} \cdot ^\circ\text{C},$$

где 13,7 и 4,62 – периметры соответственно выработки и вагонетки, м;

13 и 1,32 – сечения соответственно выработки и вагонетки, м^2 .

Критерии Био и Фурье для начала и конца движения груженных вагонеток по формулам (I.57)-(I.59)

$$B_{i_H} = B_{i_K} = \frac{H \cdot 0,924}{0,109} = 93,25 ;$$

$$F_{0_H} = 0, F_{0_K} = \frac{0,000412 \cdot 1,08}{0,924^2} = 0,00052,$$

здесь радиус вагонетки $R_g = 0,62 \sqrt[3]{3,3} = 0,924$ м ;
продолжительности охлаждения вагонеток с углем соответственно

$$\tau_H = 0 \quad \text{и} \quad \tau_K = 1,08$$

По табл. П.3.2 находим $\Theta_{v_H} = 1,0$; $\Theta_{v_K} = 0,9483$.

I.7.3.13. Тепловыделения от работающих людей при $n = 6$ чел.
согласно формуле (I.62)

$$Q_p = 250 \cdot 6 = 1500 \text{ ккал/ч.}$$

I.7.3.14. Суммарные тепловыделения от местных источников в западном полевом штреке (участок 2-3) составляют

$$\Sigma Q_{mm} = 13760 + 17200 + 6580 + 14820 + 1500 = 53860 \text{ ккал/ч.}$$

I.7.3.15. Коэффициент нестационарного теплообмена для штрека рассчитывается по формуле (I.76)

$$K_T = \frac{1}{1 + \frac{1,75}{2 \cdot 13,33 \cdot 1,89}} \left[\frac{1,75}{2 \cdot 1,89} + \frac{1,75}{\sqrt{3,14 \cdot 0,0033 \cdot 71200} \times} \right. \\ \left. \times \left(1 + \frac{1,75}{2 \cdot 13,33 \cdot 1,89} \right) \right] = 0,507 \text{ ккал/м}^2 \cdot \text{ч.}^{\circ}\text{C},$$

здесь коэффициент теплоотдачи от поверхности выработки к воздуху при $\epsilon = 1,5$ и $\gamma = 1,26 \text{ кг/м}^3$ определен по формуле (I.39)

$$\alpha = 2 \cdot 1,5 (1,26 \cdot 5,1)^{0,8} \left(\frac{13,7}{13,0} \right)^{0,2} = 13,33 \text{ ккал/м}^2 \cdot \text{ч.}^{\circ}\text{C}.$$

1.7.3.16. Температура воздуха в конце расчетного участка штранка 2-3 согласно формуле (I.98)

$$t_2 = 25,8 \cdot 0,8358 + \frac{I - 0,8358}{0,102 + 0,15 \cdot 2,737} \left[3,886 + 0,15 \cdot 2,737 \cdot 8,07 + \frac{53860}{300900 \cdot 0,24} \right] = 24,10^{\circ}\text{C}.$$

Здесь комплекс В согласно формуле (I.99)

$$B = \left(\frac{I + 2,737 \cdot 0,6}{I + 2,737 \cdot 0,75} \right) \left(I + \frac{0,102}{0,15 \cdot 2,737} \right) = 0,8358.$$

Комплекс Б в диапазоне изменения температуры воздуха 20-30⁰C и соответствующих ему значениях коэффициентов $\epsilon' = 8,07$; $\eta = 1,425$; $\rho_{\text{вр}}^H = 24,2$ мм рт.ст. (табл. I.10) определяется по формуле (I.103)

$$B = \frac{1542 \cdot 1,425}{827 - 24,2} = 2,737.$$

Комплекс А определяется по формуле (I.104), т.к. $K_{X_{\text{тр}}} = 0$ и $K_{T_{\text{тр}}} = 0$

$$A = \frac{0,507 \cdot 13,7 \cdot 1060}{300900 \cdot 0,24} = 0,102,$$

где весовой расход воздуха составляет

$$G = 3980 \cdot 60 \cdot 1,26 = 300900 \text{ кг/ч.}$$

Комплекс В по формуле (I.105), т.к. $K_{X_{\text{тр}}} = 0$ и $K_{T_{\text{тр}}} = 0$

$$B = \frac{0,507 \cdot 13,7 \cdot 1060}{300900 \cdot 0,24} \cdot 33,1 = 3,886.$$

1.7.4. Расчет воздухоподавшей выработки № 14 (участок 3-4).

1.7.4.1. Характеристика выработки. Воздухоподавшая выработка проходила по пласту с верхней подрывкой. Угол наклона пласта 6⁰. Породы кровли - глинистые сланцы, почвы - песчанистые сланцы. Мощность пласта - 1,57 м. Глубина расположения выработки: у устья - 1007 м, у дна - 1057 м. Воздух по выработке движется

верху вниз. В выработке установлена маслостанция СНУ-5, мощность электродвигателя маслостанции 39,5 кВт.

I.7.4.2. Геометрические характеристики выработки:

- периметр среднего сечения согласно формуле (I.2)

$$U = 3,8 \sqrt{8,5} = II, I \text{ м};$$

- эквивалентный радиус согласно формуле (I.3)

$$R_0 = \frac{2 \cdot 8,5}{II, I} = 1,53 \text{ м.}$$

I.7.4.3. Естественная температура горных пород согласно формуле (I.13) составляет:

$$\text{в начале выработки } t_{n_1} = 8,4 + \frac{1007}{34, I} = 37,9^{\circ}\text{C};$$

под лавой

$$t_{n_2} = 8,4 + \frac{1057}{34, I} = 39,4^{\circ}\text{C}.$$

I.7.4.4. Теплофизические свойства окружающих горных пород.

На расчетном участке часть периметра поперечного сечения выработки, занимаемого пластом угля, равна $1,57 \cdot 2 = 3,14 \text{ м}$, глинистыми и песчанистыми сланцами - $II, I - 3,14 = 7,96 \text{ м}$.

Средневзвешенные по периметру значения теплофизических параметров составляют:

коэффициент теплопроводности согласно формуле (I.14)

$$\lambda_{cp} = \frac{0,25I \cdot 3,14 + 1,52 \cdot 7,96}{II, I} = 1,16I \text{ ккал}/\text{м} \cdot \text{ч} \cdot {}^{\circ}\text{C};$$

коэффициент температуропроводности согласно формуле (I.16)

$$a_{cp} = \frac{0,00074 \cdot 3,14 + 0,00293 \cdot 7,96}{II, I} = 0,0023 \text{ м}^2/\text{ч}.$$

I.7.4.5. Барометрическое давление воздуха в выработке согласно формуле (I.11)

в устье выработки $P_1 = 736 + 0,09 \cdot 1007 = 827 \text{ мм рт.ст.}$

под лавой $P_2 = 736 + 0,09 \cdot 1057 = 831 \text{ мм рт.ст.}$

I.7.4.6. Относительная влажность воздуха. Согласно пункту I.I.7 принимаем $\varphi_1 = 0,75$, $\varphi_2 = 0,705$.

I.7.4.7. Расчетное время проветривания выработки. По плану горных работ время проветривания начала выработки составляет $T_H = 9,5 \text{ мес} = 6978 \text{ ч}$; $T_K = 5,5 \text{ мес} = 4026 \text{ ч}$. Расчетное время проветривания согласно формуле (I.17)

$$\tau = \frac{6978 + 4026 + 2\sqrt{6978 \cdot 4026}}{4} = 5400 \text{ ч.}$$

I.7.4.8. Плотность воздуха в выработке при $P_{cp} = 829 \text{ мм рт.ст.}$, $t_{cp} = 25^{\circ}\text{C}$ и $\varphi_c = 0,72$ согласно формуле (I.40) и табл. П.2.1

$$\gamma = 0,464 \frac{829 - 0,72 \cdot 23,96}{273 + 25} = 1,26 \text{ кг/м}^3.$$

I.7.4.9. Тепловыделения в пункте размещения маслостанции при $K_{mc} = 1,0$, $\gamma_{gk} = 0,9$ и $\gamma_m = 0,55$ согласно формуле (I.34)

$$Q'_{mc} = 860 \cdot 39,5 \cdot 1,0 (1-0,9 \cdot 0,55) = 17150 \text{ ккал/ч.}$$

I.7.4.10. Коэффициент нестационарного теплообмена согласно формуле (I.78)

$$K_t = 6,62 \cdot \left[1 - \frac{8,724}{9,099} \cdot 0,973 \right] = 0,444 \text{ ккал/м}^2 \cdot \text{ч.}^{\circ}\text{C},$$

здесь коэффициент теплоотдачи от поверхности выработки к воздуху согласно формуле (I.39)

$$\alpha = 2 \cdot 1,5 (1,26 \cdot 2,0)^{0,8} \left(\frac{II+I}{8,5} \right)^{0,2} = 6,62 \text{ ккал/м}^2 \cdot \text{ч.}^{\circ}\text{C};$$

критерий Бис согласно формулам (I.79) и (I.80)

$$Bi = \frac{6,62 \cdot 1,53}{1,161} = 8,724; Bi' = 8,724 + 0,375 = 9,099;$$

критерий Фурье согласно формуле (I.82)

$$F_0 = \frac{0,0023 \cdot 5400}{1,53^2} = 5,3;$$

величина \bar{z} согласно формуле (I.81)

$$\bar{z} = 9,099 \sqrt{5,3} = 20,93 ;$$

функция $f(\bar{z})$ согласно формуле (I.84)

$$f(\bar{z}) = \frac{1,0011 \cdot 20,93 - 0,2575}{20,93 + 0,3406} = 0,973.$$

I.7.4.II. Температура воздуха в конце выработки согласно формуле (I.98)

$$t_c = 24,1 \cdot 0,9877 + \frac{1 - 0,9877}{0,160 + (-0,045) \cdot 2,730} \cdot [6,253 + (-0,045) \times \\ \times 2,730 \cdot 8,07 + \frac{17150}{1020 \cdot 60 \cdot 1,26 \cdot 0,24} + 600 \cdot 0,1045 (0,0293 \cdot 0,0493 + \\ + 0,00976)] = 26,0^{\circ}\text{C}.$$

Вдесь комплекс В согласно формуле (I.99)

$$B = \left(\frac{1 + 2,730 \cdot 0,75}{1 + 2,730 \cdot 0,705} \right) \left(1 + \frac{0,160}{(-0,045) \cdot 2,730} \right) = 0,9877 ,$$

а изменение относительной влажности согласно формуле (I.100)

$$\Delta \varphi = 0,705 - 0,75 = -0,045.$$

Комплекс Б для диапазона температур $20 + 30^{\circ}$ и соответствующих ему значениях коэффициентов по табл. I.10 $r = 1425$;
 $\varepsilon' = 8,07$; $P_0 = 24,2$ мм рт.ст. согласно формуле (I.103)

$$B = \frac{1542 \cdot 1,425}{829 - 24,2} = 2,730 ;$$

Комплекс А согласно формуле (I.104)

$$A = \frac{0,444 \cdot 11,1 \cdot 600}{1020 \cdot 60 \cdot 1,26 \cdot 0,24} = 0,160 ;$$

Комплекс Е согласно формуле (I.105)

$$E = \frac{0,444 \cdot 11,1 \cdot 600}{1020 \cdot 60 \cdot 1,26 \cdot 0,24} \cdot 37,9 = 6,06 ,$$

Комплекс Т согласно формуле (I.I06)

$$T = \frac{0,160 \{ [0,160 + (-0,045) \cdot 2,730] - (1+2,730 \cdot 0,75) \cdot (1-0,9877) \}}{[0,160 + 2 \cdot (-0,045) \cdot 2,730] \cdot (1-0,9877)}$$

$$\approx 0,0493.$$

I.7.5. Расчет лавы (участок 4-5). ,

I.7.5.1. Характеристика лавы:

мощность пласта - 1,57 м;
 пласт марки УК, естественная влажность до 3%;
 вмещающие пласт породы: почва-песчанистый сланец, кровля-
 глинистый сланец;
 влажностное состояние окружающего горного массива -
 почва и кровли пласти сухие, капея в лаве не наблю-
 дается;
 глубина ведения очистных работ - 1057 м ;
 система разработки-отбойная, (длинные столбы по восста-
 нию);
 схема проветривания - прямоточная;
 примыкание выработок выемочного участка с вентиляционны-
 ми струями: свежей и подсвежающей - к целику ;
 исходящей - к выработанному пространству ;
 длина лавы - 200 м ; суточная добыча из лавы - 1700 т ;
 транспортировка ископаемого - конвейерная по выработке
 о подсвежающей струей;
 способ управления кровлей - полное обрушение;
 способ выемки угля - комбайном 2К-52Ш ;
 глубина вруба - 0,63 м ;
 мощность электродвигателя комбайна (установленная)-
 - 105 кВт ;
 способ доставки угля в лаву - конвейером СПМ-87 ;
 количество электродвигателей конвейера - 3 ;
 мощность электродвигателей конвейера $N = 1 \times 45$ кВт - в
 начале лавы, $N = 2 \times 45$ кВт - в конце лавы;
 режим работы лавы - 10 часов в сутки по добыче и 4 часа
 ремонт.

I.7.5.2. Температура горного массива согласно I.7.3.I2.

$$t_n = 39,4^{\circ}\text{C}.$$

1.7.5.6. Теплофизические параметры горного массива принимаются в соответствии с данными табл. I.6:

$$\lambda_y = 0,251 \text{ ккал}/\text{м}\cdot\text{ч}\cdot{}^{\circ}\text{C} ;$$

$$\lambda_n = \lambda_k = 1,52 \text{ ккал}/\text{м}\cdot\text{ч}\cdot{}^{\circ}\text{C} ;$$

$$\alpha_y = 0,00074 \text{ м}^2/\text{ч} ;$$

$$\alpha_n = \alpha_k = 0,00293 \text{ м}^2/\text{ч} .$$

1.7.5.7. Относительная влажность воздуха. Согласно данным табл. I.4 для "сухих" лав на период добывной смены относительная влажность воздуха принимается:

$$\text{на входе в лаву } \varphi_1 = 0,705 ;$$

$$\text{на выходе из лавы } \varphi_2 = 0,705 + \frac{200}{100} \cdot 0,038 = 0,78.$$

1.7.5.8. Расчетное время проветривания. Средняя продолжительность выемки комбайном одной полосы угля шириной 0,63 м при суточной добыче 1700 т, добыче за один цикл $200 \cdot 1,57 \cdot 0,63 \times 1,275 = 252,2$ т и количестве снимаемых за сутки полос $\frac{1700}{252,2} = 7$, составляет $\tau_n = \frac{24}{7} = 3,43$ ч. С учетом геометрических

размеров призабойного пространства лавы количество полос по ширине технологических дорог лавы составляет

$$\text{I дорога } n_1 = \frac{2,37}{0,63} = 3,76,$$

принимаем для расчета по I дороге 4 полосы;

$$\text{II дорога } n_2 = \frac{1,1}{0,63} = 1,75,$$

принимаем к расчету по II дороге 2 полосы.

Тогда для угольного забоя согласно формуле (I.18)

$$\tau_3 = 0,25 \cdot 3,43 = 0,86 \text{ ч} ;$$

для пород кровли и почвы I дороги согласно формуле (I.19)

$$\tau_4 = 0,25 \cdot 4 \cdot 3,43 = 3,43 \text{ ч} ;$$

для пород кровли и почвы II дороги и выработанного пространства согласно формуле (I.20)

$$\tau_2 = \frac{3,43 (4 + 6 + 2\sqrt{4 \cdot 6})}{4} = 16,98 \text{ ч} .$$

1.7.5.9. Тепловыделения, связанные с конвейерной транспортировкой угла в лаве,

1.7.5.3. Геометрические характеристики лавы согласно данным замеров поперечного сечения призабойного пространства (шахтным или конструктивным):

общее сечение призабойного пространства лавы - $3,37 \text{ м}^2$;
 периметр сечения призабойного пространства лавы - $9,48 \text{ м}$;
 сечение I технологической дороги лавы - $2,6 \text{ м}^2$;
 периметр сечения I технологической дороги - $7,34 \text{ м}$;
 сечение II технологической дороги лавы - $0,77 \text{ м}^2$;
 периметр II технологической дороги - $4,8 \text{ м}$;
 ширина I технологической дороги лавы - $2,37 \text{ м}$;
 ширина II технологической дороги лавы - $1,1 \text{ м}$.

Эквивалентный радиус поперечного сечения согласно формуле (I.3) для I технологической дороги:

$$R_{o_1} = \frac{2 \cdot 2,6}{7,34} = 0,71 \text{ м} ;$$

для II технологической дороги

$$R_{o_2} = \frac{2 \cdot 0,77}{4,8} = 0,32 \text{ м.}$$

1.7.5.4. Количество воздуха, проходящего по рабочему пространству лавы, при $K_{\text{ум}} = 1,5$ согласно формуле (I.4)

$$Q_3 = \frac{1020}{1,5} = 680 \text{ м}^3/\text{мин} ;$$

весовой расход воздуха по рабочему пространству лавы при
 $\gamma = 1,26 \text{ кг/м}^3$

$$G = 680 \cdot 60 \cdot 1,26 = 51410 \text{ кг/ч.}$$

1.7.5.5. Скорость воздуха по технологическим дорогам призабойного пространства лавы при $v_{\text{ср}} = 3,38 \text{ м/с}$ (см.табл. I.12) в соответствии с формулами (I.5) и (I.6) составляет:

$$\text{I дорога } v_1 = 1,12 \cdot 3,38 = 3,78 \text{ м/с} ;$$

$$\text{II дорога } v_2 = 0,62 \cdot 3,38 = 2,1 \text{ м/с.}$$

1.7.5.I0. Тепловыделение при работе комбайна производительностью $A_{\phi} = 85 \text{ т/ч}$, $A_n = 168 \text{ т/ч}$, $\xi = 0,5$ согласно формуле (I.36)

$$Q_K = 860 \cdot 105 \cdot \frac{85}{168} \cdot 0,5 = 22900 \text{ ккал/ч.}$$

1.7.5.II. Тепловыделение гидросистем механизированной крепи в лаве при коэффициенте загрузки электродвигателей $K_{mc} = 1,0$, к.п.д. электродвигателя маслонасоса $\eta_g = 0,9$, механическом к.п.д. маслонасоса $\eta_m = 0,55$ согласно формуле (I.35)

$$Q_{zc} = 860 \cdot 39,5 \cdot 1,0 \cdot 0,9 \cdot 0,55 = 16800 \text{ ккал/ч.}$$

1.7.5.I2. Тепловыделения одновременно работающих в лаве людей ($n = 6$ чел) согласно формуле (I.63)

$$Q_p = 250 \cdot 6 = 1500 \text{ ккал/ч.}$$

1.7.5.I3. Суммарные тепловыделения местных источников

$$\sum Q_{mi} = 39400 + 22900 + 16800 + 1500 = 80600 \text{ ккал/ч.}$$

1.7.5.I4. Коэффициент нестационарного теплообмена (средневзвешенный) призабойного пространства лавы согласно формуле (I.86)

$$K_t = 5,293 \cdot \frac{1,3}{9,48} + 7,86 \cdot \frac{4,74}{9,48} + 4,68 \cdot \frac{2,2}{9,48} + 4,68 \cdot \frac{1,24}{9,48} = 6,3 \frac{\text{ккал}}{\text{м}^2 \cdot \text{ч} \cdot ^\circ\text{C}}.$$

Здесь коэффициент нестационарного теплообмена угольного забоя определен по формуле (I.78)

$$K_{tz} = 25,3 \left(1 - \frac{71,57}{71,945} \cdot 0,795 \right) = 5,293 \text{ ккал/м}^2 \cdot \text{ч} \cdot ^\circ\text{C} ;$$

коэффициент теплоотдачи поверхностей окружающего горного массива для I технологической дороги по формуле (I.39)

$$\alpha_1 = 2 \cdot (1,26 \cdot 3,78)^{0,8} \left(\frac{7,34}{2,6} \right)^{0,2} = 25,3 \text{ ккал/м}^2 \cdot \text{ч} \cdot ^\circ\text{C} ;$$

критерий Био по формулам (I.79) и (I.80)

$$Bi = \frac{25,3 \cdot 0,7I}{0,25I} = 71,57 ; \quad Bi' = 71,57 + 0,375 = 71,945 ;$$

критерий Фурье по формуле (I.82)

$$F_0 = \frac{0,00074 \cdot 0,86}{0,7I^2} = 0,001260 ;$$

значение числа \bar{z} по формуле (I.81)

$$\bar{z} = 71,945 \sqrt{0,001260} = 2,554 ;$$

функция $f(\bar{z})$ по формуле (I.84)

$$f(\bar{z}) = \frac{1,0011 \cdot 2,554 - 0,2575}{2,554 + 0,3406} = 0,795 .$$

Коэффициент нестационарного теплообмена для пород почвы и кровли I технологической дороги лавы согласно формуле (I.78)

$$H_{T_{n4}, n4} = 25,3 \left(1 - \frac{II,82}{12,195} \cdot 0,7II \right) = 7,86 \text{ ккал}/\text{м}^2 \cdot \text{ч} \cdot {}^\circ\text{C} ;$$

критерий Био по формулам (I.79) и (I.80)

$$Bi = \frac{25,3 \cdot 0,7I}{1,52} = II,82 ; \quad Bi' = II,82 + 0,375 = 12,195 ;$$

критерий Фурье по формуле (I.82)

$$F_0 = \frac{0,00293 \cdot 3,43}{0,7I^2} = 0,01993 ;$$

число \bar{z} по формуле (I.81)

$$\bar{z} = 12,195 \sqrt{0,01993} = 1,719 ;$$

функция $f(z)$ по формуле (I.83)

$$f(z) = \frac{1,0011 \cdot 1,719 - 0,0064}{1,719 + 0,8773} = 0,711.$$

Коэффициент нестационарного теплообмена для пород и кровли П технологической дороги согласно формуле (I.78)

$$K_{T_{n_2, K_2}} = 18,86 \left(1 - \frac{3,971}{4,346} \right) \cdot 0,823 = 4,68 ;$$

коэффициент теплоотдачи поверхностей окружающего горного массива для П технологической дороги определяется по формуле (I.39)

$$\alpha_2 = 2 \cdot 3(1,26 + 2,1)^{0,8} \left(\frac{4,8}{0,77} \right)^{0,2} = 18,86 \text{ ккал}/\text{м}^2 \cdot \text{ч} \cdot {}^\circ\text{C} ;$$

критерий Био по формулам (I.79) и (I.80)

$$Bi = \frac{18,86 \cdot 0,32}{1,52} = 3,971 ; \quad Bi' = 3,971 + 0,375 = 4,346 ;$$

критерий Фурье по формуле (I.82)

$$\Gamma_0 = \frac{0,00293 \cdot 16,98}{0,32^2} = 0,4858 ;$$

число z по формуле (I.81)

$$z = 4,346 \sqrt{0,4858} = 3,029 ;$$

функция $f(z)$ по формуле (I.84)

$$f(z) = \frac{1,0011 \cdot 3,029 - 0,2575}{3,029 + 0,3406} = 0,823.$$

Коэффициент нестационарного теплообмена для выработанного про-странства лавы принимается равным коэффициенту нестационарного теплообмена пород П технологической дороги

I.7.5.15. Температура воздуха в конце лавы в соответствии с формулой (I.98) равна

$$t_2 = 26,0 \cdot 0,665 + \frac{1 - 0,665}{1,028 + 0,075 \cdot 2,724} \left[40,32 + 0,075 \cdot 2,724 \cdot 8,07 + \right. \\ \left. + \frac{80600}{51410} \cdot 0,24 \right] = 30,5^{\circ}\text{C}.$$

Здесь комплекс В согласно формуле (I.99)

$$B = \left(\frac{1 \cdot 2,724 \cdot 0,705}{1 + 2,724 \cdot 0,78} \right)^{(1 + \frac{1,028}{0,075 \cdot 2,724})} = 0,665 ;$$

изменение относительной влажности в лаве согласно формуле (I.I00)

$$\Delta\varphi = 0,78 - 0,705 = 0,075 ;$$

комплекс Б для диапазона изменения температуры 20-30⁰C и соответствующих ему коэффициентов $n = 1,425$; $\varepsilon' = 8,07$ и $P_{cp}^n = 24,2$ мм рт.ст. (табл. I.I0) согласно формуле (I.I03)

$$B = \frac{1542 \cdot 1,425}{831 - 24,2} = 2,724 ;$$

комплекс А согласно формуле (I.I04) и п. I.7.3.I2

$$A = \frac{6,3 \cdot 9,48 \cdot 200}{51410 \cdot 0,24} + \frac{1,2 \cdot 4,87 \cdot 0,63 \cdot 200}{51410 \cdot 0,24} = 1,028 ;$$

комплекс Е согласно формуле (I.I05)

$$E = \frac{6,3 \cdot 9,48 \cdot 200}{51410 \cdot 0,24} \cdot 39,4 + \frac{1,2 \cdot 4,87 \cdot 0,63 \cdot 200}{51410 \cdot 0,24} (39,4 - 3,0) = 40,32 .$$

$$\varphi_2' = \frac{760}{831} \cdot 0,78 = 0,713 ;$$

$$B = 0,5 (0,968I + 0,0597) = 0,5I39 ;$$

$$N_2 = \frac{I + 0,5I39 + 2,49 \cdot 0,713 (-0,484)}{4,98 \cdot 0,713 \cdot 0,0347} = 5,31.$$

Тепловыделения местных источников в лаве принимаются согласно п.п. I.7.5.9 - I.7.5.12

$$\sum Q_{\text{ми}} = 80600 \text{ ккал/ч.}$$

тогда согласно (I.I23)

$$E_2 = 0,968I \cdot 39,4 + 0,0597 \cdot 36,4 + \frac{80600}{51410 \cdot 0,24} = 46,85 ;$$

$$d_{t_1}^n = \frac{622 \cdot 25,22}{760 - 25,22} = 21,35.$$

I.8.3.3. Температура воздуха в конце лавы определяется по формуле (I.II9)

$$t_2 = -5,31 + \sqrt{\left(5,31\right)^2 + \frac{I}{2,49 \cdot 0,713 \cdot 0,0347} \left[46,85 + (I - 0,5I39)26,0 + \right.} \\ \left. + 2,49 \cdot 0,645 \cdot 21,35 - 303 \right] = 30,0^\circ\text{C.}$$

Отклонение температуры воздуха в конце лавы по упрощенному способу расчета в сравнении с основным составило $-0,5^\circ\text{C}$,

$$\mathcal{N}_2 = \frac{I + 0,08 + 2,49 \cdot 0,645 (-0,484)}{4,98 \cdot 0,645 \cdot 0,0347} = 2,72.$$

I.8.2.2. Температура воздуха в конце воздухоподающей выработки № I4 определяется по (I.II9)

$$t_2 = -2,72 + \sqrt{(2,72)^2 + \frac{I}{2,49 \cdot 0,645 \cdot 0,0347} \left[7,6II + (I-0,08) \times \right.} \\ \left. \times 24, I + 2,49 \cdot 0,689 \cdot 18,98 \right] - 303 = 26,0^{\circ}\text{C}.$$

I.8.3. Расчет лавы № I4 (участок 4-5)

I.8.3.1. Температура и относительная влажность воздуха на входе в лаву составляют

$$t_1 = 26,0 ; \quad \varphi_1 = 0,705.$$

Остальные исходные данные принимаем из п. I.7.5.1, табл. I.I2 и I.4

$$\varphi_2 = 0,78 ; \quad t_{\pi} = 39,4^{\circ}\text{C} ; \quad \Delta t' = 3^{\circ}\text{C}.$$

I.8.3.2. Вычисление комплексов, входящих в основную формулу (I.II9), производится по формулам (I.I20)-(I.I26) и (I.I23) с учетом данных табл. I.II, I.I2 и П.2.1 и п. I.7.3.12

$$A_1 = \frac{6,3 \cdot 9,48 \cdot 200}{51410 \cdot 0,24} = 0,968I ;$$

$$A_2 = \frac{1,2 \cdot 4,87 \cdot 0,63 \cdot 200}{51410 \cdot 0,24} = 0,0597 ;$$

$$\varphi'_1 = \frac{760}{891} \cdot 0,705 = 0,645 ;$$

$$A_1 = \frac{0,444 \cdot II,1 \cdot 600}{1020 \cdot 60 \cdot 1,26 \cdot 0,24} = 0,160;$$

$$\varphi_1' = \frac{760}{8270} \cdot 0,75 = 0,689;$$

$$\varphi_2 = \frac{760}{831} \cdot 0,705 = 0,645;$$

$$B = 0,5 \cdot 0,160 = 0,08;$$

$A_2 = 0$ (по выработке не производится транспортировка угля);
комplekсы A_3 , A_4 , A_5 , A_6 , B_1 и B_2 равны нулю, так как в выработке нет трубопроводов с хладоносителем

$$d_{t_4}'' = \frac{622 \cdot 22,51}{760 - 22,51} = 18,98 \text{ г/кг}$$

Средняя температура горных пород на участке (3-4) определяется согласно данных п. I.7.4.3

$$t_{\text{пср}} = \frac{37,9 + 39,4}{2} = 38,65^{\circ}\text{C};$$

$$\sum Q_{\text{МИ}} = 171^{\circ}\text{C ккал/ч} \text{ (см. п. I.7.4.9);}$$

$$E_2 = 0,160 \cdot 38,65 + \frac{17150}{51410 \cdot 0,24} + 0,01 \cdot (1057-1007) = 7,6II.$$

Коэффициенты аппроксимации влагоодержания насыщенного воздуха принимаются для ожидаемого интервала изменения температуры воздуха в выработке ($20\text{--}30^{\circ}\text{C}$) по табл. I.II

$$n_y = -0,484; \quad l_y = 0,0947; \quad \frac{m_y}{p_y} = 303;$$

Из приведенных расчетов видно, что температура вентиляционной струи на выходе из лавы превышает допустимые ПБ нормы. Для создания нормальных температурных условий в штреке и лаве необходимо применять искусственное охлаждение воздуха на участке 3-4. Определение необходимой холодопроизводительности воздухоохладителя производится в следующем порядке. Обратным тепловым расчетом по формуле (I.107) вычисляется температура воздуха в начале лавы при данном нормативном значении ее в конце лавы. При этом все исходные данные в формуле (I.107) принимаются те же, что и при прямом расчете.

С учетом полученного значения температуры воздуха в начале лавы по формуле (I.107) производится обратный тепловой расчет выработки 3-4 до предполагаемого места установки воздухоохладителя. При этом относительная влажность воздуха принимается согласно рекомендаций, приведенных в п. I.1.8, коэффициент нестационарного теплообмена рассчитывается по формулам, приведенным в п. I.4.7, а остальные исходные данные принимаются те же, что и при прямом расчете. Затем по данным прямого и обратного расчетов рассчитывается потребная холодопроизводительность воздухоохладителя.

I.8. Пример теплового расчета по упрощенному способу.

I.8.1. В процессе эксплуатации глубоких горизонтов может возникнуть необходимость в определении ожидаемых температур воздуха в участковых выработках и лавах при известных температурах на групповых воздухоподающих выработках. В этом случае ИТР шахты может воспользоваться упрощенным методом теплового расчета изложенным в разделе I.6. Для его оценки произведем тепловые расчеты по шахте с исходными горногеологическими и горнотехническими данными, приведенными в п. I.7, для воздухоподающей выработки (участок 3-4) и лавы № 14 (участок 4-5) рис. I.5. Все исходные данные по упрощенной методике определяются по тем же зависимостям, что и для основной методики.

I.8.2. Расчет воздухоподающей выработки № 14 (участок 3-4).

I.8.2.1. Тепловые параметры воздуха в начале штрека принимаем по результатам расчетов, выполненных в п. I.7

$$t_1 = 24,1^{\circ}\text{C}, \quad \varphi_1 = 0,75, \quad \varphi_2 = 0,705.$$

Вычисление комплексов, входящих в основную расчетную зависимость (I.109), производится по формулам (I.109), (I.105) и (I.106).

2. МЕТОДИКА ПРОГНОЗИРОВАНИЯ ТЕМПЕРАТУРНОГО РЕЖИМА ШАХТ В ОСЛОЖНЕННЫХ УСЛОВИЯХ

2.1. Выбор исходных данных

Под осложненными условиями понимают сложный (сильнопересеченный, гористый) рельеф поверхности, складчатое и нарушенное залегание горных пород, наличие в горном массиве источников тепла постоянной во времени температуры в виде восходящих потоков термальных вод. Перечисленными условиями характеризуются Ткибули-Шарокское (сложный рельеф поверхности, складчатое и нарушенное залегание горных пород) и Ткварчельское (сложный рельеф поверхности, складчатое и нарушенное залегание горных пород, восходящие потоки термальных вод) каменноугольные месторождения. Поэтому особенности методики теплового расчета выработок в осложненных условиях излагаются на примере этих месторождений.

При сложном рельефе поверхности и складчатом залегании пород естественная температура горного массива не является однозначной функцией глубины от поверхности. Кроме этого важнейшего фактора она зависит и от относительной неровности рельефа поверхности, теплофизических свойств и формы залегания lithологических отложений. В отличие от ровного рельефа поверхности геотермограмма поверхности слоя земной коры не прямая линия, а кривая, тангенс угла наклона которой к оси ординат (геотермический градиент) с увеличением глубины от поверхности неуклонно повышается (рис. 2.1). В разных точках месторождения эта кривая различна, т.е. геотермический градиент претерпевает изменение не только по глубине, но и по площади. Поэтому искомую температуру пород нельзя определить при помощи осредненного значения геотермической ступени, а необходимо иметь предварительно построенное температурное поле месторождения в целом или его характерных стратиграфических разрезов, охватывающих все воздухоподающие выработки вентиляционной сети.

2.1.1. При отсутствии подобных данных искомая температура пород приближенно определяется по приведенной геотермической ступени, которая для рассматриваемой точки приближенно дает

реальную естественную температуру пород с учетом неровности рельефа поверхности и геологического строения месторождения

$$\Gamma_{np} = \Gamma_0 + \alpha' \Delta h_+, \quad (2.1)$$

- ¹⁰ Γ_{np} - приведенная геотермическая ступень для данной точки, м/ $^{\circ}$ С ;
 Γ_0 - геотермическая ступень низменности, примыкающей к рассматриваемому месторождению со сложным рельефом поверхности, м/ $^{\circ}$ С ;
 Δh_+ - превышение отметки поверхности над данной точкой (по вертикали) относительно плоскости сравнения (отметки взятой низменности H_0), м ;
 α' - эмпирический коэффициент, учитывающий приращение геотермической ступени при повышении высоты местности на 1 м, м/ $^{\circ}$ С.

При сложном рельефе поверхности и спокойном залегании пород в среднем значение коэффициента $\alpha' = 0,012$.

При сложном рельефе поверхности и складчатом залегании пород:

- с противоположными изгибами по сравнению с рельефом поверхности, когда возвышенностям рельефа соответствуют погружения пород, среднее значение коэффициента $\alpha' = 0,02$;
- при согласованных изгибах пород и рельефа $\alpha' = 0,006$.

Для Ткибули-Пшорского и Ткварчельского каменноугольных месторождений $\Gamma_0 = 27$ м/ $^{\circ}$ С, а отметка, при которой она определена $H_0 = 500$ м.

2.1.2. При сложном рельефе поверхности непостоянны и параметры нейтрального температурного слоя (температура и глубина залегания). Температура нейтрального слоя определяется по формуле

$$t_n = t_0 - \alpha'' \Delta h_+, \quad (2.2)$$

а глубина его залегания

$$h_n = h_0 + \alpha''' \Delta h_+, \quad (2.3)$$

где t_0, h_0 - соответственно температура и глубина залегания нейтрального температурного слоя низменности, примыкающей к месторождению со сложным рельефом поверхности, $^{\circ}\text{C}$ и м;

α'' - коэффициент, учитывающий снижение температуры этого слоя при повышении высоты местности на I_m , $^{\circ}\text{C}/\text{м}$;

α''' - коэффициент, учитывающий увеличение глубины залегания слоя с увеличением высоты местности на I м.

Значения коэффициентов α'' и α''' зависят от климатических условий местности, наличия и вида поверхностного покрова и от свойств почвы или пород, слагающих зону выше нейтрального слоя. Для Ткибули-Шарского и Ткварчелского месторождений $\alpha'' = 0,008^{\circ}\text{C}/\text{м}$, а $\alpha''' = 0,0218$

Температура и глубина залегания нейтрального температурного слоя в низменности принимаются: для Ткибули $t_0 = 13,7^{\circ}\text{C}$, $h_0 = 24,0$ м; для Ткварчели $t_0 = 10,7^{\circ}\text{C}$, $h_0 = 25,0$ м.

2.1.3. При наличии в горном массиве термальных вод в зоне их восходящего движения температура горных пород практически не отличается от температуры термальных вод. Геотермическая ступень в этой зоне определяется по результатам измерения температуры вод на разных отметках

$$\Gamma_T = \frac{H_{T_0} - H'}{t_{T_1} - t_{T_0}}, \quad (2.4)$$

где Γ_T - геотермическая ступень в зоне движения термальных вод, $\text{м}/^{\circ}\text{C}$;

H_{T_0} - отметка выхода термальных вод на поверхность, м;

H' - наименьшая отметка точки термических наблюдений, м;

t_{T_0} - температура термальных вод у выхода на дневную поверхность, $^{\circ}\text{C}$;

t_{T_1} - температура термальных вод на глубине H_1 , $^{\circ}\text{C}$.

Для Ткварчелского месторождения $t_{T_0} = 32,0^{\circ}\text{C}$, $H_{T_0} = 1200$ м. При отсутствии результатов термических наблюдений при расчетах можно принять $\Gamma_T = 70 \text{ м}/^{\circ}\text{C}$.

Таблица 2.1

Средние значения теплофизических характеристик горных пород и закладочных материалов каменноугольных месторождений Грузии

№	Наименование горных пород	Плотность		Теплофизические свойства					
		$\gamma, \text{кг}/\text{м}^3$		$\alpha \cdot 10^4, \text{м}^2/\text{ч}$		$C, \text{кал}/\text{кг} \cdot {}^\circ\text{C}$		$\lambda, \text{ккал}/\text{м} \cdot \text{ч} {}^\circ\text{C}$	
		Ткибули	Тварчели	Ткибули	Тварчели	Ткибули	Тварчели	Ткибули	Тварчели
1.	Песчаники угленосной свиты	2600	2720	37,2	44,4	0,210	0,203	2,00	2,46
2.	Угольная толща	1400	1300	12,4	6,12	0,260	0,250	0,45	0,198
3.	Литоватые сланцы	2400	-	20,9	-	0,209	-	0,99	-
4.	Песчаники порфиритовой свиты байоса	2530	2700	24,5	35,7	0,210	0,200	1,35	1,926
5.	Дробленные закладочные материалы:								
	сухие	1800	-	8,2	-	0,193	-	0,28	-
	влажные (с влажн.4%)	2000	-	24,3	-	0,224	-	1,10	-

2.1.4. При сложном рельефе поверхности и складчатом залегании пород естественная температура горного массива в заданном месте выработки определяется по температурному полю или термогипсометрической карте месторождения. При отсутствии этих данных она рассчитывается по формуле

$$t_n = t_n - \frac{H - h}{\Gamma_{np}} . \quad (2.5)$$

2.1.5. В зоне восходящего движения термальных вод (рис. 2.2) температура пород принимается равной температуре термальных вод и определяется по формуле

$$t_{nT} = t_T = t_{T_0} + \frac{H}{\Gamma_T} . \quad (2.5)$$

Внутри области теплового влияния термальных вод (рис. 2.2) температура горных пород определяется методом линейной интерполяции по значениям t_n (зона III) и t_{nT} (зона I).

2.1.6. Средние значения теплофизических свойств основных горных пород (теплопроводность, температуропроводность, удельная теплосимкость) даны в таблице 2.1.

При необходимости, средневзвешенные значения теплофизических свойств пород определяются по формулам (1.14)–(1.16).

2.1.7. Значения температуры и относительной влажности атмосферного воздуха принимаются по данным табл. 2.2.

Таблица 2.2.

Среднемесечные тепловлажностные параметры атмосферного воздуха Ткибуль-Наорского и Ткварчельского каменноугольных месторождений

Месяц	Температура, °С				Относительная влажн., доли ед.		
	Ткибуль, Наорск., плато H=540 м		Ткварч. H=1131 м		Ткибуль, Наорск., плато H=540 м		Ткварчел., H=1131 м
	1	2	3	4	5	6	7
Январь	3,0	-4,2	1,5	0,73	0,81	0,76	
Февраль	3,3	-3,8	1,5	0,74	0,79	0,74	
Март	5,1	-0,5	3,0	0,73	0,76	0,74	
Апрель	10,9	5,7	7,4	0,66	0,74	0,73	
Май	16,2	12,1	11,3	0,69	0,73	0,77	
Июнь	19,3	15,4	14,8	0,72	0,75	0,80	

	1	2	3	4	5	6	7
Июль	20,9	17,7	17,2	0,76	0,77	0,84	
Август	21,4	17,5	17,1	0,76	0,77	0,82	
Сентябрь	18,1	13,2	14,6	0,74	0,80	0,80	
Октябрь	13,3	7,6	9,4	0,72	0,81	0,77	
Ноябрь	9,2	2,9	6,1	0,67	0,79	0,73	
Декабрь	5,0	-2,3	6,1	,60	0,79	0,72	
Средне- год.	12,1	6,8	9,1	0,72	0,78	0,77	

2.1.8. Относительная влажность рудничного воздуха принимается по данным шахтных измерений. При отсутствии последних рекомендуется принимать следующие значения:

2.1.8.1. Для Тыбили - в околосвольном дворе горизонта штолни - 0,77 - 0,80; в околосвольном дворе откаточного горизонта - 0,87-0,90 ; в конце капитального квершлага - 0,92-0,93; в начале очистного забоя - 0,96-0,97.

2.1.8.2. Для Ткварчели - в околосвольном дворе горизонта штолни - 0,88 - 0,90; в околосвольном дворе откаточного горизонта - 0,97 - 0,98; на входе в очистную выработку - 0,98 (при отработке горизонта выше штолни); в конце капитального квершлага - 0,94-0,95 ; в конце уклона - 0,96 и в начале лавы 0,98 (при отработке уклонных полей).

2.1.9. Все остальные исходные данные - тепловыделение местных ис. очников тепла, коэффициенты теплопередачи трубопроводов с тепло- и хладоосвежителем, коэффициенты нестационарного теплообмена между горным массивом и рудничным воздухом и др. определяются по формулам, приведенным в разделе I.

2.2. Тепловой расчет горных выработок, расположенных в зоне восходящего движения термальных вод.

2.2.1. При наличии в горном массиве термальных вод тепловой расчет всех выработок, находящихся вне зоны их восходящего движения (зона I, рис. 2.2), производится обычным способом с учетом влияния рельефа поверхности, формы изогнания пород и температурных возмущений, вызванных рассеиванием тепла термальных вод (см. п.2.1).

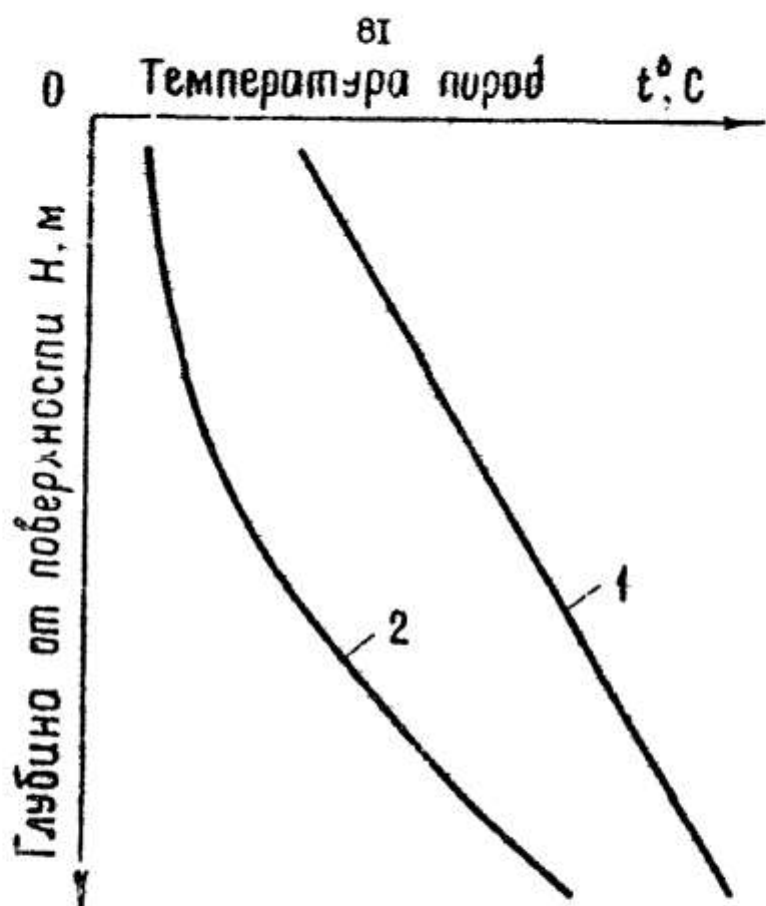


Рис. 2.1. Общий вид изменения температуры верхнего слоя земной коры с увеличением глубины от поверхности: I - при ровном рельефе поверхности (низменном районе); 2 - при сложном рельефе поверхности (под высоким хребтом).

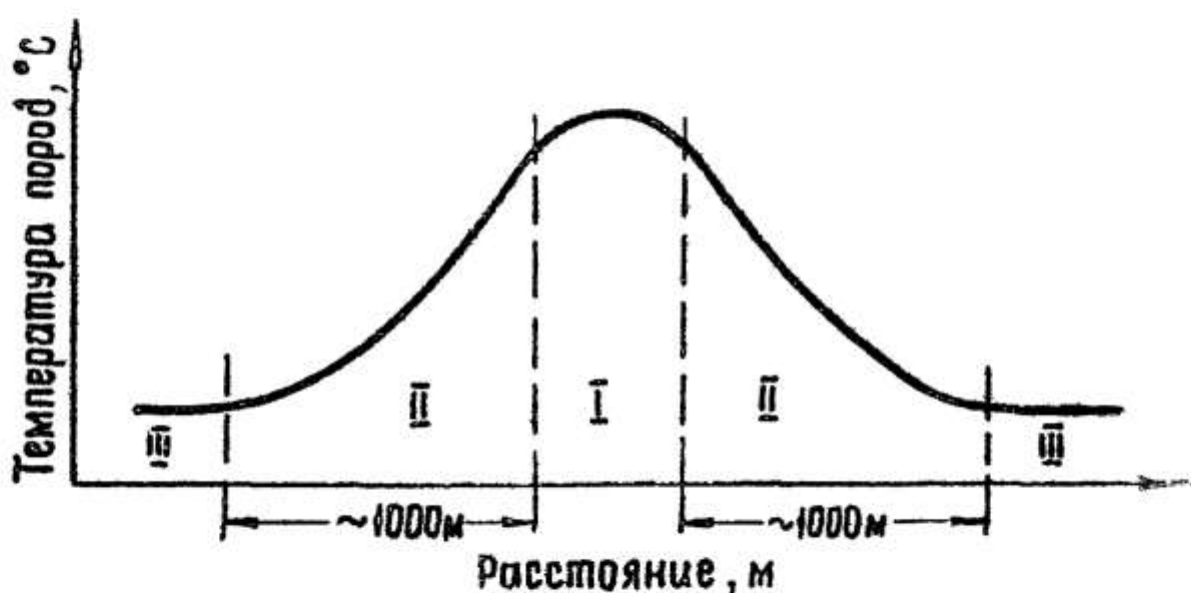


Рис. 2.2. Общий вид распределения температуры на горизонте при наличии термальных вод: I - зона восходящего движения вод; II - область их теплового влияния; III - разогущенная термами область.

2.2.2. Рассчитывается относительный дебит термальных вод в выработке

$$G'_T = \frac{G_T}{G} . \quad (2.7)$$

Весовой дебит термальных вод (G_T) определяется по гидрогеологическим данным месторождения, а весовой расход рудничного воздуха (G) берется по проектным данным вентиляции шахты.

2.2.3. Средняя температура термальных вод на расчетном участке определяется по формуле

$$\bar{t}_{T_{cp}} = 0.25 \bar{t}_T (1 + \sqrt{G'_T})^2 , \quad (2.8)$$

где \bar{t}_T - естественная температура термальных вод в конце расчетного участка, определяется по формуле (2.6);

G'_T - экспериментальный коэффициент, значение которого определяется из рис. 2.3 в зависимости от предполагаемого приращения температуры рудничного воздуха (Δt_g) в пределах расчетного участка и естественной температуры термальных вод на данной глубине. Для других температур термальных вод, не приведенных на рис. 2.3, он определяется методом линейной интерполяции.

2.2.4. Выбор способа отвода термальных вод из горных выработок.

Способ отвода термальных вод выбирается в зависимости от горнотехнических условий разработки месторождения. В качестве наиболее целесообразных предлагается два способа: отвод термальных вод канавой с простым стандартным железобетонным перекрытием и отвод с помощью канавы с теплоизоляционным перекрытием (толщина изоляционного слоя 0,1 м, теплопроводность не более 0,1 ккал/м·ч·°С).

2.2.5. Определение значения относительной температуры стенок горной выработки.

Относительная температура поверхности теплоотдачи ϑ' , в зависимости от выбранного способа водоотвода, по значениям критериев F_0 и B_i определяется из рис. 2.4, 2.5 или рассчитывается по эмпирической зависимости

$$\vartheta' = K'_T \left[\alpha_T + (1 - \alpha_T) \exp\left(-\frac{C_T F_0}{B_i}\right) \right] , \quad (2.9)$$

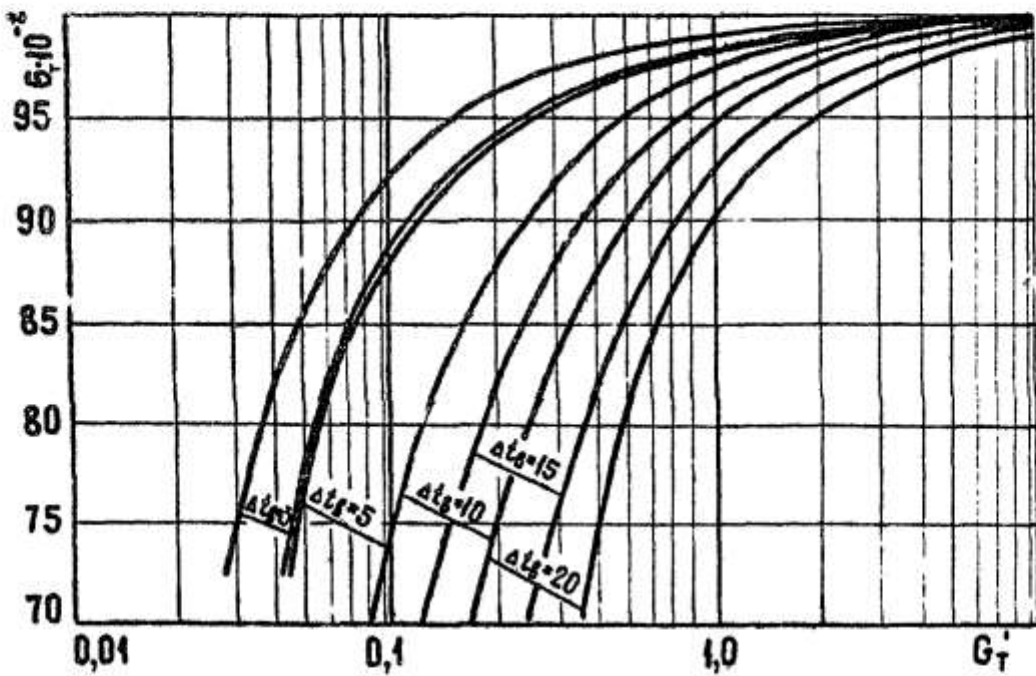


Рис. 2.3. Зависимость коэффициента G_t^* от относительного дебита термальных вод при различном приращении температуры воздуха в выработке ($\Delta t_g = 3 + 20^\circ\text{C}$). Для каждого приращения левая кривая соответствует температуре термальных вод 100°C , а правая – 50°C .

где K'_T - коэффициент, учитывающий способ водоотвода; при отводе термальных вод канавой в простом бетонном перекрытием $K'_T = 1$, а при теплоизоляционном перекрытии - $K'_T = 0,952$;

α_T, C_T - эмпирические коэффициенты, значения которых приведены соответственно в таблицах 2.3 и 2.4.

При высоких значениях Bi , превышающих 50 ($Bi > 50$), относительная температура становится практически независимой от этого критерия. Поэтому для любого значения Bi , превышающего 50, в формуле (2.9) следует подставлять $Bi = 50$.

Таблица 2.3.

Значения коэффициента α_T , в зависимости от Bi .

Bi	3	6	8	20	40	50 и более
α_T	0,40	0,28	0,20	0,15	0,12	0,10

2.2.6. Температура рудничного воздуха в вертикальных, наклонных и в горизонтальных выработках различного срока службы и назначения при наличии термальных вод рассчитывается по формуле

$$t_2 = t_1 B + \frac{1-B}{A + \Delta \varphi B} \left[E + \Delta \varphi B \epsilon + \frac{\sum Q_{\text{ни}}}{G c_p} \pm L \sin \psi \left(\frac{T}{T_T} + 9,76 \cdot 10^{-3} \right) \right]. \quad (2.10)$$

В формуле (2.10):

- при отсутствии на расчетном участке трубопроводов с тепло- и хладоносителем :

$$A = \frac{\Delta \varphi U L}{G c_p} + \frac{K_{T_T} U_T L}{G c_p}; \quad (2.11)$$

$$E = \frac{\Delta \varphi U L}{G c_p} t_{T_{\text{сп}}} + \frac{K_{T_T} U_T L}{G c_p} t_{n_L}; \quad (2.12)$$

- при наличии на расчетном участке трубопроводов с тепло- и

Таблица 2.4.

Значения коэффициента C_T в зависимости от критерия

$$\beta_i = F_0$$

$F_0 \backslash \beta_i$	1	3	6	8	20	40	50 и более
0,02	10,5	31	68	268	340	1275	
0,03	8,5	40	85	353	900	1365	
0,04	8,5	40	90	377	920	1275	
0,05	9,0	41	99	298	856	1170	
0,06	9,5	40	97	336	787	1068	
0,07	9,5	38	94	317	737	993	
0,08	9,5	38	91	297	680	912	
0,09	9,5	36	87	286	650	878	
0,1	9,0	35	82	266	596	830	
0,2	8,7	28	59	192	428	575	
0,3	7,8	24	48	156	358	465	
0,4	6,9	21	41	132	304	390	
0,5	6,3	19	37	117	228	340	
0,6	6,0	18	31	111	202	298	
0,7	5,6	17	29	99	216	272	
0,8	5,2	16	28	88	205	256	
0,9	4,8	15	26	79	195	250	
1,0	4,6	13	25	72	184	255	
2,0	3,6	10	17	42	104	155	
3,0	2,8	8	13	34	81	115	
4,0 и более	2,8	6,5	13	30	75	92	

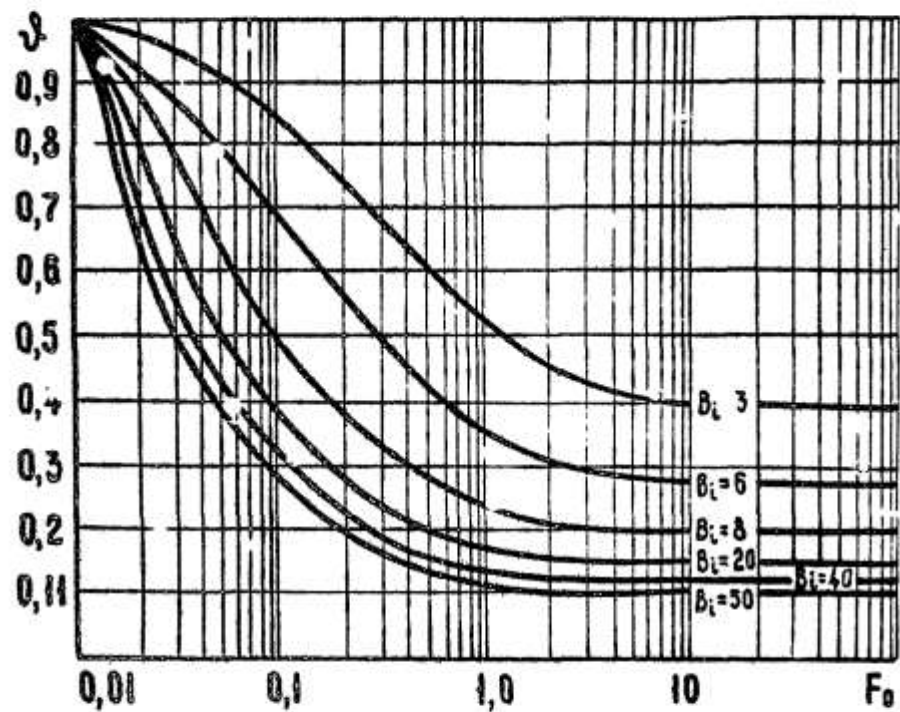


Рис. 2.4. Критеральные кривые для определения безразмерной температуры при отводе термальных вод канавой с простым перекрытием

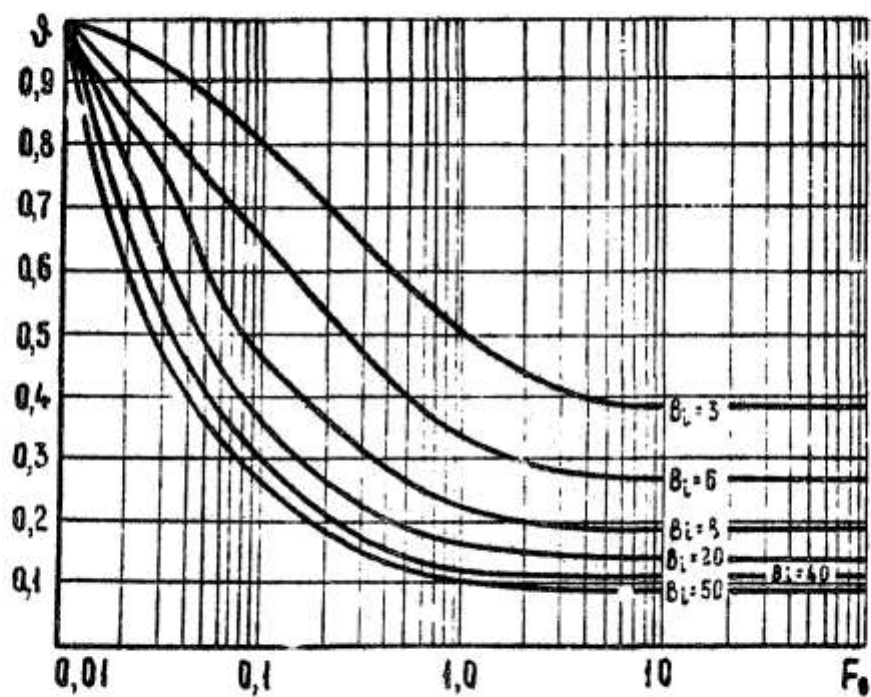


Рис. 2.5. Кривые для определения безразмерной температуры при отводе термальных вод каналой с теплоизолированным покрытием

$$A = \frac{L}{G_{C_p}} (\lambda \vartheta U + K_{x_{tr}} U_{x_{tr}} + K_{T_{tr}} U_{T_{tr}} + K_{U_T} U_T), \quad (2.13)$$

$$E = \frac{L}{G_{C_p}} (\lambda \vartheta U t_{T_{tr}} + K_{x_{tr}} U_{x_{tr}} \Theta_{x_{tr}} + K_{T_{tr}} U_{T_{tr}} \Theta_{T_{tr}} + K_{U_T} U_T t_{n_i}). \quad (2.14)$$

Температура воздуха в начале выработки при обратном тепловом расчете определяется по формуле

$$t_1 = \frac{B}{B - \frac{1-B}{B(A+\Delta\varphi C)}} \left[E + \Delta\varphi B \epsilon' + \frac{\sum Q_{Mj}}{G_{C_p}} \pm L \sin \psi \left(\frac{T}{T_1} + 9,76 \cdot 10^{-3} \right) \right]. \quad (2.15)$$

Значения комплексов B , B^0 и T в формулах (2.10)–(2.15), коэффициентов и величин $\Theta_{x_{tr}}$, Θ_1 и Θ_2 определяются по формулам подраздела I.5.

2.3. Пример теплового расчета выработки с термальными водами.

2.3.1. Исходные данные. Расчет проводится на примере шахты "Ткачевская" им. Ленина для откаточной штольни гор. 504 м в которой имеется приток термальных вод. Исходные данные взяты по материалам шахтных наблюдений.

Температура рудничного воздуха в начале и в конце расчетного участка $t_1 = 18^0\text{C}$, $t_2 = 27,2^0\text{C}$; длина расчетного участка штольни $L = 1400$ м; относительная влажность воздуха в начале и в конце участка $\varphi_1 = 0,97$, $\varphi_2 = 0,99$; количество воздуха $Q = 900 \text{ м}^3/\text{мин}$, $P = 722,5 \text{ мм рт.ст.}$; $S = 12,6 \text{ м}^2$; дебит термальных вод $G_T = 370000 \text{ кг/ч}$.

2.3.1.1. Расчетный участок расположен в порfirитовой святе байоса; согласно табл. 2.1 теплофизические свойства горных пород $C = 0,2 \text{ ккал/кг.}^0\text{C}$; $\alpha = 0,00357 \text{ м}^2/\text{ч}$;

$\lambda = 1,926 \text{ ккал/м.ч.}^0\text{C}$ и плотность горных пород $\gamma = 2700 \text{ кг/м}^3$; время проветривания начала и конца расчетного участка согласно плану горных работ $T_1 = 36000 \text{ ч}$, $T_2 = 19200 \text{ ч}$; естественная температура термальных вод согласно шахтным замерам $t_T = 42^0\text{C}$.

2.3.1.2. Геометрические характеристики выработки: периметр вычисляется по формуле (I.2)

$$U = 3,8 \sqrt{12,6} = 13,5 \text{ м},$$

эквивалентный радиус сечения горной выработки по формуле (1.3)

$$R_o = \frac{2 \cdot 12,6}{13,5} = 1,87 \text{ м.}$$

2.3.I.3. Плотность воздуха на расчетном участке определяется по формуле (1.10)

$$\rho' = 0,464 \cdot \frac{722,5 - 0,98 \cdot 20,56}{273 + 22,6} = 1,102 \text{ кг/м}^3.$$

2.3.I.4. Весовой расход воздуха на расчетном участке

$$G = 900 \cdot 1,102 \cdot 60 = 59508 \text{ кг/ч.}$$

2.3.I.5. Естественная температура термальных вод на гор. +504м определяется по формуле (2.6)

$$t_T = 32 + \frac{700}{70} = 42^\circ\text{C.}$$

2.3.I.6. По формуле (2.7) рассчитывается относительный дебит термальных вод

$$G'_T = \frac{370\ 000}{59\ 508} = 6,2.$$

По значению G'_T из рис. 2.3 находим, что $G'_T = 0,99$.

2.3.I.7. Средняя температура термальных вод на расчетном участке определяется по формуле (2.8)

$$t_{T_{cp}} = 0,25 \cdot 42 (1 + \sqrt{0,99})^2 = 41,83^\circ\text{C.}$$

2.3.I.8. Расчетное время проветривания участка определяется по формуле (1.17)

$$\tau = \frac{36000 + 19200 + 2 \sqrt{36000 \cdot 19200}}{4} = 26950 \text{ ч.}$$

2.3.1.9. Средняя скорость воздуха на расчетном участке определяется по формуле (I.10)

$$U_{ср} = \frac{1900}{60 \cdot 12,6} = 1,2 \text{ м/с.}$$

2.3.2. Коэффициент теплоотдачи рассчитывается по формуле (I.39)

$$\lambda = 2 \cdot 1,5 (1,102 \cdot 1,2)^{0,8} \cdot \left(\frac{13,5}{12,6} \right)^{0,2} = 3,80 \text{ ккал/м}^2 \cdot \text{ч.}^{\circ}\text{C.}$$

где коэффициент неоднородности принят $\Sigma = 1,5$ согласно п. I.2.2.1

2.3.3. Тепловыделение от местных источников тепла. Местные источники тепла, кроме окислительных процессов, отсутствуют. По формуле (I.62)

$$\sum Q_{mi} = Q_0 = 3 \cdot 13,5 \cdot 1400 = 56700 \text{ ккал/ч}$$

принято, что $Q_0 = 3 \text{ ккал/м}^2 \cdot \text{ч.}$

2.3.4. Значение критерия Бис и Фурье определяется по формулам (I.79) и (I.82)

$$Bi = \frac{3,80 \cdot 1,87}{1,926} = 3,7 ;$$

$$Fo = \frac{0,00357 \cdot 26950}{1,87^2} = 27,5 .$$

2.3.5. На расчетном участке термальные вody отводятся с помощью канавы с простым перекрытием. По значениям Fo и Bi из рис. 2.4 определяем среднее значение относительной температуры в пределах расчетного участка - $\vartheta = 0,365$.

По эмпирической зависимости (2.9)

$$\vartheta = 1,0 \left[0,37 + (1 - 0,37) e^{- \frac{3,663 \cdot 27,5}{3,7}} \right] = 0,37,$$

где значения коэффициентов $Q_T = 0,37$ и $C_T = 3,663$ соответственно найдены по таблицам 2.3 и 2.4 методом интерполяции.

2.3.6. На расчетном участке не происходит полезного испарения, следовательно, в комплексах А и Е определяемых по формулам (2.II) и (2.I2) $K_{T_1} = 0$, тогда

$$A = \frac{3,80 \cdot 1,365 \cdot 13,5 \cdot 1400}{59508 \cdot 0,24} = 1,82;$$

$$B = 1,82 \cdot 41,83 = 76,172.$$

2.3.7. По формуле (I.I03) определяется значение комплекса Б.

$$B = \frac{1542 \cdot 1,425}{722,5 - 24,2} = 3,147.$$

2.3.8. Приращение относительной влажности на расчетном участке согласно (I.I00) составляет

$$\Delta\varphi = 0,99 - 0,97 = 0,02.$$

2.3.9. Так как $\Delta\varphi \neq 0$, то комплекс В вычисляется по формуле (I.99)

$$B = \left(\frac{1 + 3,147 \cdot 0,97}{1 + 3,147 \cdot 0,99} \right) \left(1 + \frac{1,82}{0,02 \cdot 3,147} \right) = 0,636.$$

2.3.10. Расчетный участок горизонтальный, поэтому значение величины Т не вычисляется. По формуле (2.I0) определяется температура воздуха в конце расчетного участка.

$$t_2 = 18,0,636 + \frac{1 - 0,636}{1,82 + 0,02 \cdot 3,147} \left[76,172 + 0,02 \cdot 3,147 \times 8,07 + \frac{56700}{59508 \cdot 0,24} \right] = 27,0^{\circ}\text{C}.$$

3. МЕТОДИКА ПРОГНОЗИРОВАНИЯ ТЕМПЕРАТУРНЫХ УСЛОВИЙ ШАХТ СЕВЕРА

3.1. Выбор исходных данных

Тепловому расчету горных выработок должны предшествовать анализа горногеологических и горнотехнических условий разработки (схем вскрытия и подготовки месторождения, схем проветривания, схем транспортирования полезного ископаемого); определение тепло-влажностных параметров воздуха на поверхности перед подачей в стволы шахт и законов их изменения; нахождение значений относительной влажности рудничного воздуха по длине вентиляционного пути; определение для каждой выработки геометрических и технических характеристик; расхода воздуха; наличия местных источников тепла; естественной температуры горных пород, окружающих выработку; их теплофизических свойств, влажности (льдистости), а также времени проветривания горных выработок.

3.1.1. Значения тепловлажностных параметров воздуха на поверхности (температура относительная влажность, барометрическое давление) могут быть получены на основе многолетних наблюдений на метеостанциях. Значения среднегодовой, среднеянварской и среднемильской температур и относительных влажностей воздуха для различных районов приведены в табл. 3.1.

Таблица 3.1.

Значения среднегодовой, среднеянварской и среднемильской температур и относительных влажностей воздуха

Районы	Средняя относительная влажность воздуха, доли единиц			Средняя температура воздуха, °С		
	за год	январь	июль	за год	январь	июль
Воркута	0,78	0,70	0,90	-5,7	-28,0	10,9
Анадырь, Магаданская область	0,82	0,75	0,90	-7,7	-22,7	10,5
Норильск	0,70	0,63	0,84	-8,4	-32,0	22,0
Тайнах	0,76	0,71	0,80	-10,5	-30,5	14,6
Сандары (ЯАССР)	0,70	0,60	0,80	-10,1	-39,8	18,1
Джебаринская (ЯАССР)	0,71	0,60	0,80	-12,0	-43,3	19,1
Аркагада (Магаданская область)	0,65	0,60	0,78	-12,8	-39,5	13,5
Тикси (ЯАССР)	0,82	0,80	0,85	-13,6	-33,7	6,7
Чульман (ЯАССР)	0,73	0,66	0,85	-9,5	-36,6	15,7

3.1.2. Закон изменения параметров атмосферного воздуха находится на основании обработки данных метеорологических наблюдений и выражается синусоидальной функцией

$$t = t_{\text{сред год}} + A_t \sin \frac{2\pi \tau'}{\omega'}; \quad (3.1)$$

$$\varphi = \varphi_{\text{сред год}} + A_\varphi \sin \frac{2\pi \tau'}{\omega'}, \quad (3.2)$$

где $t_{\text{сред год}}, \varphi_{\text{сред год}}$ - среднегодовые значения соответственно температуры и относительной влажности атмосферного воздуха, $^{\circ}\text{C}$, доли ед.;

A_t, A_φ - амплитуды изменения соответственно температуры и влажности атмосферного воздуха относительно их среднегодовых значений, $^{\circ}\text{C}$, доли ед.;

ω' - период колебаний (8760 ч);

τ' - время от начала отсчета, ч.

Изменение параметров воздуха, подаваемого в стволы, в результате его подогрева (охлаждения), осушения (увлажнения) учитывается введением поправок в синусоидальный закон изменения параметров атмосферного воздуха. Например, в случае подогрева воздуха перед подачей в стволы до $+2^{\circ}\text{C}$ в течение зимнего периода времени имеет место сочетание гармонического и линейного законов изменения температуры (рис. 3.1).

Гр. небольшом изменении температуры в зимний период, когда среднемесячные температуры наружного воздуха не превышают -10°C и подогрев происходит в течение двух-трех месяцев, может быть также использован гармонический закон изменения температуры, но подобранный в соответствии с новыми данными.

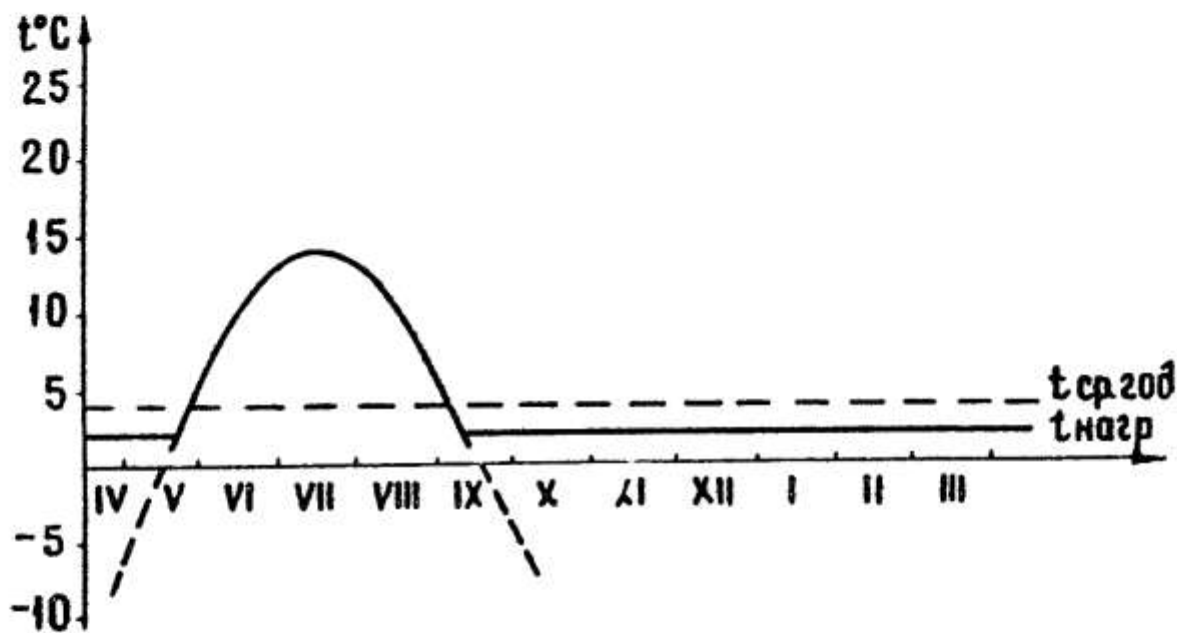


Рис. 3.1. Сочетание гармонического и линейного законов изменения температуры воздуха

3.1.3. Закон изменения относительной влажности воздуха вдоль вентиляционного пути принимается по данным шахтных замеров. При отсутствии последних рекомендуется принимать для шахт с естественным тепловым режимом (атмосферный воздух подается в горные выработки без изменения его параметров) следующие значения относительной влажности воздуха.

в околосвольных дворах – 0,80; на остальных участках вентиляционного пути – 0,85 – 0,90; в очистных забоях – 0,95.

Для шахт с искусственным подогревом воздуха в зимний период до температуры $+2^{\circ}\text{C}$ относительная влажность смеси воздуха, подаваемого в ствол, 0,35–0,45, при движении по выработкам она постепенно повышается и достигает 0,9 – 1,0 на расстоянии 1500–2000 м от начала вентиляционного пути.

3.1.4. Геометрические характеристики выработок принимаются по данным технологических проектов или шахтных замеров.

3.1.5. Значения расходов воздуха в выработках принимаются по данным проекта вентиляции или шахтных замеров.

3.1.6. Естественная температура горных пород в начале каждой выработки (отсчет следует вести по направлению движения свежей струи) определяется по формуле

$$t_n = t_0 + G(H - h_0), \quad (3.3)$$

где t_0 — температура горных пород на глубине залегания нейтрального слоя (зоны постоянной температуры), принимается близкой к среднегодовой температуре атмосферного воздуха для данной местности, $^{\circ}\text{C}$;
 h_0 — глубина залегания пород нейтрального слоя, для условий вечной мерзлоты составляет в среднем 20-30 м.

Средние значения температуры пород на глубине залегания нейтрального слоя, мощности многоетажной мерзлоты и геотермический градиент по отдельным районам области многолетней мерзлоты приведены в табл. 3.2.

таблица 3.2

Геотермические условия месторождений областей многолетней мерзлоты

Месторождение	Температура на глубине нейтраль- ного слоя, $^{\circ}\text{C}$	Мощность мно- голетней мер- злоты, м	Геотермический градиент, $^{\circ}\text{C}/\text{м}$
	2	3	
Согинское (Тикси)	-10,5	600-700	0,020
Наталкинское (руд- ник им. Матросова)	-4,0	500	0,022
Джебарикк-Хая	-5,0-6,0	350-450	0,027
Кангалацкое	-6,0	200-300	0,030
Эге-Хая	-7,0-5,0	200-400	0,024
Иультинское	-8,0-3,5	210-420	0,022
Валькумей	-6,0-4,0	240-250	0,027
Норильское	до -5,0	до 250	0,020
Аркалагинское	-7,0-4,0	30-250	0,031
Аллах-Диль	-4,0	200	0,026
Им. Лазо	-9,0-3,0	150-110	0,022

I	I	2	I	3	I	4
Печерский угольный						
бассейн (Вс.Жута)		до -1,5		до 120		0,020
Чульмаканское		до -1,0		до 150		0,030
Анадырское		-6,0-5,0		90-150		0,028

3.1.7. Техофизические свойства горных пород – теплопроводность, температуропроводность, удельная теплоемкость, их плотность и влажность (льдистость) – принимаются в соответствии с данными исследований, полученным для соответствующих горно-промышленных районов или шахтных полей. При отсутствии данных для определения техофизических свойств основных горных пород можно использовать средние значения из табл. 3.3.

В случае, когда выработку окружает неоднородный горный массив, вместо удельной объемной теплоемкости (C_V), λ и α следует использовать их эффективные значения (C_V)_{эфф}, $\lambda_{эфф}$ и $\alpha_{эфф}$.

3.1.7.1. Эффективная удельная объемная теплоемкость (C_V)_{эфф} определяется как средневзвешенная величина для пород в зоне активного влияния выработки, приблизительно равного 6 м (срок службы более года), по формуле

$$(C_V)_{\text{эфф}} = \frac{\sum_i^n c_i \gamma_i V_i}{\sum_i^n V_i}, \quad (3.4)$$

где V_i – объемы различных пород в зоне влияния выработки, м³.

3.1.7.2. Коэффициент теплопроводности $\lambda_{эфф}$ определяется в зависимости от типа неоднородностей и места расположения относительно выработки (рис. 3.2).

Таблица 3.3

Теплофизические характеристики горных пород

Наименование горной породы	Влажность W, %	Плотность ρ, кг/м ³	Теплофизические свойства в состоянии талом/мерзлом		
			α · 10 ³ , м ² /ч	λ, ккал/м·ч·°С	c, ккал/кг·°С
Песок	5	1200	1,4/2,0	0,40/0,52	0,24/0,22
	10	1200	1,9/2,9	0,62/0,79	0,27/0,22
	5	1400	1,7/2,3	0,57/0,69	0,24/0,21
	10	1400	2,4/3,3	0,87/1,68	0,26/0,22
	15	1400	2,5/3,8	1,00/1,35	0,29/0,24
	15	1600	2,7/4,3	1,25/1,60	0,29/0,26
	15	1800	3,0/4,5	1,55/1,90	0,29/0,23
	15	2000	3,0/4,7	1,76/2,20	0,29/0,23
Супесь	10	1200	1,2/1,7	0,38/0,45	0,27/0,22
	10	1400	1,4/2,2	0,72/0,69	0,26/0,22
	15	1600	2,0/3,0	0,93/1,10	0,29/0,23
	15	1800	2,3/3,1	1,19/1,31	0,29/0,23
	15	2000	2,4/3,2	1,40/1,50	0,29/0,23
Суглиники и глины	10	1400	1,2/2,2	0,44/0,68	0,26/0,22
	15	1400	1,4/2,5	0,56/0,84	0,29/0,24
	20	1400	1,5/2,7	0,65/0,94	0,32/0,25
	20	1600	1,7/2,8	0,88/1,12	0,32/0,25
	20	1800	1,7/2,9	0,95/1,20	0,32/0,25
	20	2000	2,0/3,1	1,24/1,50	0,32/0,24
Уголь	3	1400	0,7/0,7	0,25/0,26	0,25
	10	1450	0,7/0,9	0,29/0,35	0,30/0,27
Песчаник плотный	3	2500	4,4/4,4	2,2/2,2	0,2/0,2
	6	2500	4,2/4,6	2,3/2,4	0,22/0,21
Глинистый и песчаник сланци	2	2500	3,0/3,0	1,5/1,5	0,2
	6	2500	2,9/3,1	1,6/1,7	0,22

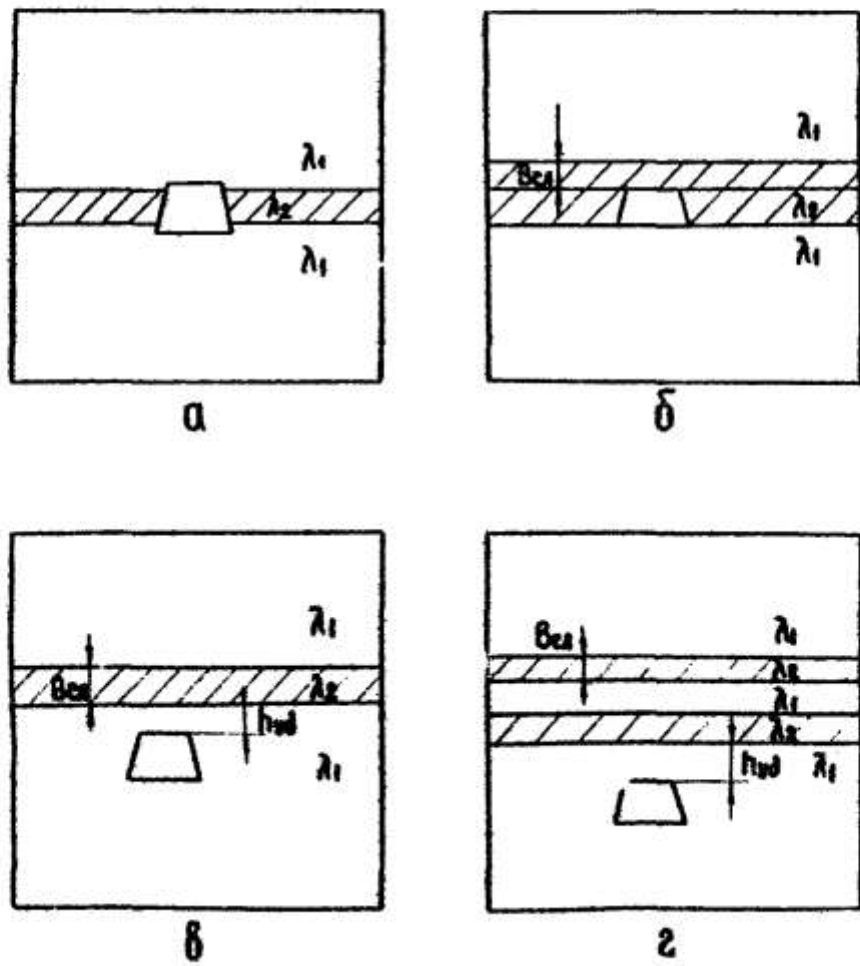


Рис. 3.2. Схемы к расчету эффективной теплопроводности неоднородного массива

Выработка проходит по тонкому слою (рис. 3.2, а)

- при $\lambda_1 \leq 3\lambda_2$

$$\lambda_{\text{эф}} = \frac{\lambda_1 U_n + \lambda_2 U_y}{U_n + U_y}, \quad (3.5)$$

- при $\lambda_1 > 3\lambda_2$

$$\lambda_{\text{эф}} = \frac{\lambda_1(U - U_y) + \lambda_2 U_y}{U - 0,5 U_y}, \quad (3.6)$$

где λ_1, λ_2 - соответственно коэффициенты теплопроводности пород и угля, ккал/м·ч. ^0C ;

U_n, U_y - части периметра выработки, занятые соответственно породой и углем, м.

Выработка проходит по мощному пласту низкой теплопроводности с оставлением пачки в кровле (почве) (рис. 3.2, б)

$$\lambda_{\text{эф}} = K_{\text{стр}} \frac{\lambda_{\text{эфк}}(U - U_y + \lambda_2 U_y)}{U}, \quad (3.7)$$

где $K_{\text{стр}}$ - структурный коэффициент, учитывающий неоднородность теплофизических характеристик

$$K_{\text{стр}} = 0,7 + 0,5 \frac{\lambda_2}{\lambda_1}, \quad (3.8)$$

где $\lambda_{\text{эфк}}$ - эффективный коэффициент теплопроводности пород в кровли (почвы)

$$\lambda_{\text{эфк}} = \frac{6\lambda_1\lambda_2}{\lambda_1 b_{\text{ср}} + \lambda_2(6 - b_{\text{ср}})}, \quad (3.9)$$

где $b_{\text{ср}}$ - мощность слоя (пачки) пород в кровле (почве) выработки, м.

В кровле (почве) выработки залегает тонкий слой с низкой теплопроводностью (рис. 3.2, в)

$$\lambda_{\text{зр}} = K_{\text{стр}} \frac{\lambda_{\text{эфк}} U_k + \lambda_1 (U - U_k)}{U}, \quad (3.10)$$

где U_k – ширина кровли выработки, м

– при $h_{yA} < 4$ м

$$K_{\text{стр}} = 0,8 + 0,07 h_{yA}, \quad (3.11)$$

– при $h_{yA} \geq 4$ м

$$K_{\text{стр}} = 1,08, \quad (3.12)$$

где h_{yA} – расстояние от слоя до кровли (почвы) выработки, м.

$\lambda_{\text{эфк}}$ определяется по формуле (3.9).

В кровле (почве) выработки равномерно перемешиваются породные прослояки с λ_1 и λ_2 (рис. 3.2, г)

$$\lambda_{\text{зр}} = K_{\text{стр}} \frac{\lambda_{\text{эфк}} U_k + \lambda_1 (U - 1 U_k)}{U - 0,5 U_k}, \quad (3.13)$$

$$K_{\text{стр}} = 0,51 + 0,07 h_{yA} - 0,2 \frac{\sum b_{ca}}{\sum b_{ca}}, \quad (3.14)$$

где $\sum b_{ca}$ – суммарная мощность прослоек угля, залегающих в кровле (почве) выработки, м.

3.1.7.3. Эффективный коэффициент температуропроводности определяется по формуле

$$\alpha_{\text{зр}} = \frac{\lambda_{\text{зр}}}{(c\gamma)_{\text{зр}}}. \quad (3.15)$$

3.1.8. Расчетное время проветривания.

Расчетное время проветривания горных выработок определяется по формулам, приведенным в п. I.I.I.II.

3.2. Расчет тепловыделений местных источников в горных выработках.

3.2.1. Тепловыделения при работе электрических машин, механизмов и оборудования определяются по формулам, приведенным в разделе I.2. В последующих пунктах настоящего раздела приведены зависимости по определению тепловыделений, характерных для условий разработки шахт Севера.

3.2.2. Тепловыделение при работе погрузочных машин

$$Q_{\text{пг}} = 860 K_3 N - 2,34 A_{\varphi} h_r , \quad (3.16)$$

где K_3 – коэффициент загрузки машины во времени, принимается равным $K_3 = 0,3 - 0,7$;

A_{φ} – фактическая производительность погрузочной машины, т/ч;
 h_r – высота погрузки, м.

3.2.3. Тепловыделения от работы машины с дизельным приводом

$$Q_{\text{диз}} = K_3 G_{\text{диз}} \psi_{\text{диз}} , \quad (3.17)$$

где $G_{\text{диз}}$ – средний расход дизельного топлива, кг/ч;

$\psi_{\text{диз}}$ – теплота сгорания 1 кг дизельного топлива, ккал/кг.

3.2.4. Тепловыделения от адиабатического охлаждения воздуха

$$Q_{\text{аэ}} = \frac{G(H_2 - H_1)}{427} , \quad (3.18)$$

$$G = 36^{\circ} \text{C} \gamma v \delta . \quad (3.19)$$

Плотность воздуха γ определяется по формуле (I.40).

3.2.5. Теплообмен воздушного потока с подземными трубопроводами.

Теплопотери от трубопровода определяются по формуле

$$Q_{tp} = K_{tp} u_{tp}(t - \theta_{cp})L, \quad (3.20)$$

где θ_{cp} - средняя температура подвижного агента в трубопроводе, $^{\circ}\text{C}$;

$$u_{tp} = 3,14(d_{bh} + 2\delta_{tp} + 2\delta_{uz}), \quad (3.21)$$

где δ_{tp}, δ_{uz} - толщины соответственно стенки трубопровода и теплоизоляции, м;

K_{tp} - коэффициент теплопередачи от подвижного агента в теплоизолированном трубопроводе к воздуху, ккал/м².ч. $^{\circ}\text{C}$:

$$K_{tp} = \frac{1}{\frac{d_h}{\lambda_\theta d_{bh}} + \frac{\delta_{tp}}{\lambda_{tp}} + \frac{\delta_{uz}}{\lambda_{uz}} + \frac{1}{\lambda_{tr}}}, \quad (3.22)$$

где λ_{uz} - коэффициент теплопроводности материала изоляции, ккал/м.ч. $^{\circ}\text{C}$;

$$\lambda_\theta = 0,025 \frac{\lambda_a (\omega d_h)^{0,8}}{d_{bh}} \left(\frac{v_a}{a_a} \right)^{0,2}, \quad (3.23)$$

где v_a - кинематическая вязкость подвижного агента, м²/ч;

λ_a, a_a - коэффициенты теплопроводности, температуропроводности подвижного агента, ккал/м.ч. $^{\circ}\text{C}$, м²/ч;

ω - скорость подвижного агента в трубопроводе, м/с.

Коэффициент теплоотдачи от трубопровода к воздушному потоку определяется по формуле

$$\lambda_{tp} = \lambda_x + \lambda_p + \lambda_M. \quad (3.24)$$

Значение конвективной составляющей коэффициента теплоотдачи определяется по формуле (I.69), а радиационной составляющей – по формуле (I.72), в которой

$$t_{ct} = t_1 \cdot \frac{K_t}{\lambda} (t_n - t_1); \quad (3.25)$$

$$t_{tr} = t_1 - \frac{K_{trn}}{\lambda_K} (t_1 - \theta_1); \quad (3.26)$$

$$K_{trn} = \frac{1}{\frac{d_n}{\lambda_\theta d_{tr}} + \frac{\delta_{tr}}{\lambda_{tr}} + \frac{\delta_{uz}}{\lambda_{uz}} + \frac{1}{\lambda_K}}. \quad (3.27)$$

Коэффициент нестационарного теплообмена K_t в выражении (3.25) определяется по формулам (I.71), (3.36) или (3.37) в зависимости от времени проветривания выработки.

Массообменная составляющая коэффициента теплоотдачи определяется по формуле

$$\mathcal{L}_m = 2,5 \mathcal{L}_n \frac{\varphi_1 p_n^{t_1} - p_n^{t_{tr}}}{t_1 - \theta_1}, \quad (3.28)$$

где $p_n^{t_1}$, $p_n^{t_{tr}}$ – парциальное давление водяного пара соответственно при температуре воздуха и стенки трубопровода, им рт.ст.; определяется по табл. II.2 или рассчитывается по формуле (I.41).

3.3. Нестационарный теплообмен воздушного потока с горным массивом.

3.3.1. Тепловой поток от горного массива к воздушному потоку в общем виде можно записать

$$Q_n = K_\varphi K_t K_{alg} [t_n - t(\tau)] U L, \quad (3.29)$$

где K_φ – коэффициент, учитывающий разницу между расчетным параметром и действительной теплообменной поверхностью выработки. Для выработок без крепи $K_\varphi = 1,5$; при дере-

вязиной крепи вразбивку $K_{\varphi} = 1,3$, всплошную - $K_{\varphi} = 1,2$;
 $K_{\text{окр}}$ - коэффициент, учитывающий интенсификацию теплообмена в
 период оттаивания (замерзания) окружающих выработки
 мерзлых (талых) пород. При одинаковом знаке температур
 воздуха и окружающих пород следует принимать $K_{\text{окр}}=1$.

При постоянной температуре воздуха $K_{\text{окр}}$ определяется по
 формуле

$$K_{\text{окр}} = 1 + \frac{1 - K_E K_B (1 + K_T)}{K_E K_B (1 + K_T) (1 + 0,5 \sqrt{F_{0T}})}, \quad (3.30)$$

где K_E - коэффициент тепловой активности талого грунта по
 отношению к его промерзшей части;

$$K_E = \sqrt{\frac{\lambda_T C_T \beta_T}{\lambda_m C_m \beta_m}}, \quad (3.31)$$

F_{0T} - критерий Фурье;

$$F_{0T} = \frac{\alpha_m \tau_T}{R_o^2}, \quad (3.32)$$

$\lambda_m, C_m, \beta_m, \alpha_m, \lambda_t, C_t, \beta_t, \alpha_{0T}$ - теплофизические характеристики соответственно
 мерзлой и талой породы;

τ_T - время оттаивания (замерзания), ч;

K_T - температурный симплекс;

$$K_T = \frac{t_n - t_a}{t_a - t}, \quad (3.33)$$

t_a - температура агрегатных переходов (таяния, замерзания воды, рассола), $^{\circ}\text{C}$

При переменной температуре воздуха в горной выработке за период оттаивания (замерзания) τ_T за t принимается средняя температура воздуха.

K_B - коэффициент, являющийся функцией значения K_T и критерия Йоссовича

$$K_B = \frac{\tau' W \beta_T}{C_m \beta_m (t_a - t)}, \quad (3.34)$$

где W - влажность породы (доли единицы);

Значение коэффициента K_{β} определяется по табл. П.5. Для ориентировочных расчетов K_{β} в диапазоне изменения $K_T = 0,5 \div 16$ можно использовать формулу

$$K_{\beta} = \left[6,43 K_T^{4,56} + (0,133 K_T + 1,77) K_0 \right]^{-0,5}. \quad (3.35)$$

3.3.2. Коэффициент нестационарного теплообмена рассчитывается в зависимости от закона изменения температуры поступающего в выработки воздуха.

3.3.2.1. При постоянной температуре поступающего воздуха в течение всего срока существования выработок, проветриваемых до года, и расчете среднегодовых температур коэффициент K_T определяется по формуле (1.78).

В выработках, проветриваемых более года, коэффициент K_T определяется по формулам:

$$K_T = 0,75 \frac{\lambda_{kp}^{0,06} \lambda_{zp}^{0,71}}{(R_0 + \delta_{kp})^{0,48}} \left(\frac{C_{zp}}{\tau} \right)^{0,23}; \quad \tau = 1 \text{ } \textcircled{2} 10 \text{ лет}; \quad (3.36)$$

$$K_T = 0,63 \frac{\lambda_{kp}^{0,05} \lambda_{zp}^{0,71}}{(R_0 + \delta_{kp})^{0,59}} \left(\frac{C_{zp}}{\tau} \right)^{0,18}; \quad \tau > 10 \text{ лет}, \quad (3.37)$$

где λ_{kp} – коэффициент теплоотдачи от поверхности выработки к воздуху с учетом термического сопротивления крепи, затяжки и забутовки, ккал/м².ч.°С.

$$\lambda_{kp} = \frac{1}{U} \left[(U - U_{kp}) \lambda + \frac{\frac{d_{kp}}{U_{kp}} U_{kp}}{\frac{1}{\lambda} + \frac{\delta_{kp}}{\lambda_{zat}} + \frac{\delta_{zab}}{\lambda_{zab}}} + \frac{U_{kp} - \frac{d_{kp}}{U_{kp}} U_{kp}}{\frac{1}{\lambda} + \frac{\delta_{zat}}{\lambda_{zat}} + \frac{\delta_{zab}}{\lambda_{zab}}} \right], \quad (3.38)$$

где U_{kp} – часть периметра выработки, занятая крепью, м;

d_{kp} - диаметр крепи, м;

ℓ_{kp} - шаг крепи, м;

$\delta_{зат}$, $\delta_{заб}$ - соответственно толщина затяжки и забутовки, м;

$\lambda_{зат}$, $\lambda_{заб}$ - коэффициенты теплопроводности соответственно материала затяжки и забутовки, ккал/м·ч·°С.

При расчетах среднегодовых температур воздуха в качестве расчетного значения температуры горного массива принимается естественная температура горных пород (t_n).

3.3.2.2. Температура воздуха, поступающего в шахту, изменяется в течение года по закону, близкому к гармоническому (при расчете сезонных температур). Коэффициенты нестационарного теплообмена определяются для времени τ_1 , прошедшего от последнего перехода температуры воздуха через ее среднегодовое значение, по формулам:

для летнего периода (ивильские температуры)

при $t_{ср\ год} < t(\tau)$

$$K_\tau = \rho \left[6,4 + 0,1 \lambda_{kp} + \frac{t_{n1} + t_{n2}}{t_{cr_1} + t_{cr_2}} + n_1 \operatorname{ctg} \frac{2\pi(\tau_1 - \delta\tau_t)}{8760} \right]; \quad (3.39)$$

для зимнего периода

при $t_{ср\ год} > t(\tau)$

$$K_\tau = \rho \left[1,02 + 0,1 \lambda_{kp} - 2,6 \frac{t_{n1} + t_{n2}}{t_{cr_1} + t_{cr_2}} + n_2 \operatorname{ctg} \frac{2\pi(\tau_1 - \delta\tau_t)}{8760} \right], \quad (3.40)$$

где

$$\rho = \frac{0,8 + 0,59 \lambda}{8,2 + 4,5 R_0}; \quad (3.41)$$

$$n_1 = 3 + 0,07 \lambda_{kp} + 3,6 \frac{\tau_1 - \delta\tau_t}{8760}; \quad (3.42)$$

$$n_2 = 4,6 + 0,09 \lambda_{kp} - 3,6 \frac{\tau_1 - \delta\tau_t}{8760}; \quad (3.43)$$

$\delta\tau_t$ - фазовое отставание сезонных колебаний температуры на расстоянии $\sum L$ от начала вентиляционного пути. Реко-

мендуеться учитывать только для шахт, пройденных в вечноМерзлых породах;

$$\delta\tau_t = 5 \cdot 10^4 \frac{\sum L}{G}; \quad (3.44)$$

t_{n_1}, t_{n_2} - естественная температура горных пород в начале и конце выработки, $^{\circ}\text{C}$;

t_{ct_1}, t_{ct_2} - температуры поверхности выработки в начале и конце, $^{\circ}\text{C}$.

$$t_{ct_1} = t_{1 \text{ср.год}} + \frac{K_{\text{аэр}} K_T}{\lambda_{\text{КР}}} (t_{n_1} - t_{1 \text{ср.год}}); \quad (3.45)$$

$$t_{ct_2} = t_{2 \text{ср.год}} + \frac{K_{\text{аэр}} K_T}{\lambda_{\text{КР}}} (t_{n_2} - t_{2 \text{ср.год}}). \quad (3.46)$$

Значения коэффициентов $K_{\text{аэр}}, K_T$ в формулах (3.45) и (3.46) определяются по уравнениям (3.30)-(3.35) и (I.78), в котором вместо λ подставляется значение $\lambda_{\text{КР}}$ вычисленное по формуле (3.38).

За расчетную температуру горного массива следует принимать среднегодовое значение температуры рудничного воздуха ($\bar{t}_{\text{ср.год}}$).

3.3.2.3. Температура воздуха, поступающего в шахту, изменяется в течение года по сложному закону, обусловленному подогревом (охлаждением) воздуха в зимний (летний) периоды (рис. 3.1). При сложных законах изменения температуры поступающего воздуха в течение года рекомендуется разбивать функцию на ряд участков, заменяя ее на них прямими, параллельными оси времени (рис. 3.3). В итоге должна быть получена кривая ступенчатого вида, для которой коэффициент нестационарного теплообмена определяется формулой

$$K_T = K'_T \frac{t_{n_1} - \bar{t}_{\text{ср.год}}}{t_{n_1} - t_1} + K_{T_1} \frac{\bar{t}_{\text{ср.год}} - t_1}{t_{n_1} - t_1}, \quad (3.47)$$

где K'_T, K_{T_1} - определяются соответственно при значениях времени T и T_1 , по формулам (I.78) и (3.30)-(3.35);
 t_1 - текущее средневзвешенное значение температуры воздуха за время T_1 в начале каждого расчетного участка, $^{\circ}\text{C}$.

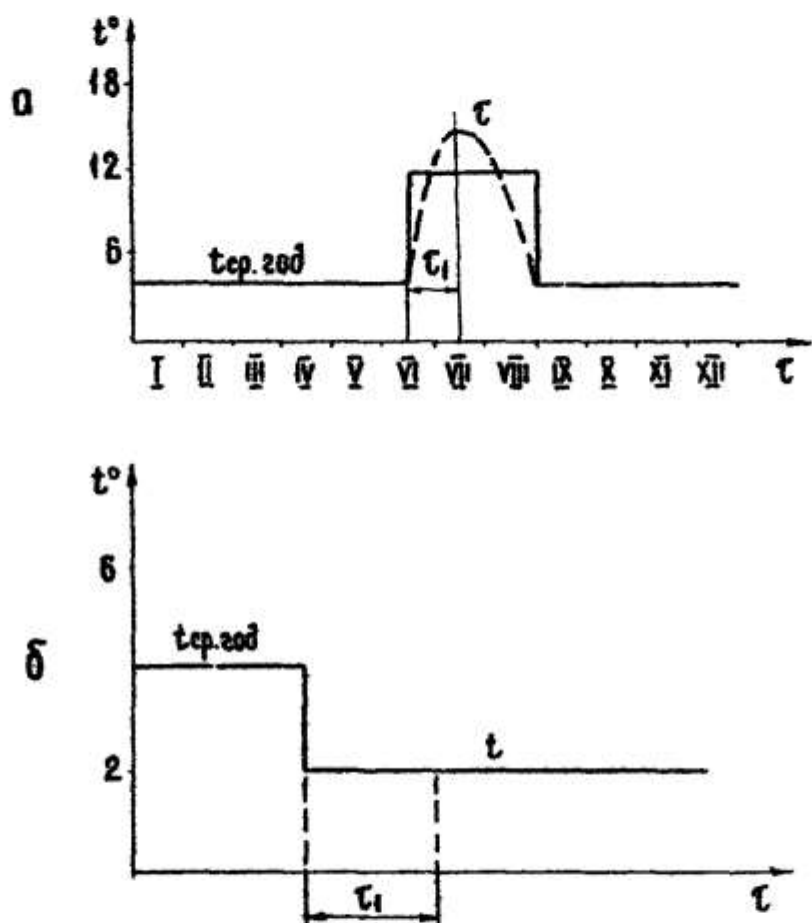


Рис. 3.3. Расчетная схема к определению K_c при сложном законе изменения температуры рудничного воздуха:
а - в летний период; б - в зимний период.

За расчетную температуру горного массива принимается естественная температура горных пород (t_n).

Зависимость (3.47) может быть также использована для нахождения коэффициента нестационарного теплообмена в случае установки в начале расчетного участка в момент времени $T - t_1$ воздухоохладителя (калорифера).

3.3.2.4. Коэффициент нестационарного теплообмена для выработок, проходимых в неоднородном массиве при небольшом времени проветривания ($T < 100$ ч), рассчитывается по формулам (I.86) – (I.87) или (I.88).

3.3.3. Нестационарный теплообмен воздушного потока с добываемым полезным ископаемым.

Удельный тепловой поток от транспортируемого ископаемого к воздуху равен

$$q_{vt} = K_{AFTP} K_{Tc} U_{Tc} (t_n' - t), \quad (3.48)$$

где q_{vt} – удельное тепловыделение от транспортируемого ископаемого, ккал/ч.м.;

U_{Tc} – периметр теплообмена транспортируемого ископаемого с воздухом, м;

$$U_{Tc} = b_{Tc} A_T; \quad (3.49)$$

A_T – грузопоток транспортируемого ископаемого, т/ч;

b_{Tc} – коэффициент перехода от грузопотока к средней по времени ширине "полосы" транспортируемого ископаемого; для конвейеров принимается $b_{Tc} = 0,016$, для вагонеток $b_{Tc} = 0,001$.

При скреперной доставке и в очистных забоях со взрывной отбойкой вместо b_{Tc} и A_T в формулы (3.48) и (3.49) подставляется средняя ширина поверхности отбитого ископаемого.

K_{Tc} – коэффициент нестационарного теплообмена между транспортируемым ископаемым и воздушным потоком, $\text{kкал}/\text{м}^2 \cdot \text{ч} \cdot {}^\circ\text{C}$; для лав рассчитывается по формуле (I.89), для других выработок – по формуле (I.92).

t'_n - температура транспортируемого ископаемого, $^{\circ}\text{C}$. Ориентировочно принимается равной естественной температуре горных пород t_n ;

$K_{\text{агрт}}$ - коэффициент интенсивности теплообмена при изменении агрегатного состояния в промерзающем (или оттаивающем) транспортируемом ископаемом;

$$K_{\text{агрт}} = 1 + 0,09 \left(\frac{W_T}{C_T} \right)^{1,73}, \quad (3.50)$$

где W_T - весовая влажность (льдистость) транспортируемого ископаемого, %;

C_T - удельная теплоемкость транспортируемого ископаемого, ккал/кг. $^{\circ}\text{C}$.

При одинаковом знаке абсолютных величин температур воздуха (t_1) и транспортируемого ископаемого (t_T) $K_{\text{агрт}} = 1,0$.

3.4. Тепловой расчет горных выработок.

3.4.1. Температура воздуха в вертикальных, наклонных и горизонтальных выработках различного срока службы и назначения рассчитывается по формулам

$$t_2 = B t_{n_2} - \frac{B t_{n_1} - t_1 - \frac{B - \bar{B} K}{A} [\exp(AL) - 1]}{\exp(AL)}, \quad (3.51)$$

где

$$A = \frac{1}{m} \left[K_{\varphi} K_{\text{агр}} K_{\tau} U + K_{\text{агрт}} K_{\tau\tau} U_{\tau\tau} + K_{\tau\rho} U_{\tau\rho} + K_b U_b \right]; \quad (3.52)$$

$$\bar{B} = \frac{K_{\varphi} K_{\text{агр}} K_{\tau} U}{Am}; \quad (3.53)$$

$$K = \frac{t_{n_2} - t_{n_1}}{L}; \quad (3.54)$$

$$B = \frac{1}{m} \left[K_{\text{агрт}} K_{\tau\tau} U_{\tau\tau} t'_n + K_{\tau\rho} U_{\tau\rho} \theta_{cp} + \sum q_{ja} - G(r+r') d_j \beta \right]; \quad (3.55)$$

III

$$m = G \left[C_p + (\gamma + \gamma_1) n_c \varphi_e \frac{760}{P_2} \right]; \quad (3.56)$$

$$\Sigma q_A = \frac{Q_{\alpha_2} + Q_3 + Q_M + Q_A + Q_B}{L}; \quad (3.57)$$

$$\beta_c = \frac{P_1 \varphi_2 - P_2 \varphi_1}{P_2 \varphi_1 L}; \quad (3.58)$$

$$d_1 = 622 \frac{\varphi_1 P_n^{t_1}}{P_1 - \varphi_1 P_n^{t_1}}, \quad (3.59)$$

где n_c — коэффициент из приближенной зависимости влагосодержания воздуха от его температуры при $\varphi = 1,0$, который выбирается для ожидаемого на участке изменения температуры по табл. 3.4.

Таблица 3.4.

Значения n_c для различных диапазонов изменения температуры воздуха

Диапазон изменения температуры, °C	n_c	Диапазон изменения температуры, °C	n_c
от -40 до -30	0,01	от 15 до 20	0,33
от -30 до -20	0,05	от 15 до 25	0,93
от -20 до -10	0,09	от 20 до 25	1,10
от -10 до 0	0,19	от 20 до 30	1,32
от 0 до 15	0,40	от 25 до 30	1,40
от 5 до 15	0,53	от 25 до 35	1,69
от 10 до 15	0,56	от 30 до 35	1,87
от 10 до 20	0,72	от 30 до 40	2,02

Для ожидаемого на участке L изменения температуры $\Delta t \leq 5^{\circ}\text{C}$ в диапазоне температур от 0 до 35°C коэффициент n_c можно рас-

считывать по формуле

$$\eta_c = 0,00125 t_i^2 + 0,0095 t_i + 0,341. \quad (3.60)$$

Расчет средней температуры подвижного агента в трубопроводе (Θ_{cp}), входящей в комплекс В, производится по формуле (1.110) в которой значение величины A_{tr} для теплоизолированного трубопровода определяется по формуле

$$A_{tr} = \frac{K_{tr} U_{tr}}{G_{tr} C_{tr}}, \quad (3.61)$$

где U_{tr} - внешний периметр теплоизолированного трубопровода, м.

Уравнение (3.51) позволяет определять как среднегодовые, так и сезонные (среднемесячные) температуры рудничного воздуха. При этом для определения среднегодовых температур в качестве расчетных принимаются естественные температуры горного массива в начале и конце выработки (t_{n_1}, t_{n_2}), а коэффициент нестационарного теплообмена рассчитывается в зависимости от срока существования выработок по формулам (1.3) или (3.36) и (3.37). Остальные параметры, характеризующие тепловой режим выработок, следует принимать равными их среднегодовым значениям.

При расчете среднемесячных температур рудничного воздуха в случае гармонического закона изменения температуры атмосферного воздуха в качестве расчетных температур горного массива принимается температура стены в начале и конце выработки (t_{st_1}, t_{st_2}), которые определяются по формулам (3.45) и (3.46), а коэффициенты нестационарного теплообмена рассчитываются по формулам (3.39) и (3.40).

В случае подогрева воздуха в зимний период (рис. 3.1) коэффициенты нестационарного теплообмена для летнего и зимнего периодов определяются по формуле (3.47), а в качестве расчетных принимаются значения естественной температуры горного массива в начале и конце выработки.

Обратные тепловые расчеты горных выработок производятся по формуле

$$t_i = B t_{n_1} - (B t_{n_2} - t_2) \exp(AL) + \frac{B-BK}{A} \left[\exp(AL) - 1 \right]. \quad (3.62)$$

В качестве средних температур $\Theta_{ср}$ для определения параметра В по формуле (3.55) принимаются их значения, вычисленные по результатам прямых тепловых расчетов.

3.4.2. Температура подвижного агента в теплоизолированном трубопроводе рассчитывается по формуле

$$\Theta_2 = t_2 - \frac{t_1 - \Theta_1 + \frac{t_2 - t_1}{A_{тр}L} \left[\exp(A_{тр}L) - 1 \right]}{\exp(A_{тр}L)} . \quad (3.63)$$

Значение величины $A_{тр}$ определяется по формуле (3.61).

После определения величины Θ_2 производится сопоставление результатов расчетов с принятой величиной допустимой погрешности, согласно условию (I.II8). При величине ошибки большей заданного значения $\Delta\Theta$, расчеты по определению В, t_2 и Θ_2 повторяются пока не будет удовлетворено условие (I.II8).

3.5. Пример теплового расчета угольной шахты Севера.

3.5.1. Исходные данные. Упрощенная схема расчетной сети горных выработок шахты включает: вертикальный ствол, квершлаг, откаточный штрек, лаву. Исходные горногеологические и горнотехнические данные теплового расчета для всех участков маршрута приведены в табл. 3.5.

Расчет температуры воздуха в выработках необходимо провести для двух случаев:

а) естественный тепловой режим. Воздух подается в ствол без изменения параметров в зимний и летний период. Закон изменения температуры подаваемого воздуха (3.1)

$$t = -10 + 30 \sin \cdot \frac{2\pi t}{8760} , ^\circ\text{C} ;$$

б) подогрев воздуха в холодный период года до $+2^\circ\text{C}$ с увлажнением воздуха до $\varphi = 0,6$. Изменение температуры воздуха, подаваемого в выработки, показано на рис. 3.4. Среднегодовая температура воздуха $+4^\circ\text{C}$. Среднелетняя температура $+12^\circ\text{C}$. Продолжительность

Таблица 3.5

Основные исходные данные выработок расчетного маршрута

Исходные данные	Участок маршрута				
	0-поверх- ность	I-ствол	2-квер- шлаг	3-штрек	4-лава
Глубина, м	0	400	400	400	280
Длина, м	-	400	1040	1150	200
Сечение, м ²		8,6	10,4	6,0	6,0
Периметр, м	-	12,4	13,6	10,0	10,0
Температура пород- ного массива в кон- це участка, °С	-10,5	-2,7	-0,5	-0,5	-1,7
Время проветрива- ния, ч	-	140000	130000	40000	0 + 72
Скорость воздуха, м/с	-	3,1	2,5	2,2	2,0
Производительность транспорта по вы- работке, т/ч	-	100	100	30	30
Вид транспорта	-	склоновой подъем	электровозн. откатка	Электро- возн. от- катка	само- катка
Средняя продолжи- тельность тран- спортирования по- род от забоя до участка, ч	-	0,3	0,25	0,15	0,02
Мощность электро- оборудования на участке, кВт	-	20	20	20	50
Влажность пород, %	-	3,5	3,0	4,0	5,0
Тип пород	-	плотный песчаник	плотный песчаник	уголь I, 2м, песчаник	уголь 2,0м, песчаник
Относительная влаж- ность воздуха					
среднегодовая	0,7	0,85	0,9	0,9	0,9
летняя	0,8	0,90	0,9	0,9	0,9
зимняя	0,6	0,75	0,9	0,9	0,9
Барометрическое давление воздуха,					
мм рт.ст.	760	796	796	796	786

неотопительного периода $\approx 4,5$ мес.

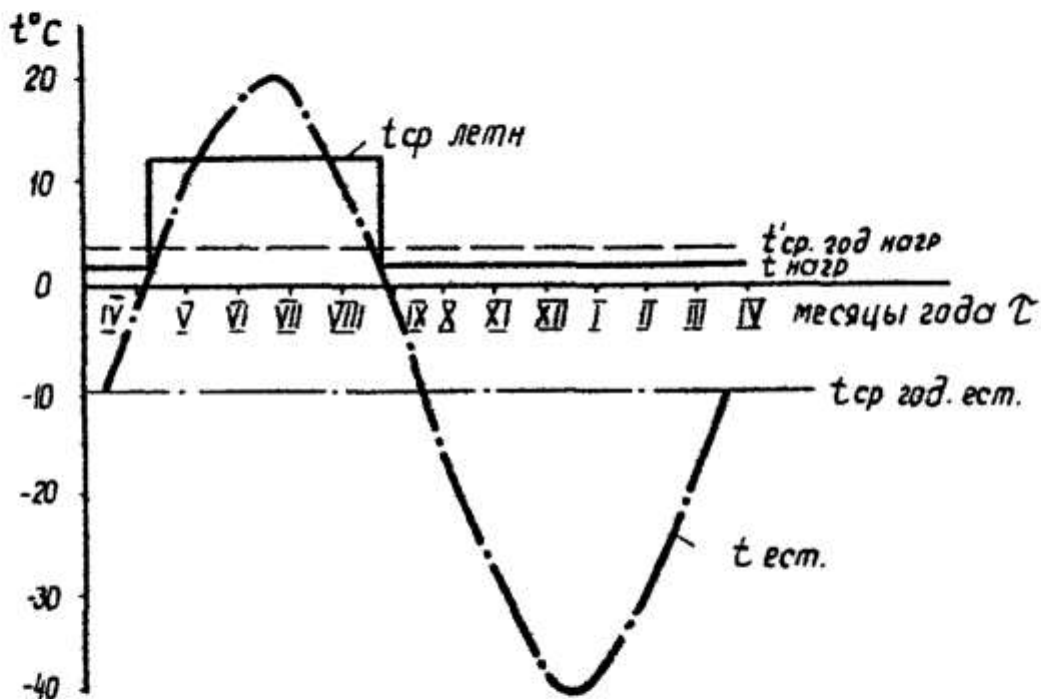


Рис. 3.4. Графики изменения температуры воздуха, поступающего в шахту в течение года

3.5.2. Расчет максимальной температуры воздуха при естественном тепловом режиме.

3.5.2.1. Ствол. Парциальное давление насыщенного пара в воздухе, подаваемом в ствол для среднегодового значения температуры $t_{\text{ср год}} = -10^{\circ}\text{C}$, определяется по формуле (I.41).

$$\rho_{H_2} = \exp \frac{-360 - 18.7 \cdot 10}{236 - 10} = 2,1 \text{ мм рт.ст.}$$

Влагосодержание воздуха (3.59)

$$d_1 = 622 \cdot \frac{0.7 \cdot 2,1}{760 - 0,7 \cdot 2,1} = 1,2 \text{ г/кг.}$$

Коэффициент β_c (3.58)

$$\beta_c = \frac{760 \cdot 0,85 - 796 \cdot 0,7}{796 \cdot 0,7 \cdot 400} = 4 \cdot 10^{-4}.$$

Плотность воздуха (1.40)

$$\rho = 0,464 \frac{760 - 0,7 \cdot 2,1}{-10 + 273} = 1,4 \text{ кг/м}^3.$$

Весовой расход воздуха (3.79)

$$G = 3600 \cdot 1,4 \cdot 3,1 \cdot 8,6 = 133000 \text{ кг/ч}.$$

Тепловыделения от адиабатического сжатия воздуха в стволе (3.18)

$$Q_{\text{ад}} = \frac{133000 \cdot 400}{427} = 125000 \text{ ккал/ч}.$$

Тепловыделения от электрооборудования в стволе (кабели), с учетом коэффициента потерь $m_3 = 0,004$ (1.25)

$$Q_3 = 860 \cdot 0,004 \cdot 20 = 34,4 \text{ ккал/ч}.$$

Удельные абсолютные тепловыделения (3.57)

$$\Sigma Q_A = \frac{125000 + 34,4}{400} = 314 \text{ ккал/ч}$$

В диапазоне ожидаемых изменений температуры воздуха в стволе от -10 до 0°C по табл. 3.4 определяется коэффициент $n_c = 0,19$.

Коэффициент m_1 (3.56)

$$m_1 = 133000 \cdot \left[0,24 + (0,59 + 0,08) \cdot 0,19 \cdot 0,85 \frac{760}{796} \right] = 45200.$$

При $t < 0^\circ\text{C}$ и $t_n < 0^\circ\text{C}$ величина $K_{\text{ад}} = 1$.

При бетонной сплошной крепи ствола, тепловые свойства которой близки к свойствам окружающего породного массива, термическое сопротивление крепи не учитывается

$$\mathcal{L}_{\text{кр}} = \infty.$$

Коэффициент теплоотдачи стенок выработки при коэффициенте мерохвостости $\xi = 1$ определяется по формуле (I.39)

$$\lambda_1 = 2 \cdot I \cdot (1,4 \cdot 3,1)^{0,8} \left(\frac{12,4}{8,6} \right)^{0,2} = 7,1 \text{ ккал}/\text{м}^2 \cdot \text{ч} \cdot {}^\circ\text{C}.$$

Коэффициент нестационарного теплообмена для ствола определяется по формуле (3.37), так как $T > 10$ лет

$$K_T = 0,63 \frac{7,1^{0,05} (2,2)^{0,77}}{1,7^{0,59}} \left[\frac{500}{T40000} \right]^{0,18} = 0,26 \text{ ккал}/\text{м}^2 \cdot \text{ч} \cdot {}^\circ\text{C}.$$

Коэффициент теплоотдачи транспортируемого полезного ископаемого при периметре скипа $U_T = 8 \text{ м}^2$ и площади его сечения $S_T = 4 \text{ м}^2$ по формуле (I.39) с учетом (I.93)

$$\lambda_T = 2 \cdot I \left[1,4 (3,1+7) \right]^{0,8} \cdot \left(\frac{8}{4} \right)^{0,2} = 19,13 \text{ ккал}/\text{м}^2 \cdot \text{ч} \cdot {}^\circ\text{C}.$$

Коэффициент теплопроводности транспортируемого ископаемого при коэффициенте разрыхления $K_p = 1,2$ и коэффициенте теплопроводности угля в массиве $\lambda_y = 0,25 \text{ ккал}/\text{м} \cdot \text{ч} \cdot {}^\circ\text{C}$ (табл. 3.3) равен

$$\lambda_y = \frac{0,25}{1,2} = 0,21 \text{ ккал}/\text{м} \cdot \text{ч} \cdot {}^\circ\text{C}.$$

Коэффициент температуропроводности транспортируемого угля (табл. 3.3)

$$Q_y = 0,0007 \text{ м}^2/\text{ч}.$$

Параметр \bar{z}_T определяется по (I.94)

$$\bar{z}_T = \frac{19,13}{0,21} \sqrt{0,0007 \cdot 0,3} = 1,32.$$

По (I.83) находится значение $f(\bar{z}_T)$

$$f(\bar{z}_T) = 0,644.$$

Коэффициент K_{T_T} между транспортируемым и воздушным потоком в стволе (I.92)

$$K_{T_T} = 19,13 \left(1 - 0,644 \right) = 6,8 \text{ ккал}/\text{м}^2 \cdot \text{ч} \cdot {}^\circ\text{C}.$$

$$K_{opt} = 1.$$

При величине $b_{tc} = 0,001$ (скреп-вагонетка), средний периметр поверхности транспортируемого ископаемого (3.49)

$$U_{tc} = 0,001 \cdot 100 = 0,1 \text{ м.}$$

Параметр А (3.52)

$$A = \frac{I}{45200} [1 \cdot 1 \cdot 0,26 \cdot 12,4 + 1 \cdot 6,8 \cdot 0,1] = 8,6 \cdot 10^{-5}.$$

Параметр Б (3.53)

$$B = \frac{1 \cdot 1 \cdot 0,26 \cdot 12,4}{5200 \cdot 8,6 \cdot 10^{-5}} = 0,835.$$

Параметр λ (3.55)

$$\begin{aligned} B &= \frac{I}{45200} [1 \cdot 0,1 \cdot 6,5 \cdot (-1,1) + 314 - 133000,0,675 \cdot 1,24 \cdot 10^{-4}] = \\ &= 0,006. \end{aligned}$$

Параметр К (3.54)

$$K = \frac{-2,7 + 10,5}{400} = 0,0195 \text{ } ^\circ\text{C/m}.$$

Среднегодовая температура воздуха в конце ствола (3.51)

$$\begin{aligned} t_2 &= 0,835 \cdot (-2,7) - \frac{0,835(-10,5) - (-10) - \frac{0,006 - 0,0195 \cdot 0,835}{8,6 \cdot 10^{-5}}}{\exp(8,6x)} \\ &\rightarrow \frac{x \cdot 10^{-5} \cdot 400}{\exp(8,6 \cdot 10^{-5} \cdot 400)} = -6,3 \text{ } ^\circ\text{C}. \end{aligned}$$

Температура поверхности выработки в начале ствола (3.45)

$$T_1 = -10 + \frac{I \cdot 0,26}{7,1} (-10,5 + 10) = -10 \text{ } ^\circ\text{C}.$$

Температура поверхности выработки в конце ствола (3.46)

$$T_s = -6,3 + \frac{I + 0,26}{7,1} (-2,7 + 6,3) = -6,2^{\circ}\text{C}.$$

Выполним расчеты по изложенной выше методике для летнего периода
 $t_1 = 20^{\circ}\text{C}$, $\varphi_1 = 0,8$, $\varphi_2 = 0,9$ (табл. 3.5).

$$P_h^t = \exp \left(\frac{360 + 18,7 \cdot 20}{236 + 20} \right) = 18,2 \text{ мм рт.ст.};$$

$$d_1 = 622 \frac{0,8 \cdot 18,2}{760 - 0,8 \cdot 18,2} = 12,3 \text{ г/кг} ;$$

$$\beta_c = \frac{760 - 0,9 - 796 - 0,8}{796 \cdot 0,8 \cdot 400} = 0,00018 ;$$

$$\gamma = 0,464 \frac{760 - 0,8 \cdot 18,2}{20 + 273} = 1,18 \text{ кг/м}^3;$$

$$G = 3600 \cdot 1,18 \cdot 3,1 \cdot 8,6 = 115000 \text{ кг/ч};$$

$$Q_{a3} = \frac{115000 \cdot 400}{427} = 108000 \text{ ккал/ч};$$

$$Q_3 = 34,4 \text{ ккал/ч} ;$$

$$\Sigma Q_a = \frac{108000 + 34,4}{400} = 270 \text{ ккал/ч.ч.и.};$$

$$\eta_c = 0,83 (\text{т от } 15 \text{ до } 20^{\circ}\text{C}) ;$$

$$m = 115000 \left[0,24 + 0,59 \cdot 0,83 \cdot 0,9 \cdot \frac{760}{796} \right] = 74000.$$

Коэффициент K_E (3.31), $K_t = 1$.

$T_T = 1460$ — время оттаивания пород (определяется по времени от перехода t через 0°C до расчетного момента).

Критерий Фурье (3.32)

$$F_{0_T} = \frac{4,4 \cdot 10^{-3}}{1,7^2} \cdot \frac{1460}{2} = 2,3.$$

Средняя температура воздуха за период оттаивания породы $t_{отт} = 10^{\circ}\text{C}$.
Температурный симплекс K_T (3.33)

$$K_T = \frac{-10}{-10} = 1.$$

Критерий Коосовица (K_0) (3.34)

$$K_0 = \left| \frac{80 \cdot 0,03 \cdot 250}{0,2 \cdot 2500 (0-10)} \right| = 1,2.$$

Из табл. П. 5 находим значение κ_β

$$\kappa_\beta = 0,35.$$

Коэффициент интенсификации теплообмена в выработке за счет агрегатных переходов (3.30)

$$K_{агр} = 1 + \frac{1 - 1 \cdot 0,35 (1+1)}{1 \cdot 0,35 (1+1) (1+0,5 \sqrt{2,3})} = 1,22.$$

Величина фазового отставания сезонных колебаний температуры на расстоянии 200 м (3.44)

$$\delta\tau_t = 5 \cdot 10^4 \cdot \frac{200}{115000} = 87 \text{ ч}.$$

Коэффициент n_4 (3.42) при времене: от ближайшего перехода t через среднегодовое значение (2190 ч)

$$n_4 = 3 + 0,07 \cdot 7,1 + 3,6 \cdot \frac{2190 - 7}{8760} = 4,427.$$

Так как $\frac{2190 - 87}{8760} = 0,24 < 0,3$, принимаем $\frac{T - \delta\tau_t}{8760} = 0,3$,

$$n_4 = 4,627$$

Коэффициент β (3.41)

$$\rho = \frac{0,8 + 0,59 + 2,2}{8,2 + 4,5 + 1,7} = 0,13 .$$

Коэффициент нестационарного теплообмена (3.39) $\frac{\tau_1 - \delta\tau_T}{8760} = 0,3$

$$K_T = 0,13 \left[6,4 + 0,1 \cdot 1 + \frac{-10,5 - 2,7}{-10 - 6,2} + 4,627 \operatorname{ctg}(2\pi \cdot 0,3) \right] = \\ = 0,835 \text{ ккал/м}^2 \cdot \text{ч.}^{\circ}\text{C}.$$

$$K_{T_T} = 6,8 \text{ ккал/м}^2 \cdot \text{ч.}^{\circ}\text{C} .$$

для малых значений времени $F_0 \rightarrow 0$ зависимость (3.30) для определения $K_{\alpha_{\text{гр}}}$ может быть упрощена

$$K_{\alpha_{\text{гр}}} = \frac{I}{K_\varepsilon K_\beta (I+K_T)} ;$$

$$K_\varepsilon = I ; \quad K_T = \frac{-I \cdot I}{-20} = 0,05 .$$

По (3.34)

$$K_0 = \frac{80 \cdot 0,05 \cdot 1400}{0,25 \cdot 1400(-20)} = 0,8 ;$$

$$K_\beta = 0,7 ;$$

$$K_{\alpha_{\text{гр}}} = \frac{I}{I \cdot 0,7 (I+0,05)} = 1,4 .$$

По формулам (3.52), (3.53), (3.55), (3.54), (3.51) рассчитываются значения:

$$A = \frac{I}{74000} \left[1,22 \cdot 1 \cdot 0,835 \cdot 12,4 + 1,4 \cdot 6,5 \cdot 0,1 \right] = 1,83 \cdot 10^{-4} ;$$

$$\bar{B} = \frac{1,22 \cdot 1,0835 \cdot 12,4}{2,4 \cdot 10^{-4} \cdot 74000} = 0,93;$$

$$B = \frac{1}{74000} \left[1,4 \cdot 6,5 \cdot 0,1 \cdot (-1,1) + 270 - 115000 \cdot 0,595 \cdot 12,4 \right. \\ \left. + 0,00018 \right] = 0,0018;$$

$$k = \frac{-6,2 + 10}{400} = 0,01^{\circ}\text{C/m};$$

$$t_2 = 0,93(-6,2) - \frac{0,93(-10)-20 - \frac{0,0018-0,01 \cdot 0,93}{1,83 \cdot 10^{-4}} \left[\exp(1,83 \cdot 10^{-4} \cdot \right.}{\left. \exp(1,83 \cdot 10^{-4} \cdot 400) \right.} \\ \left. - \frac{x \cdot 400 - 1}{x} \right] = 18,6^{\circ}\text{C}.$$

3.5.2.2. Определение температуры воздуха для квердлага и штрека производится аналогичным образом. В штреке, пройденном по пласту угля, по формулам (3.6, 3.4, 3.16), определяются эффективные значения тепловых свойств пород:

$$\lambda_{pp} = \frac{2 \cdot 2 (6-2,4) + 0,25 \cdot 2,4}{6 - 0,5 \cdot 2,4} = 1,75 \text{ ккал/м.ч.}^{\circ}\text{C},$$

$$(c\gamma)_{pp} = \frac{0,2 \cdot 2500 \cdot 0,88 + 0,25 \cdot 1400 \cdot 0,12}{1} = 480 \text{ ккал/м}^3 \cdot ^{\circ}\text{C};$$

$$\alpha_{pp} = \frac{1,75}{480} = 3,65 \cdot 10^{-3} \text{ м}^2/\text{ч.}$$

Данные расчетов при определении среднегодовой температуры воздуха по участкам приведены ниже.

Квердаг

$$\rho_h^{t_i} = 2,8 \text{ кг рт.ст.}$$

$$d_i = 1,9 \text{ г/кг}$$

$$\beta_i = 1,7 \cdot 10^{-3}$$

Откаточный штрек

$$3 \text{ кг рт.ст.}$$

$$2,1 \text{ г/кг}$$

$$0$$

$\sum q_{\text{вн}}$	= 16 ккал/м·ч	15 ккал/м·ч
γ	= 1,4 кг/м ³	1,4 кг/м ³
G	= 130000 кг/ч	67000 кг/ч
m	= 45500	22000
$K_{\text{шн}}$	= I	I
R_o	= 1,8 м	1,4 м
λ	= 5,7 ккал/м ² ·ч·°C	10,8 ккал/м ² ·ч·°C
K_T	= 0,27 ккал/м ² ·ч·°C	0,32 ккал/м ² ·ч·°C
L_T	= 30 ккал/м ² ·ч·°C	31 ккал/м ² ·ч·°C
R_T	= 0,7 м	0,7 м
λ_y	= 0,21 ккал/м·ч·°C	0,21 ккал/м·ч·°C
α_y	= 0,7 · 10 ⁻³ м ² /ч	0,7 · 10 ⁻³ м ² /ч
Z_T	= 1,9	1,45
$f(z)$	= 0,73	0,67
K_{T_T}	= 4,5 ккал/м ² ·ч·°C	10 ккал/м ² ·ч·°C
U_T	= 0,1 м	0,03 м
A	= 9,1 · 10 ⁻⁵	2 · 10 ⁻⁴
B	= 0,89	0,95
C	= 0	6,7 · 10 ⁻⁴
K	= 0,002 °C/м	0
t_2	= -5,7 °C	-4,0 °C
t_{n_1}	= -6,1 °C	-5,5 °C
t_{n_2}	= -5,5 °C	-5,9 °C

Данные расчетов при определении средненильской температуры воздуха

Квернлаг	Откаточный экрек
$t_1 = 15$ мм рт.ст.	11,5 мм рт.ст.
$d_1 = 10,8$ г/кг	8,3 г/кг
$\beta_c = 0$	0
$\gamma = 1,25$ кг/м ³	1,25 кг/м ³
$G = 11800$ кг/ч	60000 кг/ч
$\Sigma q_p = 16$ ккал/м.ч.	15 ккал/м.ч.
$m = 84000$	36000
$K_e = \tau$	I
$C_T = 1460$ ч	1460
$F_{OT} = 2,0$	2,7
$K_{TT} = 1,1$	0,8

$ K_0 = 1,3$	2,3
$K_\beta = 0,3$	0,3
$K_{\text{арп}} = 1,35$	1,4
$\delta t_t = 190 \times (\frac{\tau_1 - \delta \tau_t}{8760} = 0,3)$	$1700 \times (\frac{\tau_1 - \delta \tau_t}{8760} = 0,3)$
$n_i = 8,1$	II,8
$\rho = 0,13$	0,12
$K_T = 1,3 \text{ ккал}/\text{м}^2 \cdot \text{ч} \cdot {}^\circ\text{C}$	$1,4 \text{ ккал}/\text{м}^2 \cdot \text{ч} \cdot {}^\circ\text{C}$
$K_{T'} = 4,5 \text{ ккал}/\text{м}^2 \cdot \text{ч} \cdot {}^\circ\text{C}$	$10 \text{ ккал}/\text{м}^2 \cdot \text{ч} \cdot {}^\circ\text{C}$
$K_E = I$	I
$K_{TT} = 0,06$	0,08
$ K_0 = 0,9$	I,2
$K_\beta = 0,75$	0,6
$K_{\text{арп}} = 1,25$	1,5
$A = 2,9 \cdot 10^{-4}$	$1,2 \cdot 10^{-4}$
$B = 0,99$	I
$V = 1,8 \cdot 10^{-4}$	$4 \cdot 10^{-4}$
$K = 0,002 {}^\circ\text{C}/\text{м}$	0
$t_2 = 12,0 {}^\circ\text{C}$	$8,3 {}^\circ\text{C}$

3.5.2.3. Тепловой расчет лавы производится по аналогичной методике, но коэффициент нестационарного теплообмена рассчитывается, как средневзвешенный по периметру при различном времени пропитывания угольного забоя, пород кровли и почвы на первой и второй дорогах и обрушенных пород. Среднеинтегральное время пропитывания забоя и пород по первой дороге - 10 ч, пород по второй дороге - 20 ч, обрушенных пород - 30 ч. Скорости движения воздуха: по первой дороге - 2,2 м/с, по второй - 1,8 м/с.

Результаты расчетов приведены ниже.

$P_h^{t_1} = 8,2 \text{ мм рт.ст.}$
$d_i = 5,4 \text{ г/кг}$
$\beta_c = 0,00006$
$\gamma = 1,2 \text{ кг}/\text{м}^3$
$G = 60000 \text{ кг/ч}$
$\Sigma q_d = 0$
$m = 36000$

$$\text{Ствол } K_T = 0,26 \frac{-10,5-4}{-10,2-12} + 0,9 \frac{4-12}{-10,5-12} = 0,5 \text{ ккал}/\text{м}^2 \cdot \text{ч} \cdot ^\circ\text{C}.$$

$$\text{Квершлаг } K_T = 0,27 \frac{-2,7-5,3}{-2,7-12,0} + 0,8 \frac{5,3-12}{-2,7-12} = 0,6 \text{ ккал}/\text{м}^2 \cdot \text{ч} \cdot ^\circ\text{C}.$$

$$\text{Штрек } K_T = 0,32 \frac{-0,5-4,3}{-0,5-12} + 0,95 \frac{4,3-11}{-0,5-12} = 0,7 \text{ ккал}/\text{м}^2 \cdot \text{ч} \cdot ^\circ\text{C}.$$

Таблица 3.6

Результаты теплового расчета выработок шахты

Параметр	Значения расчетных параметров на участке			
	ствол	квершлаг	откаточный штрек	лава
$t_1, {}^\circ\text{C}$	20	20,1	19,5	13,1
$\rho t, \text{ мм рт.ст.}$	18,2	18,2	18,0	11,5
$d, \text{ г/кг}$	12,3	12,9	12,6	8,3
β_c	0,00016	0	0	0,00006
$\gamma, \text{ кг/м}^3$	1,2	1,25	1,25	1,25
$G, \text{ кг/ч}$	115000	118000	60000	60000
$\sum q_d, \text{ ккал}/\text{м} \cdot \text{ч}$	270	16	15	0
m	74000	84000	36000	36000
$K_{wT} (t_{10}=4 {}^\circ\text{C})$	1,1	1,12	1,2	2,5
$K_T, \text{ ккал}/\text{м}^2 \cdot \text{ч} \cdot {}^\circ\text{C}$ (формула (1.78))	0,26	0,27	0,32	-
$T_1, \text{ ч}$	1490	1490	1490	-
Z	7,8	7,0	1,8	-
$f(Z)$	0,928	0,92	0,96	-
B_i	4,9	4,4	8,6	-
$K_T, \text{ ккал}/\text{м}^2 \cdot \text{ч} \cdot {}^\circ\text{C}$ (формулы (3.30-3.35))	0,9	0,8	0,95	-
$K_T, \text{ ккал}/\text{м}^2 \cdot \text{ч} \cdot {}^\circ\text{C}$ (формул. 3.7)	0,7	0,6	0,7	3,0
A	$1 \cdot 10^{-4}$	$1 \cdot 2 \cdot 10^{-4}$	$3 \cdot 1 \cdot 10^{-4}$	0,0036
B	0,9	0,9	0,98	0,86
B	0,0018	0,00018	0,0004	$-6 \cdot 10^{-4}$
$K, {}^\circ\text{C}/\text{м}$	0,0195	0,002	0	-0,006
$t_2, {}^\circ\text{C}$	20,1	19,5	13,1	5,5

$$\begin{aligned}
 K_{\text{агр}} &= 2,5 \\
 R_o &= 1,4 \text{ м} \\
 \lambda_1 &= 16 \text{ ккал/м}^2 \cdot \text{ч.}^{\circ}\text{C} \\
 \lambda_2 &= 13 \text{ ккал/м}^2 \cdot \text{ч.}^{\circ}\text{C} \\
 K_{T_3} &= 1,5 \text{ ккал/м}^2 \cdot \text{ч.}^{\circ}\text{C} \\
 K_{T_1} &= 5,4 \text{ ккал/м}^2 \cdot \text{ч.}^{\circ}\text{C} \\
 K_{T_2} &= 4,0 \text{ ккал/м}^2 \cdot \text{ч.}^{\circ}\text{C} \\
 K_{T_4} &= 3,2 \text{ ккал/м}^2 \cdot \text{ч.}^{\circ}\text{C}
 \end{aligned}$$

Средневзвешенное значение K_T по периметру (1.86)

$$K_T = \frac{1,75 \cdot 2}{10} + \frac{5,4 \cdot 3,0}{10} + \frac{4,0 \cdot 3,0}{10} + \frac{3,2 \cdot 2}{10} = 3,81 \text{ ккал/м}^2 \cdot \text{ч.}^{\circ}\text{C}.$$

$$\begin{aligned}
 R_o &= 0,17 \text{ м} \\
 \lambda_4 &= 0,21 \text{ ккал/м.ч.}^{\circ}\text{C} \\
 a_4 &= 0,7 \cdot 10^{-3} \text{ м}^2/\text{ч} \\
 z_T &= 0,03 \\
 f(z_T) &= 0,03 \\
 K_{T_A} &= 15,5 \text{ ккал/м}^2 \cdot \text{ч.}^{\circ}\text{C} \\
 b_A &= 0,5 \text{ м} \\
 A &= 0,0036 \\
 B &= 0,86 \\
 V &= -0,0006 \\
 K &= -0,0060 \text{ }^{\circ}\text{C}/\text{м} \\
 t_2 &= 3,6 \text{ }^{\circ}\text{C}
 \end{aligned}$$

3.5.3. Расчет максимальной температуры воздуха при подогреве в зимний период. Расчеты выполняются по той же методике, но учитывается интенсификация теплообмена за счет агрегатных переходов при постоянной положительной температуре воздуха в начале пути и рассчитывается текущее значение коэффициента нестационарного теплообмена по формуле (3.47), позволяющее определить текущую температуру воздуха без учета среднегодовых значений ее в выработке. Результаты расчетов сводятся в таблицу 3.6.

Расчет K_T для ствола, квералага и штрека производится с учетом среднего значения температуры воздуха за период интенсивного нагрева, соответственно: I2 $^{\circ}$ C; I2 $^{\circ}$ C; II $^{\circ}$ C.

**4. МЕТОДИКА ПРОГНОЗИРОВАНИЯ ТЕМПЕРАТУРНЫХ УСЛОВИЙ
В ВЫРАБОТКАХ, ПРОВЕТРИВАЕМЫХ С ПОМОЩЬЮ ВЕНТИЛЯ-
ТОРОВ МЕСТНОГО ПРОВЕТРИВАНИЯ**

Основные условные обозначения

- t_n, t_{n_3} - естественная температура горных пород соответственно в середине и в забое тупиковой выработки, $^{\circ}\text{C}$;
- t - температура воздуха: t_0 - перед всасом вентилятора; t_1 - в трубопроводе после вентилятора; t_2 - на выходе из трубопровода у забоя; t_4 - на выходе из призабойной зоны; t_5 - в устье тупиковой выработки, $^{\circ}\text{C}$;
- t_{pr} - предельно допустимая в рабочем забое, $^{\circ}\text{C}$;
- φ - относительная влажность воздуха (цифровая индексация та же), в долях единицы;
- P - среднее барометрическое давление воздуха в тупиковой выработке, мм рт.ст.;
- Q - объемный расход воздуха: Q_1 - в устье тупиковой выработки, в начале трубопровода; Q_2 - на выходе из трубопровода, призабойной зоны; Q_{cr} - средний по длине тупиковой выработки, трубопровода, $\text{м}^3/\text{ч}$.
- Q_{up} - утечки воздуха из трубопровода в тупиковой выработке, $\text{м}^3/\text{ч}$;
- α_1, α_2 - приведенный коэффициент теплоотдачи от горных пород к воздуху соответственно в выработке и призабойной зоне, $\text{kкал}/\text{м}^2 \cdot \text{ч} \cdot ^{\circ}\text{C}$;
- λ_1, λ_2 - коэффициенты теплоотдачи соответственно у внутренней и наружной поверхности трубопровода, $\text{kкал}/\text{м}^2 \cdot \text{ч} \cdot ^{\circ}\text{C}$;
- τ_p - расчетное время проветривания соответствующего участка тупиковой выработки, ч ;
- τ_1, τ_3, τ_4 - время существования соответственно устья, забоя и начала призабойной зоны тупиковой выработки, ч;
- K_t - коэффициент нестационарного теплообмена между горным массивом и воздухом для участка от устья тупиковой выработки до призабойной зоны; K_{t_1} - для призабойной зоны, $\text{kкал}/\text{м}^2 \cdot \text{ч} \cdot ^{\circ}\text{C}$;

$\Sigma Q_b, \Sigma Q_3$ - суммарные тепловыделения местных источников соответственно на участке от призабойной зоны до устья выработки и в призабойной зоне, ккал/ч;

U - скорость воздуха: U_g - средняя в тупиковой выработке; U_t - средняя в трубопроводе; U_o - на выходе из труса провода; U_3 - средняя у стенок призабойной зоны, м/с ;

H - глубина от поверхности середины тупиковой выработки, м;

ΔH - разность высотных отметок начала и конца тупиковой выработки, м;

L - длина тупиковой выработки от устья до конца трубопровода м;

$l_{3,ff}$ - длина призабойной зоны (расстояние от забоя до конца трубопровода), м;

d_{tp} - диаметр трубопровода, м;

C_t - периметр трубопровода, м;

S_t - площадь поперечного сечения трубопровода, m^2 ;

G - весовой расход воздуха: G_1 - в устье тупиковой выработки, в начале трубопровода; G_2 - на выходе из трубопровода, призабойной зоны, G_{cp} - средний по длине тупиковой выработки, трубопровода, кг/ч ;

G_{up} - утечки воздуха из трубопровода в тупиковой выработке, кг/ч.

4.1. Выбор исходных данных.

Тепловому расчету каждой тупиковой выработки должно предшествовать определение ее геометрической и технической характеристик (длины и угла наклона выработки, площади и периметра сечения, вида крепи и др.), отдельных тепловых свойственных параметров воздуха (расхода, начальной температуры и относительной влажности), наличия местных источников тепла (типа, количества и режима работы машин и механизмов, транспорта, шахтной воды и др.), естественной температуры горных пород, окружающих выработку, и их теплофизических характеристик, а также времени проветривания расчетных участков.

4.1.1. Сечение, периметр и эквивалентный радиус участка тупиковой выработки от устья до призабойной зоны определяется согласно п. I.I.1.

Поверхность призабойной зоны рассчитывается по формуле

$$F_3 = 1,35 S + \pi l_{3, \text{тр}} . \quad (4.1)$$

4.1.2. Количество, температура и относительная влажность воздуха перед вентилятором местного проветривания (ВМП) при отсутствии шахтных замеров, в зависимости от конкретных условий разработки, определяются по методикам, изложенным в разделах I или 2.

4.1.3. После выбора ВМП с учетом характеристики сети (трубоопровода, воздухоохранителя и т.п.) производится корректировка количества воздуха в устье выработки, а количество воздуха в конце трубопровода подсчитывается по формуле

$$Q_2 = Q_1 - Q_{\text{утеч.}} . \quad (4.2)$$

Утечки воздуха из трубоопровода рассчитываются по формуле

$$Q_{\text{утеч.}} = Q_1 \left(1 - \frac{1}{K_{\text{утеч.}}} \right) , \quad (4.3)$$

где $K_{\text{утеч.}}$ – коэффициент утечек воздуха для данного типа трубопровода.

Значения коэффициентов утечек воздуха для гибких вентиля-

ционных трубопроводов диаметром 0,4–1,0 м приведены в табл. 4.1, 4.2, 4.3.

Таблица 4.1.

Значения коэффициента утечек воздуха для гибких трубопроводов диаметром 0,4–0,6 м при длине звеньев 20 м

Длина трубопровода, м	$K_{ут.тп}$	Длина трубопроводов, м		$K_{ут.тп}$
		600	1200	
50	1,04	600	1,35	
100	1,07	700	1,39	
150	1,11	800	1,43	
200	1,14	1000	1,54	
250	1,16	1200	1,76	
300	1,19	1500	2,09	
400	1,25	2000	2,63	
500	1,30			

Таблица 4.2.

Значения коэффициента утечек воздуха для гибких трубопроводов диаметром 0,4–0,6 м при увеличении числа стыков от применения 5 и 10 метровых звеньев и фасонных частей

Общее число стыков в трубопроводе	$K_{ут.тп}$	Общее число стыков в трубопроводе		$K_{ут.тп}$
		18–20	21–25	
до 4	1,04	18–20	21–25	1,23
5	1,05	21–25	26–35	1,30
6–8	1,07	26–35	36–45	1,33
9–11	1,11	36–45	46–55	1,43
12–14	1,15	46–55		1,54
15–17	1,19			

Таблица 4.3.

Значения коэффициента утечек воздуха для гибких трубопроводов диаметром 0,7-1,0 м при длине звеньев 10 м

Длина трубопровода, м	$K_{ут.тв}$	Длина трубопровода, м	$K_{ут.тв}$
100	1,07	900	2,27
200	1,13	1000	2,63
300	1,22	1200	3,23
400	1,32	1400	4,00
500	1,41	1600	4,75
600	1,54	1800	6,25
700	1,72	2000	7,15
800	1,96		

Таблица 4.4.

Значения коэффициента аэродинамического сопротивления металлических трубопроводов

$d_{tp}, \text{м}$	$d_{aэр} \cdot 10^4$	$d_{tp}, \text{м}$	$d_{aэр} \cdot 10^4$
0,4	3,6	0,8	2,9
0,5	3,5	0,9	2,8
0,6	3,0	1,0	2,5
0,7	3,0		

Коэффициент утечек воздуха для металлических трубопроводов рассчитывается по формуле

$$\kappa_{ут.тп} = \left(\frac{1}{3} \kappa_{ут.ст} d_{тп} \frac{l_{тп}}{l_{ш}} \sqrt{R_{тп}} + 1 \right)^2. \quad (4.4)$$

где $\kappa_{ут.ст}$ - коэффициент удельной стыковой воздухопроницаемости условного трубопровода диаметром менее 1,0 м; для фланцевых соединений с резиновыми прокладками принимается равным 0,002-0,005 при удовлетворительном качестве оборки и 0,001-0,002 при хорошем;

$l_{тп}$ - длина металлического трубопровода в кривотке, м;

$l_{ш}$ - длина звена, м;

$R_{тп}$ - аэродинамическое сопротивление трубопровода без учета утечек, км

$$R_{тп} = \frac{6,5 \alpha_{аэо} l_{тп}}{d_{тп}^5}. \quad (4.5)$$

где $\alpha_{аэо}$ - коэффициент аэродинамического сопротивления трубопровода, kgs^2/m^4 ; принимается из табл. 4.4.

4.1.4. Температура воздуха в трубопроводе после ВМП рассчитывается по формуле

$$t_1 = t_0 + \Delta t_{вент.}, \quad (4.6)$$

где $\Delta t_{вент.}$ - приращение температуры воздуха от работы ВМП, $^{\circ}\text{C}$
- для осевых вентиляторов

$$\Delta t_{вент.} = \frac{860 N_3}{A P Q_1 \eta_{э}} ; \quad (4.7)$$

- для центробежных вентиляторов

$$\Delta t_{вент.} = \frac{860 N_3}{A P Q_1} . \quad (4.8)$$

где A - коэффициент, определяемый по табл. 4.5;

$\eta_{э}$ - КПД двигателя ВМП;

N_3 - мощность на валу электродвигателя, кВт.

$$N_3 = \frac{Q_1 h_t}{367200 \eta_{э}} . \quad (4.9)$$

где h_4 — изobar ВМП, мм рт.ст.;
 γ_b — кпд ВМП.

Таблица 4.5.

Значения коэффициентов аппроксимации теплосодержания воздуха
 A, D и D_B для различных диапазонов изменения температуры

диапазон изменения температуры, °С	$A \cdot 10^3$	D	D_B
0 - 10	0,401	0,286	2,718
5 - 15	0,394	0,380	1,985
10 - 20	0,387	0,497	0,401
15 - 25	0,380	0,644	-2,300
20 - 30	0,374	0,825	-6,620
25 - 35	0,368	1,046	-12,930
30 - 40	0,362	1,241	-19,458

4.1.5. Относительная влажность воздуха в характерных пунктах выработки принимается по шахтным замерам, а при их отсутствии может быть принята ориентировочно согласно табл. 4.6.

Относительная влажность воздуха после ВМП рассчитывается по формуле

$$\varphi_1 = \frac{D t_0 + D_B}{D t_1 + D_B} \varphi_0. \quad (4.10)$$

Коэффициенты D и D_B принимаются по табл. 4.5.

Относительная влажность после воздухоохранителя принимается равной $0,95 + 1,0$. На выходе из трубопровода относительная влажность $\varphi_2 = (0,95 + 1,1) \varphi_1$, причем большие значения числового коэффициента принимаются в случае расположения пункта охлаждения на расстоянии до 100 м от забоя.

таблица 4.6.

Ожидаемые значения относительной влажности воздуха в характерных пунктах тупиковых выработок

Характеристика выработок	Относительная влажность воздуха, в долях единицы		
	На выходе из призабойной зоны (φ_4)	В выработке у места установ- ки воздухохла- дителя (φ_2)	На выходе из выработки (φ_5)

Без кондиционирования

Сухие	0,71	-	0,73
Влажные	0,77	-	0,79

При кондиционировании в случае расположения воздухохла-
дителя в начале выработки

Сухие	0,73	-	0,75
Влажные	0,76	-	0,83

При кондиционировании в случае расположения воздухохла-
дителя в выработке

Сухие	0,73	0,75	0,73
Влажные	0,76	0,83	0,79

4.1.6. Барометрическое давление воздуха для различных пунктов тупиковой выработки рассчитывается согласно п. I.I.3.

4.1.7. Качественная температура горных пород для середины тупиковой выработки и для забоя рассчитывается согласно п. I.I.9.

4.1.8. Теплофизические характеристики горных пород определяются согласно п. I.I.10.

4.1.9. Расчетное время проветривания различных участков тупиковых выработок определяется согласно п. I.1.11. При этом время существования расчетных пунктов на действующих шахтах принимается по данным маркшейдерских замеров.

4.2. Расчет тепловыделений местных источников.

4.2.1. Тепловыделения при работе машин с электроприводом (погрузочных машин, проходческих комбайнов, буровых установок) рассчитывается по формуле

$$Q_m = 860 N_m K_3, \quad (4.11)$$

где N_m - суммарная установленная мощность электродвигателей, кВт;

K_3 - коэффициент загрузки машин во времени $K_3 = 0,3 - 0,5$.

4.2.2. При конвейерном транспорте в тупиковых выработках тепловыделение от охлаждения транспортируемой горной массы, в отличие от метода п. I.2.4.2, рассчитывается по формуле

$$Q_n = \Delta t_k A_\varphi C_n, \quad (4.12)$$

где Δt_k - охлаждение транспортируемого материала, $^{\circ}\text{C}$;

A_φ - фактическая производительность конвейера, кг/ч;

C_n - теплоемкость горной массы, ккал/кг. $^{\circ}\text{C}$, определяется согласно табл. П.3.1.

Величина Δt_k рассчитывается по эмпирической формуле

$$\Delta t_k = 0,0024 L_k^{0,8} \left(t_{np} - \frac{t_n + t_1}{2} \right), \quad (4.13)$$

где L_k - длина конвейера на расчетном участке, м;

t_{np} - температура ископаемого при его погрузке на конвейер, $^{\circ}\text{C}$

$$t_{np} = t_{n3} - (7 \div 11). \quad (4.14)$$

В формуле (4.14) разность $t_{n3} - t_{np}$ принимается равной 7°C при $t_{n3} < 35^{\circ}\text{C}$; 9°C при $45^{\circ}\text{C} > t_{n3} > 35^{\circ}\text{C}$; 11°C при $t_{n3} > 45^{\circ}\text{C}$.

4.2.3. Тепловыделения других местных источников рассчитываются по зависимостям п. I.2.

4.3. Расчет коэффициентов теплопередачи вентиляционных трубопроводов в тупиковых выработках.

4.3.1. Коэффициент теплопередачи трубоопроводов неохлажденного воздуха рассчитывается по формуле

$$K_t = \frac{1}{\frac{1}{\alpha_1} + \frac{\delta_t}{\lambda_t} + \frac{1}{\alpha_2}}, \quad (4.15)$$

где δ_t - толщина стенки трубоопровода, м; принимается $\delta_t = 0,001$ м для металлических и гибких трубоопроводов;

λ_t - коэффициент теплопроводности материала трубоопровода, ккал/м·°С (для металлических, прорезиненных типа "М" и пластикатных трубоопроводов λ_t соответственно равен 50; 0,135 и 0,12),

Коэффициент теплоотдачи у внутренней поверхности рассчитывается по формуле

$$\alpha_1 = 3,7 \frac{V_t^{0,8}}{d_{tr}^{0,2}}. \quad (4.16)$$

Коэффициент теплоотдачи у наружной поверхности рассчитывается по эмпирической формуле

$$\alpha_2^0 = 5,52 + 3,7 \frac{V_b^{0,8}}{d_{tr}^{0,2}}. \quad (4.17)$$

4.3.2. Коэффициент теплопередачи трубопровода с охлажденным воздухом рассчитывается по формуле

$$K_t^i = \frac{1}{\frac{1}{\alpha_1} + \frac{\delta_i}{\lambda_t} + \frac{1}{\xi \alpha_2}}, \quad (4.18)$$

где ξ - коэффициент влаговыпадения, который определяется по формуле (I.71).

4.4. Расчет коэффициентов нестационарного теплообмена между горным массивом и воздухом.

4.4.1. Коэффициент нестационарного теплообмена для участка от привабиной зоны до устья выработки рассчитывается по формуле (I.78) или (I.76), а для осложненных условий - согласно п. 2.2.5. При этом для тупиковых выработок коэффициент теплоотдачи от поверхности выработки к воздушной среде вычисляется по эмпирической формуле

$$\alpha_b = 6,45 + 2,52 \xi \frac{V_b^{0,8}}{R_o^{0,2}}. \quad (4.19)$$

Коэффициент перековатости принимается в соответствии с рекомендациями п. 1.2.2.1.

4.4.2. При орошении поверхности призабойной зоны туннелевой выработки коэффициент нестационарного теплообмена для призабойной зоны рассчитывается по формуле

$$K_{T_3} = \frac{2,51\lambda}{\sqrt{F_3}} + \frac{1,13\lambda}{\sqrt{\alpha}(\sqrt{T_3} + \sqrt{T_4})}, \quad (4.20)$$

а при средних для условий шахт Донбасса значениях теплофизических характеристик горных пород

$$K_{T_3} = \frac{3,82}{\sqrt{F_3}} + \frac{31,8}{\sqrt{T_3} + \sqrt{T_4}}. \quad (4.21)$$

4.4.3. При сухой поверхности призабойной зоны коэффициент нестационарного теплообмена рассчитывается по формуле

$$K_{T_3} = \frac{\lambda \sqrt{1 + 1,77 \sqrt{F_{0,3}}}}{1,77 R_3^3 \sqrt{F_{0,3}} + \frac{\lambda \sqrt{1 + 1,77 \sqrt{F_{0,3}}}}{\alpha_3}}, \quad (4.22)$$

где R_3^3 – эквивалентный радиус призабойной зоны, м;

$$R_3^3 = \sqrt{R_o l_3 + R_o^2}; \quad (4.23)$$

$$F_{0,3} = \frac{\alpha T_3}{(R_3^3)^2}, \quad (4.24)$$

$F_{0,3}$ – критерий Фурье для призабойной зоны, причем $T_{заб}$ определяется по формуле (1.16);

$$d_3 = 6,35 \frac{U_3^{0,8}}{(R_3^3)^{0,2}}. \quad (4.25)$$

Расчетное значение скорости воздуха у поверхности стенок призабойной зоны

$$U_3 = \frac{\bar{U}_1 (0,5 U_3 + 1,35 S) + U_2 0,5 U_3}{F_3}, \quad (4.26)$$

где \bar{U}_1 – средненетральная скорость воздуха у поверхности стенок призабойной зоны в прямом потоке

$$\bar{V}_1 = - \frac{V_0}{\omega} \left(A_T + 1,15 \ell_3 \frac{1 - A_T}{1 + A_T} \right); \quad (4.27)$$

\bar{V}_2 - то же, в обратном потоке

$$\bar{V}_2 = \frac{V_0}{\omega} \left[\left(\sqrt{\omega} - \frac{0,75 T_1}{\sqrt{1 + \Psi_p}} \right) \ln \sqrt{\frac{1 + \Psi_p}{\Psi_p} + \frac{2 \operatorname{arctg} \sqrt{d_{tr} \omega}}{\sqrt{d_{tr} \omega}}} - 2 \sqrt{\omega} \right]. \quad (4.28)$$

В формулах (4.26) - (4.28) коэффициенты Ψ_p и T_1 зависят от величины поперечного сечения струи

$$\text{при } \frac{S_T}{S} \gg 0,04 \quad \Psi_p = 3,56 \frac{S_T}{S} - 0,063; \quad (4.29)$$

$$T_1 = 0,476 \Psi_p + 0,0295; \quad (4.30)$$

$$\text{при } \frac{S_T}{S} < 0,04 \quad \Psi_p = 25 \left(\frac{S_T}{S} \right)^{1,8}; \quad (4.31)$$

$$T_1 = 0,284 \Psi_p^{0,55}. \quad (4.32)$$

Кроме того

$$\omega = \frac{\sqrt{1 + \Psi_p} - \sqrt{\Psi_p}}{\sqrt{\Psi_p(1 + \Psi_p)}}; \quad (4.33)$$

$$A_T = \frac{1}{\sqrt{1 + \Psi_p}}. \quad (4.34)$$

4.5. Расчет температуры в тупиковой выработке без охлаждения воздуха.

Для оценки теплового режима в тупиковых выработках без применения средств охлаждения рассчитывается температура воздуха на выходе из трубопровода, на выходе из призабойной зоны и на выходе из выработки. Схема расположения характерных точек, для которых определяется температура воздуха приведена на рис. 4.1.

$$t_2 = \frac{[t_1(1 - N_T) \pm 0,01 \Delta H] \Pi_3 + 2 N_T \Pi_3}{\Pi_3 + N_T (\Pi_3 + 2 N_T - 2)}; \quad (4.35)$$

$$t_4 = \frac{\Pi_3 + t_2(1 - N_3)}{\Pi_3} ; \quad (4.36)$$

$$t_5 = \frac{N_6 t_n + (1 - 2N_T - 0.5N_6 + n_T \varphi_4)t_4 + N_T(t_1 + t_2) - m_T(\varphi_5 - \varphi_4) + 0.01n_T + \frac{\sum Q_k}{G_{cp}c_p}}{1 + 0.5N_6 + n_T \varphi_6} ; \quad (4.37)$$

где

$$N_T = \frac{K_T U_T L K_g}{2 G_{cp} c_p} ; \quad (4.38)$$

$$N_3 = \frac{K_{T_2} F_3}{2 G_2 c_p} ; \quad (4.39)$$

$$N_6 = \frac{K_T U L}{G_{cp} c_p} ; \quad (4.40)$$

$$\Pi_3 = 1 + N_3 + n_T \varphi_4 ; \quad (4.41)$$

$$\Pi_3 = 2N_3 t_{n_3} + \frac{\sum Q_3}{G_2 c_p} + m_T(\varphi_1 - \varphi_4) + n_T t_1 \varphi_1 ; \quad (4.42)$$

$$G_{cp} = 0.5(G_1 + G_2) ; \quad (4.43)$$

$$K_g = \frac{G_2}{G_1} ; \quad (4.44)$$

$$n_T = \frac{1890}{P} n_6 ; \quad (4.45)$$

$$m_T = \frac{1890}{P} m_6 . \quad (4.46)$$

В формулах (4.35) – (4.46):

K_g – коэффициент доставки воздуха; величина барометрического давления воздуха P принимается для середины выработки;

значения коэффициентов аппроксимации влагосодержания насыщенного воздуха n_g , m_g , в зависимости от ожидаемого диапазона изменения температуры, определяются по табл. 4.7.

Таблица 4.7

Коэффициенты аппроксимации влагосодержания насыщенного воздуха

Диапазон изменения температуры, °С	m_g	n_g
0 - 10	5,595	0,385
5 - 15	2,583	0,520
10 - 20	0,287	0,704
15 - 25	-3,916	0,944
20 - 30	-10,648	1,243
25 - 35	-21,705	1,645
30 - 40	-38,280	2,155

4.6. Расчет температуры в тупиковой выработке при искусственном охлаждении воздуха.

4.6.1. Для оценки эффективности работы воздухоохладителя (кондиционера), расположенного в начале тупиковой выработки или перед устьем выработки, производится расчет температуры воздуха на выходе из трубопровода, на выходе из призабойной зоны и на выходе из выработки. Схема расположения характерных точек, для которых определяются температуры воздуха, при размещении воздухоохладителя в устье тупиковой выработки^{*)}, приведена на рис.4.2.

Температура воздуха рассчитывается по формулам

$$t_2 = \frac{a + c(1 + \Phi_b) - \left(1 + \frac{E}{N_T}\right)t_1 \pm \frac{\Delta t_{\text{ок}}}{N_T} - \frac{Q_{\text{ум}} \Phi_b \varphi_1}{Q_1 N_T}}{1 + \frac{A\rho}{N_T} - \Phi_b(1 + \Phi_b) - b}; \quad (4.47)$$

$$\tau_4 = c + \Phi_b t_2; \quad (4.48)$$

При установке кондиционера вблизи тупиковой выработки принимается, что он установлен в ее устье.

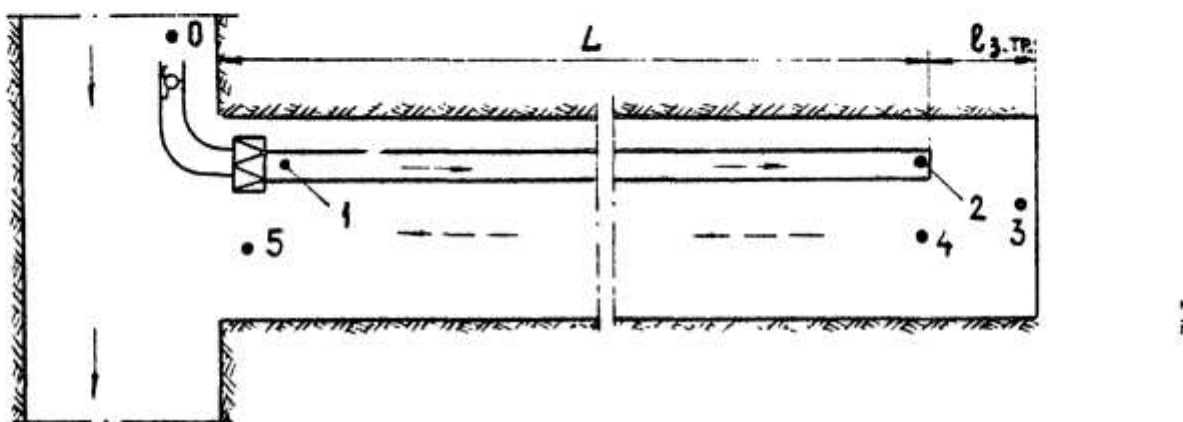


Рис. 4.2. Схема расположения характерных точек при установке воздухоохладителя (кондиционера) в начале тупиковой выработки

$$M_4 = AP + \Phi \varphi_4; \quad (4.60)$$

$$M_5 = AP + \Phi \varphi_5; \quad (4.61)$$

$$C = \frac{\prod_3}{\prod_3} (1 - \Phi_3); \quad (4.62)$$

$$\prod_3 = N_3 t_{n_3} + \frac{\sum Q_3}{Q_2} - \Phi_3 (\varphi_4 - \varphi_2); \quad (4.63)$$

$$\prod_3 = N_3 + \Phi (\varphi_4 - \varphi_2); \quad (4.64)$$

$$N_3 = \frac{K_{T_3} F_3}{Q_2}; \quad (4.65)$$

$$\Phi_3 = \left(\frac{M_4}{M_2} \right)^{-\frac{\prod_3}{\Phi(\varphi_4 - \varphi_2)}}; \quad (4.66)$$

$$M_2 = AP + \Phi \varphi_2. \quad (4.67)$$

Значения исходных данных, входящих в зависимости (4.47)–(4.67), принимаются или рассчитываются согласно п.п. 4.1–4.4. Величина барометрического давления Р рассчитывается для середины выработки. Коэффициенты аппроксимации теплосодержания воздуха А, д, д2 принимаются по табл. 4.5 для ожидаемого диапазона изменения температуры воздуха на расчетных участках. Следует учитывать, что при охлаждении воздуха общее изменение его температуры в выработке может выходить за пределы принятого диапазона

аппроксимации. В этом случае диапазоны аппроксимации принимаются для каждого расчетного участка. Так, коэффициенты аппроксимации для участка от призабойной зоны до устья выработки приведены в формулах (4.50)–(4.56) и (4.60), (4.61); для трубопроводов в формулах (4.47), (4.58); для призабойного участка – в формулах (4.62)–(4.67), а также в (4.60) при расчете значения M_4 , входящего в формулу (4.66).

В формуле (4.47) перед слагаемым $\Delta t_{cж}$ принимается (для наклонных выработок знак плюс при движении воздуха в трубопроводе вниз и минус – при движении воздуха вверх). Соответственно в формуле (4.51) знаки принимаются противоположными.

Тепловые параметры воздуха в начале трубопровода после воздухоохладителя (t_1, φ_1) принимаются по данным замеров или рассчитываются по холодопроизводительности воздухоохладителя (кондиционера)

$$t_1 = \frac{M_0 t_0 - Dg(\varphi_1 - \varphi_0) + AP_d t_{вент}}{M_1} - \frac{Q_x}{M_1 Q_1}, \quad (4.68)$$

где $M_0 = AP_0 + D\varphi_0;$ (4.69)

$$M_1 = AP_1 + D\varphi_1, \quad (4.70)$$

Q_x – фактическая производительность воздухоохладителя, ккал/ч;
 P_0 – барометрическое давление воздуха в пункте установки воздухоохладителя, мм рт.ст.

Температура и относительная влажность воздуха перед ВМП принимаются по данным замеров или определяются расчетом (раздел I). Относительная влажность воздуха после воздухоохладителя в формулах (4.68) и (4.70) принимается в пределах $\varphi_1 = 0,95 \dots 1,0$. Если ожидаемый перепад температуры в воздухоохладителе превышает диапазон аппроксимации табл. 4.5, коэффициенты А, Д, Дв., входящие в (4.68)–(4.70), принимаются по табл. 4.8.

Таблица 4.8.

Значения коэффициентов аппроксимации теплосодержания воздуха для соответствующих диапазонов температуры

Диапазон изменения температуры, °C	A · 10 ³	D	D ₂
0 - 15	0,394	0,316	2,604
5 - 20	0,388	0,416	1,613
10 - 25	0,382	0,541	-0,253
15 - 30	0,376	0,696	-3,338
20 - 35	0,370	0,886	-8,070
25 - 40	0,364	1,116	-14,945

4.6.2. Расчет холодопроизводительности воздухоохладителя, необходимой для обеспечения нормального теплового режима в призабойной зоне тупиковой выработки.

Если в результате тепловых расчетов, выполненных по зависимостям, приведенным в п.п. 4.5 или 4.6.1, окажется, что температура воздуха в призабойном пространстве превышает допустимые ПБ нормы, требуется применять охлаждение подаваемого в забой воздуха или увеличить холодопроизводительность существующего воздухоохладителя (при расчете согласно п. 4.6.1). В этом случае необходимо рассчитать потребную холодопроизводительность воздухоохладителя с учетом возможного места его расположения.

4.6.2.1. Воздухоохладитель установлен после вентилятора в начале тупиковой выработки. Схема расположения воздухоохладителя и характерных точек, тепловые параметры которых входят в расчетные зависимости, приведена на рис. 4.2. Необходимая холодопроизводительность рассчитывается по формуле

$$Q_x = Q_1 \left[M_0 t_0 - M_1 t_1 - D_b (\varphi_1 - \varphi_0) + AP_d t_{\text{вент}} \right]. \quad (4.71)$$

Температура воздуха после воздухоохладителя с учетом заданного значения $t_1 = t_{\text{пр}}$ рассчитывается по формуле

$$t_1 = \frac{\prod_b}{\prod_b} (1 - \Phi_b) + (1 + \Phi_b) t_{\text{пр}} - \left(1 + \frac{AP}{N_T} - b \right) t_2 - \frac{Q_{\text{ум}} D_b \varphi_1}{Q_1 N_T} + \frac{\Delta t_{\text{сж}}}{N_T}. \quad (4.72)$$

где $t_2 = \frac{t_{np} - c}{\Phi_3}$. (4.73)

Способы определения исходных данных и промежуточных комплексов, входящих в формулы (4.71)-(4.73) приведены в п.4.6.1. В формуле (4.72) при движении воздуха в трубопроводе вниз перед слагаемым $\Delta t_{cж}/N_t$ ставится знак плюс, вверх - минус.

Для оценки общей эффективности работы воздухоохладителя рассчитывается температура воздуха на выходе из выработки при заданной ее величине в призабойном пространстве по формуле

$$t_5 = \frac{\prod_b}{\prod_b} \left(1 - \Phi_b \right) + \Phi_b t_{np} + \frac{b(t_{np} - c)}{\Phi_3} + \frac{n_1(1 - \Phi_b)t_1}{\prod_b}. (4.74)$$

4.3.2.2. Воздухоохладитель установлен на заданном расстоянии от забоя в тупиковой выработке. Схема расположения воздухоохладителя и характерных точек, тепловые параметры которых входят в расчетные зависимости, приведена на рис. 4.3. Потребная холодоизбыточность рассчитывается по формуле

$$Q_x = Q_7 [M_7 t_7 - M_6 t_6 - D_b (\varphi_6 - \varphi_7)], \quad (4.75)$$

где $M_7 = AP_o + D\varphi_7$; (4.76)

$$M_6 = AP_o + D\varphi_6; \quad (4.77)$$

$$Q_7 = Q_2 + \frac{\ell Q_{ut}}{L}. \quad (4.78)$$

Относительная влажность воздуха после воздухоохладителя и на выходе из трубопровода принимается согласно п.4.1.5. Перед воздухоохладителем значение относительной влажности воздуха принимается равным относительной влажности после ВМШ ($\varphi_7 = \varphi_4$). Температура воздуха после воздухоохладителя (t_6) при заданном значении $t_4 = t_{np}$ определяется по формуле

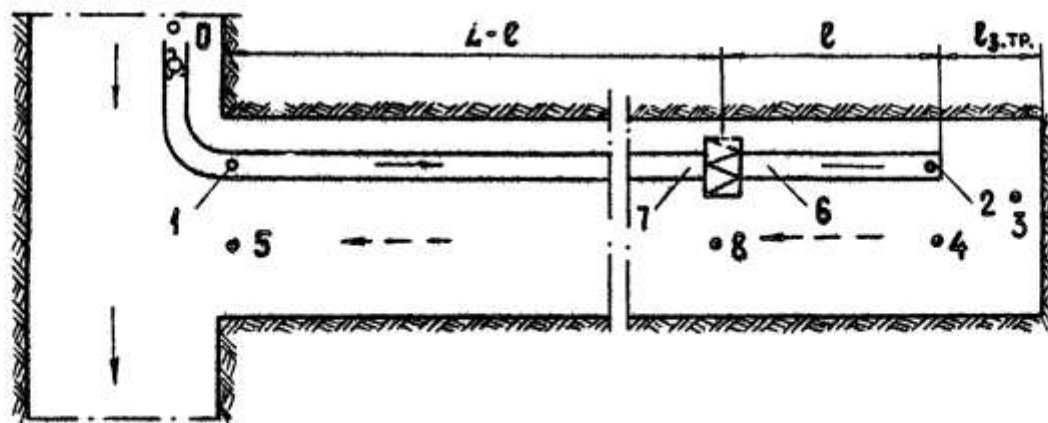


Рис. 4.3. Схема расположения характерных точек при установке воздухоохладителя (кондиционера) на заданном расстоянии от зоны тупиковой выработки

$$M_4 = AP + D\varphi_4 . \quad (4.91)$$

Температура воздуха из выхода из трубопровода (t_2) рассчитывается по формуле (4.73).

Значения коэффициентов A, D, D_B в формулах (4.84)–(4.91) принимаются по табл. 4,5 для ожидаемого диапазона изменения температуры на участке выработки от призабойной зоны до места установки воздухоохладителя (кондиционера), а в формулах (4.79) и (4.81) – в трубопроводе.

В формуле (4.79) знак плюс перед слагаемым принимается при движении воздуха в трубопроводе вниз, знак минус – при движении воздуха вверх, а в формуле (4.85) перед слагаемым Δt_{cyc}^* знаки принимаются противоположными.

Значение относительной влажности воздуха в выработке у пункта установки воздухоохладителя (кондиционера) приближенно рассчитывается по формуле

$$\varphi_8 = \varphi_4 + \frac{(\varphi_5 - \varphi_4)l}{\Delta t_{cyc}^*/N_T^*} + (0,02 \div 0,04). \quad (4.92)$$

Температура воздуха перед воздухоохладителем (t_7) рассчитывается по формуле

$$t_7 = \frac{\alpha'' + (1 + \Phi_B'') t_1 - \left(1 - \frac{AP}{N_{cp}''}\right) t_1 \pm \frac{\Delta t_{cyc}''}{N_1''}}{1 + \frac{AP}{N_{cp}''} - \beta''}, \quad (4.93)$$

где $\alpha'' = \frac{\Pi_B'' + n_1'' t_1}{\Pi_B''} (1 - \Phi_B'');$ (4.94)

$$\Pi_B'' = N_B'' t_n'' + \frac{\sum Q_B''}{Q_1} \mp \Delta t_{cyc}'' - D_B (\varphi_5 - \varphi_8); \quad (4.95)$$

$$\Pi_B'' = N_B'' + 2N_T'' + D (\varphi_5 - \varphi_8); \quad (4.96)$$

$$\varphi_b'' = \left(\frac{M_5}{M_8} \right)^{-\frac{\Pi_b''}{D(\varphi_5 - \varphi_8)}}; \quad (4.98)$$

$$b'' = \frac{N_T'' + AP \frac{Q_{ym}''}{2Q_1}}{\Pi_b''} (1 - \varphi_b''); \quad (4.99)$$

$$\Delta t_{con}'' = 0,01 AP \frac{Q_{cp}''}{Q_1} \Delta H''; \quad (4.100)$$

$$N_1'' = \frac{K_T'' U_T (L - l)}{2 Q_1}; \quad (4.101)$$

$$N_{cp}'' = \frac{K_T'' U_T (L - l)}{2 Q_{cp}''}; \quad (4.102)$$

$$N_b'' = \frac{K_T'' U (L - l)}{Q_1}; \quad (4.103)$$

$$Q_{ym}'' = \left(1 - \frac{l}{L} \right) Q_{ym}; \quad (4.104)$$

$$Q_{cp}'' = Q_{cp} + \frac{Q_{ym} l}{2 L}. \quad (4.105)$$

Комплексом M_5 и M_8 определяются соответственно по формулам (4.61) и (4.90). Значение температуры воздуха (t_b), входящее в (4.93), рассчитывается по формуле

$$t_b = \frac{\Pi_b + n'_1 t_b}{\Pi_b'} (1 - \varphi_b') + b' t_e + \varphi_b' t_{np}. \quad (4.106)$$

Комплексы Π_B^1 , Δ_B^1 , β^1 , Φ_B^1 , η^1 рассчитываются по формулам (4.84)–(4.87) и (4.89); значение температуры воздуха на выходе из труопровода – по формуле (4.73); значение температуры воздуха после воздухоохладителя (t_6^1) – по формуле (4.79). Коэффициенты A , D и D_B , входящие в комплексы (4.95)–(4.100), принимаются по табл. 4.5.

Перед слагаемым $t_{\text{сж}}^1$ в формуле (4.93) при движении воздуха в трубопроводе вниз ставится знак плюс и в формуле (4.95) знак минус; при обратном движении воздуха соответствующие знаки в этих формулах принимаются противоположными. При холодопроизводительности воздухоохладителя, определенной по формуле (4.75), температура воздуха в устье тупиковой выработки рассчитывается по формуле

$$t_5 = a'' + b'' t_7 + \varPhi'' t_8 . \quad (4.107)$$

Обозначения в формуле (4.107) те же, что и в формуле (4.93).

Во всех зависимостях п. 4.6.2.2. величины с индексом (') относятся к участку от призабойной зоны до пункта установки воздухоохладителя, а с индексом (") – к участку от пункта установки воздухоохладителя до устья тупиковой выработки.

В расчетных зависимостях п. 4.6 цифровые индексы при буквенных обозначениях соответствуют характерным пунктам, показанным на рис. 4.2 и 4.3.

4.7. Пример расчета ожидаемых значений температуры воздуха и необходимой холодопроизводительности воздухоохладителя для тупиковой выработки.

4.7.1. Характеристика выработки. Условно принимаем, что выработка расположена в районе шахты им. А.А.Скочинского, проводится горизонтально по пустым породам буровзрывным способом со средней скоростью 150 м/мес (0,208 м/ч). Породы представлены глинистыми и песчанистыми сланцами ($\lambda = 1,52$ ккал/м·ч·°C; $Q = 0,00293$ м²/ч). Сечение выработки в свету $S = 12,2$ м²; крепь металлическая арочная. К расчетному моменту длина вентиляционного трубопровода составляет $L = 800$ м, отставание трубопровода от забоя – 8 м. Абсолютная отметка устья воздухоподающего ствола $H_0 = 200$ м;

глубина ведения работ $H = 1000$ м. Выработка сухая. Состав проходческой бригады - 6 чел. Отбитая горная масса грузится в вагонетки породопогрузочной машиной 2ПНБ-2 с установленной мощностью 65 кВт. Приветривание нагнетательное, осуществляется двумя последовательно установленными вентиляторами СВИ-6М по прорезиненному трубопроводу $d_{tr} = 0,7$ м, $U_t = 2,2$ м, $S_t = 0,385 \text{ м}^2$. Перед вентилятором температура воздуха $t_0 = 23,0^\circ\text{C}$ и относительная влажность $\varphi_0 = 0,85$. Расчет производится для летнего периода года.

4.7.2. Определение исходных данных.

4.7.2.1. Периметр поперечного сечения выработки (I.2)

$$U = 3,8 \sqrt{12,2} = 13,3 \text{ м.}$$

Эквивалентный радиус выработки (I.3)

$$R_0 = \frac{2 \cdot 12,2}{13,3} = 1,83 \text{ м.}$$

Эквивалентный радиус призабойной зоны (4.23)

$$R_3 = \sqrt{1,83 \cdot 8 + 1,83^2} = 4,25 \text{ м.}$$

Поверхность призабойной зоны (4.1)

$$F_3 = 1,35 \cdot 12,2 + 13,3 \cdot 8 = 123 \text{ м}^2.$$

4.7.2.2. Количество воздуха в начале трубопровода определяется по характеристикам вентиляторов с учетом характеристики сети (трубопровода)

$$Q_1 = 18000 \text{ м}^3/\text{ч.}$$

Утечки воздуха из трубы определяются по формуле (4.3) с учетом табл. 4.3.

$$Q_{\text{ут}} = 18000 \left(1 - \frac{1}{1,96} \right) = 8820 \text{ м}^3/\text{ч.}$$

Количество воздуха на выходе из трубопровода (4.2)

$$Q_2 = 18000 - 8820 = 9180 \text{ м}^3/\text{ч.}$$

Средний расход воздуха в выработке

$$Q_{ср} = \frac{18000 + 9180}{2} = 13590 \text{ м}^3/\text{ч}.$$

4.7.2.3. Среднемесячное (в июле) барометрическое давление воздуха, поступающего в шахту, согласно табл. I.2, I.3 и по формуле (I.12)

$$P_0 = 758,4 - \frac{200 \cdot 758,4}{8000 [1 + 0,004 (21,8+1,5)]} = 741 \text{ мм рт.ст.}$$

давление воздуха на глубине выработки (I.II)

$$P = 741 + 0,09 \cdot 1000 = 831 \text{ мм рт.ст.}$$

Плотность воздуха для средних ожидаемых тепловых условий ($t_{ср} = 26^{\circ}\text{C}$, $\varphi_{ср} = 0,75$) с учетом данных табл. II. 2 по формуле (I.40)

$$\gamma = 0,464 \frac{831 - 0,75 \cdot 25,22}{273 + 26} = 1,26 \text{ кг/м}^3.$$

4.7.2.4. Весовой расход воздуха в различных пунктах выработки ($G = Q\gamma$)

$$G_1 = 18000 \cdot 1,26 = 22620 \text{ кг/ч} ;$$

$$G_2 = 9180 \cdot 1,26 = 11580 \text{ кг/ч} ;$$

$$G_{ym} = 8820 \cdot 1,26 = 11040 \text{ кг/ч} ;$$

$$G_{ср} = \frac{22620 + 11580}{2} = 17100 \text{ кг/ч} .$$

4.7.2.5. Приращение температуры воздуха от работы вентиляторов определяется по формуле (4.7). Из табл. 4.5 $A=0,000374$; $D = 0,825$; $D_B = -6,62$; по характеристике установленных последовательно двух ВМП СВИ-6 при $Q_1 = 5 \text{ м}^3/\text{сек}$, $\eta_{q1} = 0,98$; напор $h_g = 360 \text{ мм вод.ст.}$ и $\eta_g = 0,68$. Тогда мощность на валу вентилятора (4.9).

$$N_1 = \frac{18000 \cdot 360}{2} = 26 \text{ кВт} ;$$

$$\Delta t_{\text{изм}} = \frac{860 \cdot 26}{0,000374 \cdot 831 \cdot 18000 + 0,98} = 4,1^{\circ}\text{C}.$$

Температура воздуха после ВМП (4.6)

$$t_4 = 23,0 + 4,1 = 27,1^{\circ}\text{C}.$$

Относительная влажность после вентилятора (4.10)

$$\varphi_4 = \frac{0,825 \cdot 23 - 6,62}{0,825 \cdot 27,1 - 6,62} \cdot 0,85 = 0,67.$$

По табл. 4.6 ожидаемые значения относительной влажности на выходе из призабойной зоны (φ_4) и на выходе из выработки (φ_5) принимаются соответственно равными: $\varphi_4 = 0,71$; $\varphi_5 = 0,73$.

4.7.2.6. Естественная температура горных пород на глубине выработки определяется по формуле (I.13) с учетом данных табл. II. I.1 и II.1.2.

$$t_n = t_{n_3} = 8,1 + \frac{1000}{31,2} = 40,2^{\circ}\text{C}.$$

4.7.2.7. Время проветривания поверхности забоя τ_3 принимается равным 1 ч, время проветривания конца призабойной зоны

$$\tau_4 = \tau_3 + \frac{l_{3, \text{тр}}}{V_{\text{пп}}} = 1 + \frac{8}{0,208} = 40 \text{ ч},$$

время проветривания устья выработки

$$\tau_5 = \tau_4 + \frac{L}{V_{\text{пп}}} = 40 + \frac{800}{0,208} = 3890 \text{ ч}.$$

Расчетное время проветривания участка тупиковой выработки от призабойной зоны до устья (I.I7)

$$\tau_p = \frac{40 + 3890 + \sqrt{40 \cdot 3890}}{4} = 1180 \text{ ч}.$$

4.7.3. Расчет тепловыделений местных источников. В призабойной зоне

- от работы ЗИБ-2 (4.II)

$$Q_M = 860 \cdot 65 \cdot 0,4 = 22360 \text{ ккал/ч};$$

- от одновременно работающих людей (I.63)

$$Q_p = \frac{250}{\circ} \cdot 6 = 1500 \text{ ккал/ч.}$$

Суммарное тепловыделение местных источников в призабойной зоне составит

$$\sum Q_3 = 22360 + 1500 = 23860 \text{ ккал/ч.}$$

В выработке, вследствие малого объема транспортируемой в вагонетках горной массы, влиянием тепловыделения местных источников пренебрегаем

$$\sum Q_b = 0.$$

4.7.4. Расчет коэффициента тепlop передачи вентиляционного трубопровода (4.15). Определяем средние значения скорости воздуха

- в трубопроводе

$$V_T = \frac{Q_{cp}}{3600 S_T} = \frac{13590}{3600 \cdot 0,385} = 9,8 \text{ м/с.}$$

- в свободном сечении выработки

$$V_b = \frac{Q_{cp}}{3600(S-S_h)} = \frac{13590}{3600 \cdot 11,815} = 0,32 \text{ м/с.}$$

Коэффициенты теплоотдачи трубопровода

- внутренний (4.16)

$$\alpha_1 = \frac{3,7 \cdot 9,8^{0,8}}{0,7^{0,2}} = \frac{3,7 \cdot 6,21}{0,93} = 24,7 \text{ ккал/м}^2 \cdot \text{ч.}^{\circ}\text{C.}$$

- наружный (4.12)

$$\alpha_2 = 5,52 + \frac{3,7 \cdot 0,32^{0,8}}{0,7^{0,2}} = 5,52 + \frac{3,7 \cdot 0,401}{0,93} = 7,12 \text{ ккал/м}^2 \cdot \text{ч.}^{\circ}\text{C.}$$

По данным п. 4.3.1 $\delta_T = 0,001$; $\lambda_T = 0,135$.

$$K_T = \frac{1}{\frac{1}{24,7} + \frac{0,001}{0,135}} + \frac{1}{7,12} = 5,3 \text{ ккал/м}^2 \cdot \text{ч.}^{\circ}\text{C.}$$

4.7.5. Расчет коэффициентов нестационарного теплообмена для различных участков тупиковой выработки.

4.7.5.1. Для участка выработки от призабойной зоны до устья (I.78).

Коэффициент теплоотдачи от горных пород к воздуху (4.19) с учетом п. I.2.2.1.

$$\alpha_b = 6,45 + 2,52 \cdot 2 \frac{0,32^{0,8}}{1,83^{0,2}} = 8,25 \text{ ккал}/\text{м}^2 \cdot \text{ч} \cdot {}^\circ\text{C}.$$

Критерий Бло (I.79)

$$Bi = \frac{8,25 \cdot 1,83}{1,52} = 9,93 .$$

Критерий Фурье (I.82)

$$F_0 = \frac{0,00293}{1,83^2} \frac{1180}{2} = 1,03 ;$$

$$Bi' = 9,93 + 0,375 = 10,305 ;$$

$$z = 10,305 \sqrt{1,03} = 10,46 ;$$

$$f(z) = \frac{1,0011 \cdot 10,46 - 0,2575}{10,46 + 0,3406} = 0,955 ;$$

$$K_T = 8,25 \left[1 - \frac{9,93}{10,305} \cdot 0,955 \right] = 0,658 \text{ ккал}/\text{м}^2 \cdot \text{ч} \cdot {}^\circ\text{C}.$$

4.7.5.2. Для призабойной зоны (4.22)

Скорость воздуха на выходе из воздухопровода

$$V_0 = \frac{Q_e}{3600 S_T} = \frac{9180}{3600 \cdot 0,385} = 6,6 \text{ м/с} .$$

Величина поперечного сжатия струи

$$\frac{S_T}{S} = \frac{0,385}{12,2} = 0,0315 < 0,04.$$

Тогда по формулам (4.31) и (4.32)

$$\Psi_p = 25 \cdot 0,0315^{1,8} = 0,05 ;$$

$$T_1 = 0,284 \cdot 0,05^{0,55} = 0,0547$$

по формулам (4.33) и (4.34)

$$\omega = \frac{\sqrt{I + 0,05} - \sqrt{0,05}}{\sqrt{0,05 \cdot 0,05}} = 3,5 ;$$

$$A_T = \sqrt{I - \frac{0,05}{1,05}} = 0,976.$$

Среднеинтегральные значения средней скорости воздуха у поверхности стенок призабойной зоны

- в прямом потоке (4.27)

$$\bar{U}_1 = \frac{6,6}{3,5} (0,976 + 1,15 \ln \frac{I - 0,976}{I + 0,976}) = 2,31 \text{ м/с} ;$$

- в обратном потоке (4.28)

$$\bar{U}_2 = \frac{6,6}{3,5} \left[(\sqrt{3,5} - \frac{0,75 \cdot 0,0547}{\sqrt{I + 0,05}}) \ln \sqrt{\frac{I + 0,05}{0,05}} + \frac{2 \arctg \frac{0,7 \cdot 3,5}{0,7}}{0,7} \right]$$

$$- 2\sqrt{3,5} \left[(1,87 - \frac{0,041}{1,027}) \ln 4,58 + \frac{2 \arctg \frac{1,57 - 3,75}{0,836}}{0,836} \right]$$

$$= 1,88 (1,83 \cdot 1,52 + 2,4 - 3,75) = 1,88 \cdot 1,43 = 2,69 \text{ м/с}.$$

Расчетное значение скорости воздуха у поверхности ставок призабойной зоны (4.26)

$$v_3 = \frac{2,31 (0,5 \cdot 13,3 \cdot 8 + 1,35 \cdot 12,2) + 2,69 \cdot 0,5 \cdot 13,3 \cdot 8}{123} = 2,47 \text{ м/с.}$$

Приведенный коэффициент теплоотдачи от горных пород к рудничному воздуху в призабойной зоне (4.25)

$$\alpha_3 = 6,35 - \frac{2,47^{0,8}}{4,25^{0,2}} = 9,81 \text{ ккал/м}^2 \cdot \text{ч.}^{\circ}\text{C.}$$

Критерий Фурье для призабойной зоны (4.24)

$$F_{03} = \frac{0,00293 \cdot 13,5}{4,25^2} = 0,0022 ;$$

$$K_{\tau_3} = \frac{1,52 \sqrt{1 + 1,77 \sqrt{0,0022}}}{4,25 \cdot 1,77 \sqrt{0,0022} + \frac{1,52 \sqrt{1+1,77 \sqrt{0,0022}}}{9,81}} = 3,08 \text{ ккал/м}^2 \cdot \text{ч.}^{\circ}\text{C}$$

4.7.6. Определение промежуточных расчетных комплексов по формулам (4.38) – (4.46)

Для ожидаемого диапазона изменения температуры 25–35°С по табл. 4.7 принимаем

$$m_t = -21,705 ; \quad n_t = 1,645.$$

$$\text{Тогда } m_T = \frac{1890}{831} (-21,705) = -49,365 ;$$

$$n_T = 1,645 \frac{1890}{831} = 3,74 ;$$

$$K_g = \frac{11580}{22620} = 0,512 ;$$

$$\mathcal{N}_T = \frac{5,3 \cdot 2,2 \cdot 800 \cdot 0,512}{2 \cdot 0,24 \cdot 17100} = 0,582 ;$$

$$\mathcal{N}_3 = \frac{3,08 \cdot 123}{2 \cdot 0,24 \cdot 11580} = 0,068 ;$$

$$\mathcal{N}_b = \frac{0,658 \cdot 13,3 \cdot 800}{0,24 \cdot 17100} = 1,706 ;$$

$$\mathcal{N}_3 = I + 0,068 + 3,74 \cdot 0,7I = 3,723 ;$$

$$\mathcal{N}_3 = 2 \cdot 0,068 \cdot 40,2 + \frac{23360}{0,24 \cdot 11580} \circ 49,365 (0,67 - 0,7I) +$$

$$+ 3,74 \cdot 27,1 \cdot 0,67 = 5,46 + 8,58 + 1,97 + 67,91 = 83,92 .$$

4.7.7. Расчет температуры в характерных точках выработки без охлаждения воздуха по формулам (4.35) – (4.37)

$$t_2 = \frac{27,1 (I-0,582) 3,723 + 2 \cdot 0,582 \cdot 83,92}{3,723 + 0,582 (3,723 + 2 \cdot 0,068 - 2)} = \frac{42,17 + 97,68}{4,805} = 29,1^{\circ}\text{C} ;$$

$$t_4 = \frac{83,92 + 29,1 (I-0,068)}{3,723} = 29,8^{\circ}\text{C} ;$$

$$t_5 = \frac{1,706 \cdot 40,2 + (I-1,164 - 0,853 + 3,74 \cdot 0,7I) 29,8 + 0,582 \times}{I + 0,853 \cdot 3,74 \cdot 0,73}$$

$$\underline{I (27,1 + 29,1) - (-49,365)(0,67 - 0,7I)} = \frac{68,58 + 48,82 + 32,7I + 0,99}{4,583} = 33,0^{\circ}\text{C}.$$

4.7.8. Расчет температуры в тупиковой выработке, обводненной термальными водами.

Расчет ведется подобно изложенному в п.п. 4.7.1-4.7.7 со следующими изменениями и дополнениями:

- в п. 4.7.1 : температура термальных вод $t_T = 42^{\circ}\text{C}$;
- в п. 4.7.2.5: по табл. 4.6 для влажных выработок $\varphi_4=0,77$;
 $\varphi_5=0,79$;
- в п. 4.7.5.1: принимается отвод по выработке термальных вод в канавке с обычным перекрытием и по графику рис. 2.5 определяется значение избыточной температуры стенки горной выработки.

При $B_L = 9,93$ и $F_0 = 1,03$, $\vartheta = 0,22$;

- в п. 4.7.5.2: величина K_{T_3} заменяется соответствующей ей величиной $\alpha_x = 30 \text{ ккал}/\text{м}^2 \cdot \text{ч} \cdot {}^{\circ}\text{C}$;
- в п. 4.7.6:

$$N_3 = \frac{\alpha_x F_3}{2 G_2 C_p} = \frac{30 \cdot 123}{0,48 \cdot 11580} = 0,663 ;$$

$$N_6 = \frac{\alpha_b \vartheta U L}{G_{cp} C_p} = \frac{8,25 \cdot 0,22 \cdot 13,3 \cdot 800}{0,24 \cdot 17100} = 4,705 ;$$

$$\Pi_3 = I + N_3 + n_T \varphi_4 = I + 0,663 + 3,74 \cdot 0,77 = 4,542 ;$$

$$\Pi_3 = 2 N_3 t_T + \frac{\sum Q_3}{G_2 C_p} + m_T (\varphi_1 - \varphi_4) + n_T t_1 \varphi_1 = 2 \cdot 0,663 \cdot 42 +$$

$$+ \frac{23860}{0,24 \cdot 11850} - 49,365 (0,67 - 0,77) + 3,74 \cdot 27,1 \cdot 0,67 = 137,II ;$$

- в п. 4.7:

$$t_2 = \frac{27,1(I-0,582) \cdot 4,542 + 2 \cdot 0,582 \cdot 137,II}{4,542 + 0,582 (4,542 + 2 \cdot 0,663 - 2)} = \frac{51,435 + 159,458}{6,793} =$$

$$= 31,05^{\circ}\text{C} ;$$

$$t_4 = \frac{137,II + 31,05 (I-0,663)}{4,542} = 32,49^{\circ}\text{C} ;$$

$$t_5 = \frac{4,705 \cdot 42 + (I - 1,164 - 2,352 + 3,74 \cdot 0,77) \cdot 32,49 + 0,582 \cdot}{I + 2,352 + 3,74 + 0,79}$$

$$\frac{(31,05 + 27,1) - (-49,365)(0,79 - 0,77)}{6,306} = \frac{197,61 + II,793 +}{6,306}$$

$$+ 33,843 + 0,99 = 38,7^{\circ}\text{C}.$$

4.7.9. Расчет необходимой холодопроизводительности воздухоохладителя (рис. 4.2) для нормализации тепловых условий в призабойной зоне.

Как видно из приведенных в п. 4.7.7 расчетов, температура вентиляционной струи на выходе из призабойной зоны превышает нормы, регламентируемые Пö. Для создания нормальных температурных условий необходимо применять искусственное охлаждение воздуха, подаваемого в забой выработки.

4.7.9.1. Дополнительные исходные данные.

Согласно п. 4.1.5 следующие значения относительной влажности воздуха после воздухоохладителя (φ_1), на выходе из призабойной зоны (φ_4), и на выходе из выработки (φ_5) принимаются соответственно равными: $\varphi_1 = 0,97$; $\varphi_4 = 0,73$; $\varphi_5 = 0,75$, а на выходе из трубопровода

$$\varphi_2 = 0,95 \cdot 0,73 = 0,69.$$

Коэффициент теплопередачи трубопровода охлажденного воздуха (4.18)

$$K_T = \frac{I}{\frac{I}{24,7} + \frac{0,001}{0,135} + \frac{T}{2,97 \cdot 7,12}} = 10,53 \text{ ккал}/\text{м}^2 \cdot \text{ч} \cdot {}^{\circ}\text{C},$$

где коэффициент влаговыпадения (I.71)

$$\xi = I + \frac{70,1}{831} \cdot 0,74 (4,54 + 27) = 2,97.$$

Коэффициент нестационарного теплообмена для призабойной зоны (4.20)

$$k_{T_3} = \frac{3,82}{123} + \frac{31,8}{\sqrt{I} + \sqrt{40}} = 4,682 \text{ ккал}/\text{м}^2 \cdot \text{ч} \cdot {}^\circ\text{C}.$$

4.7.9.2. Определение промежуточных расчетных комплексов по формулам (4.51)–(4.67).

Для ожидаемого интервала изменения температуры в призабойной зоне и в свободном сечении выработки 20–30⁰C по табл. 4.5 принимаем

$$A = 0,374 \cdot 10^{-3}; \quad \varphi = 0,825; \quad \varphi_b = -6,62.$$

Для ожидаемого изменения температур в трубопроводе в интервале 15–30⁰C принимаем по табл. 4.8 для комплекса (4.58) и формулы (4.72)

$$A = 0,376 \cdot 10^{-3}; \quad \varphi = 0,696; \quad \varphi_b = -3,338.$$

$$\mathcal{N}_b = \frac{0,658 \cdot 13,3 \cdot 800}{18000} = 0,389;$$

$$\mathcal{N}_T = \frac{10,53 \cdot 2,2 \cdot 800}{2 \cdot 18000} = 0,515;$$

$$\mathcal{N}_3 = \frac{4,682 \cdot 123}{9180} = 0,0627;$$

$$\Pi_b = 0,389 \cdot 40,2 + 6,62 (0,75 - 0,73) = 15,77;$$

$$\Pi_b = 0,389 + 2 \cdot 0,515 + 0,825 (0,75 - 0,73) = 1,436;$$

$$\Pi_4 = 0,515 - 0,374 \cdot 10^{-3} \cdot 831 \cdot \frac{8820}{2 \cdot 18000} = 0,439;$$

$$M_4 = 0,374 \cdot 10^{-3} \cdot 831 + 0,825 \cdot 0,73 = 0,913;$$

$$M_5 = 0,374 \cdot 10^{-3} \cdot 83I + 0,825 \cdot 0,75 = 0,930 ;$$

$$M_2 = 0,374 \cdot 10^{-3} \cdot 83I + 0,825 \cdot 0,69 = 0,880 ;$$

$$\Phi_b = \left(\frac{0,930}{0,913} \right) - \frac{1,436}{0,825 (0,75-0,73)} = 0,195 ;$$

$$b = \frac{0,515 + 0,374 \cdot 10^{-3} \cdot 83I \cdot 2 \cdot 18000}{1,436} (I-0,195) = 0,33I ;$$

$$\Pi_3 = 0,0627 \cdot 40,2 + \frac{23860}{9180} + 6,62 (0,73-0,69) = 5,384 ;$$

$$\Pi_3 = 0,0627 + 0,825 (0,73 - 0,69) = 0,0957 ;$$

$$\Phi_3 = \left(\frac{0,913}{0,880} \right) - \frac{0,0957}{0,825 (0,73-0,69)} = 0,885 ;$$

$$C = \frac{5,384}{0,0957} (I - 0,885) = 6,47 ;$$

$$E = \frac{8820}{18000} \cdot 0,696 \cdot 0,97 - \frac{9180}{18000} \cdot 0,376 \cdot 10^{-3} \cdot 83I = 0,172 .$$

4.7.9.3. Расчет необходимой температуры воздуха после воздухоохладителя, установленного в начале вырасстки. Предварительно по формуле (4.73) рассчитывается температура воздуха на выходе из трубопровода, с учетом $t_4 = t_{pr} = 26^{\circ}\text{C}$.

$$t_2 = \frac{26 - 6,47}{0,885} = 22,07^{\circ}\text{C}.$$

Необходимая температура воздуха после воздухоохладителя вычисляется по формуле (4.72)

$$t_1 = \frac{\frac{15,77}{1,436} (I - 0,195) + 26(I + 0,95) - 22,07(I + \frac{0,376 \cdot 10^{-3} \cdot 83I}{0,515}) - 0,33I}{I + \frac{0,172}{0,515} - \frac{0,439}{1,436} (I - 0,195)} +$$

$$+ \frac{\frac{8820}{18000} \cdot \frac{3,338}{0,515} \cdot 0,97}{I + \frac{0,172}{0,515} - \frac{0,439}{1,436} (I - 0,195)} = 14,5^0C .$$

4.7.9.4. Расчет неоходимой холодопроизводительности воздухоохладительной установки. Расчет производится по формуле (4.7J). Предварительно вычисляются значения M_0 и M_1 по зависимостям (4.69)-(4.70). При этом по табл. 4.8 для интервала температур $15-30^0C$ принимаем значения коэффициентов:

$$A = 0,376 \cdot 10^{-3}; \quad D = 0,696; \quad D_B = -3,338;$$

$$M_0 = 0,376 \cdot 10^{-3} \cdot 83I + 0,696 \cdot 0,85 = 0,904;$$

$$M_1 = 0,376 \cdot 10^{-3} \cdot 83I + 0,696 \cdot 0,97 = 0,987.$$

Отсюда,

$$Q_x = 18000 \left[0,904 \cdot 25 - 0,987 \cdot 14,5 + 3,338 (0,97 - 0,85) + \right. \\ \left. + 0,376 \cdot 10^{-3} \cdot 83I \cdot 4,1 \right] = 146900 \text{ ккал/ч} .$$

4.7.9.5. Ожидаемая температура воздуха на выходе из выработки при определенной холодопроизводительности воздухоохладителя рассчитывается по формуле (4.82)

$$t_5 = \frac{15,77}{1,436} (I - 0,195) + 0,195 \cdot 26 + \frac{0,33I (26 - 6,47)}{0,885} + \\ + \frac{0,439 (I - 0,195) \cdot 14,5}{1,436} = 24,8^0C .$$

Из расчетов видно, что нормальные температурные условия в рассматриваемой тупиковой выработке могут быть обеспечены при установке только двух кондиционеров КПШ-3 в устье выработки.

4.7.10. Расчет необходимой холодопроизводительности воздухоохладителя для нормализации тепловых условий в призабойной зоне, установленного на заданном расстоянии от забоя в тупиковой выработке (рис. 4.3).

4.7.10.1. Исходные данные для участка от призабойной зоны до пункта установки воздухоохладителя (принимаем $\ell = 200$ м). Количество воздуха, поступающего в воздухоохладитель, согласно формуле (4.78)

$$Q_{\text{р}} = 9180 + \frac{8820 \cdot 200}{800} = 11380 \text{ м}^3/\text{ч}.$$

Средний расход воздуха на расчетном участке (4.81)

$$Q'_{\text{ср}} = 9180 + \frac{8820 \cdot 200}{2 \cdot 800} = 10280 \text{ м}^3/\text{ч}.$$

Среднее значение скорости воздуха:

- в свободном сечении выработки

$$V_b' = \frac{Q'_{\text{ср}}}{3600 \cdot (S - S_T)} = \frac{10280}{3600 \cdot 11,815} = 0,24 \text{ м/с};$$

- в трубопроводе

$$V_T' = \frac{Q'_{\text{ср}}}{3600 \cdot S_T} = \frac{10280}{3600 \cdot 0,385} = 7,42 \text{ м/с}.$$

Согласно п. 4.1.5 ожидаемые значения относительной влажности воздуха после воздухоохладителя (φ_6), на выходе из призабойной зоны (φ_4) и на выходе из трубопровода (φ_2) принимаются: $\varphi_6 = 0,97$; $\varphi_4 = 0,73$; $\varphi_2 = 0,98 \cdot 0,73 = 0,715$, а в пункте установки воздухоохладителя (φ_8) рассчитывается по формуле (4.92)

$$\varphi_8 = 0,73 + \frac{(0,75 - 0,73) \cdot 200}{800} + 0,025 = 0,76.$$

Время проветривания выработки в пункте установки воздухоохладителя

$$\tau_8 = \tau_4 + \frac{l}{\lambda_{\text{тр}}} = 40 + \frac{200}{0,208} = 1000 \text{ ч.}$$

Расчетное время проветривания участка от призабойной зоны до места установки воздухоохладителя (I.17)

$$\tau_p^1 = \frac{40 + 1000 + 2 \sqrt{40 \cdot 1000}}{4} = 360 \text{ ч.}$$

Коэффициент нестационарного теплообмена определяется по формуле (I.78). Предварительно рассчитываются коэффициент теплоотдачи от горных пород к воздуху (4.19)

$$\alpha_g^1 = 6,45 + 2,52 \cdot 2 \frac{0,24^{0,8}}{1,85^{0,2}} = 7,88 \text{ ккал}/\text{м}^2 \cdot \text{ч.}^{\circ}\text{C} ;$$

- критерий Био (I.79)

$$Bi = \frac{7,88 \cdot 1,83}{1,52} = 9,487 ;$$

$$Bi' = 9,487 + 0,375 = 9,862 ;$$

- критерий Фурье (I.82)

$$F_0 = \frac{0,00293 \cdot 360}{1,83^2} = 0,315 ;$$

$$\Xi = 9,862 \sqrt{0,315} = 5,532 ;$$

$$f(\Xi) = \frac{1,0011 \cdot 5,532 - 0,2575}{5,532 + 0,3406} = 0,899.$$

Тогда коэффициент нестационарного теплообмена

$$K_t' = 7,88 \left[1 - \frac{9,487}{9,862} \cdot 0,899 \right] = 1,072 \text{ ккал}/\text{м}^2 \cdot \text{ч} \cdot {}^\circ\text{C}.$$

Коэффициент теплоотдачи трубопровода охлажденного воздуха определяется по формуле (4.18). Предварительно вычисляются коэффициенты теплоотдачи трубопровода

- внутренний (4.16)

$$\alpha_1' = 3,7 \cdot \frac{7,42}{0,7^{0,2}} = 19,75 \text{ ккал}/\text{м}^2 \cdot \text{ч} \cdot {}^\circ\text{C};$$

- наружный (4.17)

$$\alpha_2' = 5,52 + 3,7 \cdot \frac{0,24}{0,7^{0,2}} = 6,79 \text{ ккал}/\text{м}^2 \cdot \text{ч} \cdot {}^\circ\text{C}.$$

Коэффициент лагов выпадения (1.71)

$$\xi = 1 + \frac{70,1}{831} \cdot 0,745 (4,54 + 26) = 2,92.$$

Коэффициент теплопередачи трубопровода

$$K_T' = \frac{1}{\frac{1}{19,75} + \frac{0,001}{0,135} + \frac{1}{2,92 \cdot 6,79}} = 9,22 \text{ ккал}/\text{м}^2 \cdot \text{ч} \cdot {}^\circ\text{C}.$$

4.7.10.2. Определение промежуточных комплексов по формулам (4.80)-(4.91). Для ожидаемого интервала изменения температуры воздуха 20-30 °С в выработке и в призабойной зоне по табл. 4.5 принимаем $A = 0,374 \cdot 10^{-3}$; $D = 0,825$; $D_B = -6,62$, которые используются в формулах (4.84)-(4.91). В трубопроводе - для 15-25 °С соответственно $A = 0,380 \cdot 10^{-3}$; $D = 0,644$; $D_B = -2,3$, которые используются в формулах (4.79) и (4.81). В формулах (4.81), (4.88)-(4.91) величина

$$\Delta P = 0,374 \cdot 10^{-3} \cdot 831 = 0,311.$$

С учетом принятых значениями относительной влажности воздуха

$$M_4 = 0,3II + 0,825 \cdot 0,75 = 0,913 ;$$

$$M_8 = 0,3II + 0,825 \cdot 0,76 = 0,938 ;$$

$$M_2 = 0,3II + 0,825 \cdot 0,715 = 0,901 .$$

Значения комплексов, относящихся к участку выработки от призабойной зоны до места установки воздухоохладителя,

$$\mathcal{N}_6^1 = \frac{1,072 \cdot 13,3 \cdot 200}{II380} = 0,25 ;$$

$$\mathcal{N}_T^1 = \frac{9,22 \cdot 2,2 \cdot 200}{2 \cdot II380} = 0,178 ;$$

$$\Pi_B^1 = 0,25 \cdot 40,2 + 6,62 (0,76 - 0,73) = 10,249 ;$$

$$\Pi_B^1 = 0,25 + 2 \cdot 0,178 + 0,825 (0,76 - 0,73) = 0,631 ;$$

$$\varphi_B^1 = \left(\frac{0,938}{0,913} \right) - \frac{0,631}{0,825 (0,76 - 0,73)} = 0,506 ;$$

$$\Pi_1 = 0,178 - 0,3II \cdot \frac{8820 \cdot 200}{2 \cdot II380 \cdot 800} = 0,178 - 0,03 = 0,148 ;$$

$$\beta^1 = \frac{0,178 + 0,03}{0,631} (I - 0,506) = 0,163 .$$

Значения комплексов, относящихся к участку призабойной зоны, с учетом вычислений в п. 4.7.8.2

$$\Pi_3^1 = 0,0627 \cdot 40,2 + \frac{25830}{9180} + 6,62 (0,73 - 0,715) = 5,219 ;$$

$$\Pi_3^1 = 0,0627 + 0,825 (0,73 - 0,715) = 0,075 ;$$

$$\varphi_3^1 = \left(\frac{0,913}{0,901} \right) - \frac{0,075}{0,825 (0,73 - 0,715)} = 0,922 ;$$

$$C^1 = \frac{5,219}{0,075} (I - 0,922) = 5,428 .$$

Принимая $t_4 = t_{\text{пп}} = 26^{\circ}\text{C}$, по формуле (4.73) получим

$$t_2 = \frac{26 - 5,428}{8,922} = 22,3^{\circ}\text{C}.$$

Значения комплексов, относящихся к участку трубопровода от призабойной зоны до воздухоохладителя

$$E'_1 = \frac{9180}{11380} (0,38 \cdot 10^{-3} \cdot 83I + 0,644 \cdot 0,97) = 0,759;$$

$$E'_2 = 0,38 \cdot 10^{-3} \cdot 83I + 0,644 \cdot 0,715 = 0,776.$$

4.7.10.3. Температура воздуха перед воздухоохладителем определяется по формуле (4.79)

$$t_6 = \frac{\frac{10,249}{0,63I} (I-0,506)+26(I+0,506)-\left(I+\frac{0,776}{0,178}-0,163\right)22,3}{I-\frac{0,759}{0,178}-\frac{0,148}{0,63I}(I-0,506)}$$

$$= \frac{2,3 \left(\frac{9180}{11380} \cdot 0,97 - 0,715 \right)}{I-\frac{0,759}{0,178}-\frac{0,148}{0,63I}(I-0,506)} = 20,3^{\circ}\text{C}.$$

4.7.10.4. Температура воздуха в выработке у пункта установки воздухоохладителя с учетом данных п. 4.7.10.2 вычисляется по формуле (4.106)

$$t_8 = \frac{10,249 + 0,148 \cdot 20,3}{0,63I} (I-0,506) + 0,163 \cdot 22,3 + 0,506 \cdot 26 = 27,2^{\circ}\text{C}$$

4.7.10.5. Расчет температуры воздуха в трубопроводе перед воздухоохладителем производится по формуле (4.93). Предварительно определяются значения исходных данных, а также промежуточных комплексов.

Согласно п. 4.1.5 ожидаемые значения относительной влаж-

ности воздуха в устье тупиковой выработки (φ_5), после ВМП (φ_4), перед воздухоохладителем (φ_7) принимаются соответственно равными: $\varphi_5 = 0,73$, $\varphi_4 = 0,67$ (см. п. 4.7.2.5), $\varphi_7 = \varphi_1 = 0,67$, а в пункте установки воздухоохладителя — $\varphi_8 = 0,76$ (см. п. 4.7.10.1).

Для ожидаемого интервала изменения температуры воздуха в трубопроводе и в выработке $25\text{--}35^{\circ}\text{C}$ по табл. 4.5 принимаем

$$A = 0,368 \cdot 10^{-3}; D = 1,046; D_B = -12,93;$$

$$\Delta P = 0,368 \cdot 10^{-3} \cdot 831 = 0,306.$$

$$\text{Длина расчетного участка } L - l = 800 - 200 = 600 \text{ м.}$$

Утечки воздуха из трубопровода на участке от устья выработки до воздухоохладителя (4.104)

$$Q_{y_m}'' = \left(1 - \frac{200}{800}\right) 8820 = 6620 \text{ м}^3/\text{ч.}$$

Средний расход воздуха (4.105)

$$Q_{cp}'' = \frac{18000 + 9180}{2} + \frac{8820 \cdot 200}{2 \cdot 800} = 14690 \text{ м}^3/\text{ч.}$$

Среднее значение скорости воздуха

— в свободном сечении выработки

$$V_b'' = \frac{Q_{cp}''}{3600 (S - S_r)} = \frac{14690}{3600 \cdot 11,815} = 0,34 \text{ м/с.}$$

— в трубопроводе

$$V_T'' = \frac{Q_{cp}''}{3600 \cdot S_T} = \frac{14690}{3600 \cdot 0,385} = 10,6 \text{ м/с.}$$

Коэффициент теплоотдачи от горных пород к воздуху (4.19)

$$\alpha_b'' = 6,45 + 2,52 \cdot 2 \cdot \frac{0,34^{0,8}}{1,83^{0,2}} = 8,33 \text{ ккал}/\text{м}^2 \cdot \text{ч.}^{\circ}\text{C.}$$

Расчетное время проветривания участка от устья выработки до пункта установки воздухоохладителя (см. п.4.7.2.7 и п.4.7.10.1)

$$\tau_p'' = \frac{1000 + 3890 + 2\sqrt{1000 \cdot 3890}}{4} = 1320 \text{ ч.}$$

Критерий Бло

$$Bi = \frac{8,33 \cdot 1,83}{1,52} = 10,029 ;$$

$$Bi' = 10,029 + 0,375 = 10,404.$$

Критерий Фурье

$$F_0 = \frac{0,00293 \cdot 1320}{1,83^2} = 1,154 ;$$

$$Z = 10,404 \sqrt[1]{1,154} = 10,987 ;$$

$$f(Z) = \frac{1,0011 \cdot 10,987 - 0,2575}{10,987 + 0,3406} = 0,948.$$

Коэффициент вестационарного теплообмена (1.78)

$$K_t'' = 8,33 \left[1 - \frac{10,029}{10,404} \cdot 0,948 \right] = 0,717 \text{ ккал}/\text{м}^2 \cdot \text{ч} \cdot {}^\circ\text{C} .$$

Коэффициент теплопередачи трубопровода на участке от устья выработки до пункта установки воздухоохладителя определяется по формуле (4.15). Предварительно вычисляются коэффициенты теплоотдачи

- внутренний (4.16)

$$\alpha_1'' = 3,7 \cdot \frac{10,6^{0,8}}{0,7^{0,2}} = 26,27 \text{ ккал}/\text{м}^2 \cdot \text{ч} \cdot {}^\circ\text{C} ;$$

- наружный (4.17)

$$\alpha_2'' = 5,52 + 3,7 \frac{0,34^{0,8}}{0,7^{0,2}} = 7,2 \text{ ккал}/\text{м}^2 \cdot \text{ч} \cdot {}^\circ\text{C} .$$

Коэффициент теплоизменности трубы

$$K_T'' = \frac{I}{\frac{I}{26,27} + \frac{0,001}{0,135} + \frac{I}{7,2}} = 5,43 \text{ ккал}/\text{м}^2 \cdot \text{ч} \cdot {}^\circ\text{C}.$$

Промежуточные комплексы определяются по формулам (4.94)-(4.105)

$$M_5^0 = 0,306 + I,046 \cdot 0,73 = I,069 ;$$

$$M_8 = 0,306 + I,046 \cdot 0,76 = I,101 ;$$

$$N_1'' = \frac{5,43 \cdot 2,2 \cdot 600}{2 \cdot 18000} = 0,199 ;$$

$$N_{cp}'' = \frac{5,43 \cdot 2,2 \cdot 600}{2 \cdot 14690} = 0,244 ;$$

$$N_6'' = \frac{0,717 \cdot 13,3 \cdot 600}{18000} = 0,318 ;$$

$$\Pi_8'' = 0,318 \cdot 40,2 + I2,93 (0,73 - 0,76) = I2,396 ;$$

$$\Pi_6'' = 0,318 + 2 \cdot 0,199 + I,046 (0,73 - 0,76) = 0,685 ;$$

$$\varphi_6'' = \left(\frac{I,069}{I,101} \right) - \frac{0,685}{I,046 (0,73-0,76)} = 0,524 ;$$

$$n_1'' = 0,199 - 0,306 \cdot \frac{6620}{2 \cdot 18000} = 0,13 - 0,056 = 0,143 ;$$

$$\zeta'' = \frac{0,199 + 0,056}{0,685} (I - 0,524) = 0,177 ;$$

$$Q'' = \frac{I2,396 + 0,143 \cdot 27,1}{0,685} (I - 0,524) = II,307.$$

Ожидаемая температура воздуха перед воздухоохладителем будет равна

$$t_7 = \frac{11,307 + (I + 0,524) 27,2 + \left(\frac{0,306}{0,244 - I} \right) 27,1}{I + \frac{0,306}{0,254}} = 28,7^{\circ}\text{C}.$$

4.7.I0.6. Потребная холодопроизводительность воздухоохладителя, установленного в выработке, определяется по формуле (4.75). Предварительно вычисляются комплексы M_7 и M_8 по зависимостям (4.76) и (4.77). Так как ожидаемая разность температур входит в интервал $20\text{--}30^{\circ}\text{C}$, то из табл. 4.5 принимаем $A = 0,374 \cdot 10^{-3}$; $D = 0,825$ и $D_B = -6,62$.

$$M_7 = 0,374 \cdot 10^{-3} \cdot 83I + 0,825 \cdot 0,67 = 0,863 ;$$

$$M_8 = 0,374 \cdot 10^{-3} \cdot 83I + 0,825 \cdot 0,97 = 1,III .$$

Тогда ожидаемая холодопотребность воздухоохладителя составит

$$Q_x = \left[0,863 \cdot 28,7 - 1,III \cdot 20,3 + 6,62 (0,97 - 0,67) \right] II380 = \\ = 47800 \text{ ккал/ч.}$$

4.7.I0.7. Температура воздуха на выходе из тупиковой выработки при расчетном значении холодопроизводительности воздухоохладителя вычисляется по формуле (4.I07)

$$t_5 = 11,307 + 0,177 \cdot 28,7 + 0,524 \cdot 27,2 = 30,6^{\circ}\text{C}.$$

Из расчетов видно, что нормальные температурные условия в призабойной зоне тупиковой выработки могут быть обеспечены при непрерывной работе воздухоохладителя холодопроизводительностью 50 000 ккал/ч, установленного на расстоянии 200 м от зеноя. Однако, в значительной части тупиковой выработки от призабойной зоны до ее устья температура воздуха будет превышать нормативную.

Приложение I
Таблица П.И.1

Средние значения температуры земной поверхности и величин геотермической ступени для геотермических участков Донбасса

Номер геотермического участка			$t_{\text{зп}}$, °C	$\Gamma_{\text{ср}}$, м/°C	Номер геотермического участка			$t_{\text{зп}}$, °C	$\Gamma_{\text{ср}}$, м/°C
I	II	III	1	2	3	I	II	III	
Красноармейский район									
I	9,5	35,6	II	9,6	37,6				
2	10,0	34,2	II2	10,7	38,6				
3	9,9	33,9	Чистяково-Снежинский район						
4	9,9	34,7	I	9,5	41,4				
5	10,3	36,5	2	9,0	39,8				
6	10,5	34,1	3	8,8	44,1				
Днепро-Донбасский район					Центральный район				
I	9,8	34,9	I	11,9	33,7				
2	10,3	34,3	2	11,2	44,0				
3	10,5	32,8	3	9,7	42,8				
			4	10,5	47,1				
Донецко-Макеевский район					5	9,5	48,4		
I	9,7	39,7	6	3,9	42,7				
2	8,1	31,2							
3	9,1	35,9	Старобельский район						
4	9,3	32,8	I	12,0	49,9				
5	8,8	42,2	2	12,5	43,2				
6	8,0	34,5	3	11,1	43,7				
7	9,9	33,1	Лисичанский район						
8	8,4	34,1	I	11,6	38,3				
9	9,8	40,6	2	10,2	37,8				
10	10,1	36,3							

Продолжение таблицы П I.I

I	2	3	I	2	3
<u>Шахтинско-Несветаевский район</u>					
1	II,3	48,5	5	II,I	44,2
2	IO,4	42,5	6	II,3	45,0
3	IO,0	39,3	7	II,9	45,3
4	IO,4	40,9			

23.23.88

Таблица II. 1.2.

Привязка шахтных полей и геологопромышленных
комплексов к геотермическим участкам Донбасса

Номера геотермических участков	Название шахт, шахт-управлений и геологопромышленных комплексов
I	2

МГО-ЗАПАДНАЯ ЧАСТЬ ДОНБАССА

Красноармейский район

- 1 ш."Украина", ш."Селидовская-южная", ш.им. Коротченко,
ш."Россия", ш/у Кураховское, ш.5-6 им. димитрова, ш. I "Но-
вогродовка", ш.2-"Новогродовка", ш.3-3-оио.
- 2 ш."Краснолиманская", ш.1-"Центральная", ш."Родинская",
ш."Красноармейская-Капитальная", уч. Северо-Родинский
Глубокий № 2.
- 3 ш. I-2 "доорополье", ш.им. XXI съезда КПСС, ш."Водянская"
4 г/ш "Красноармейская", ш. I7-I8 РККА, ш. 3 "Доорополье".
- 5 г в "Пионер" Д-2, Терешковская перспектива
- 6 ш.им. Т.Г.Шевченко, добровольская западная перспектива.

ЮЖНО-Донбасский район

- 1 Южно-донааски. №4, Южно-Донбасский № 6
(без северной части)
- 2 Южно-Донааскии 2,3,5,8-9.
- 3 Кураховская перспектива, Западно-Кураховская перспектива,
уч.Южно-донааский № 6 - северная часть.

Донецко-Макеевский район

- 1 уч. Петровский Глубокий, уч.Георгиевский, Трудовской-Глубо-
кий, Кураховский Глубокий, Черкашевский Глубокий.
- 2 ш.им.Челюскинцев, ш.4-2I, ш.II и ш.12 ш/у Трудовское,
ш."Петровская-Глубокая" комбината Донецкшахтострой, уч.Алек-
сандровский, уч. Курахово-Марьинский.

Продолжение таблицы II.1.2

1	2
3	ш.им. Абакумова, ш."Октябрьская", ш.10-бис, Октябрьский рудник комбината Донецкхантострой
4	ш.2-7 "Лидиевка", ш.им. Засядько - стр. № 8, ш.№ 13, ш."Кировская" № 29, ш."Ново-Центральная", ш.им. газеты Социалистический Донбасс", ш.им. Калинина, ш. № 31.
5	уч. Октябрьский Глубокий, Октябрьский рудник комбината Донецкхантострой.
6	ш.им. Засядько, ш. "Бутовка-Донецкая", уч. Октябрьский Глубокий южный.
7	ш."Чайкино", ш."Орджоникидзе", ш/у Ново-Мушкетовское, ш."Мушкетовская-Запоревальная", № 9, ш. "Ганзовская", ш. "Мушкетовская-Вертикальная".
8	ш.им. Бажанова, Макеевско-Ханжоновская площадь - северная часть, уч. Бутовский Глубокий.
9	ш/у Октябрьское, ш."Пролетарская-Крутая" и ш. "Колосниковская-Восточная", ш/у им. Ленина, ш.им. Батова, ш."Грушевская-Наклонная", ш."Пролетарская-Глубокая", ш.им. Ленина, ш."Колосниковская № 1" ш/у им. Ленина, ш/у им. Кирова, ш/у Ясиновское, Макеевско-Ханжоновская площадь - южная часть.
10	ш/у Холодная Балка, ш."Колосниковская" № 2 ш/у им. Ленина, Харцызско-Иловайская площадь, уч. Ханжоновско-Каменский.
11	ш. "Ясиновская-Глубокая" ш/у Ясиновское, ш/у 3-й Пятилетки.
12	Пролетарская перспектива, Ново-Москово, Н-Крынка Глубокая; Иловайская перспектива.

Чистяково-Снежнянский район

1	ш/у Тернопольское, ш/у Рассвет, ш/у Мдановское, ш/у Зуевское.
2	ш."Волынская", ш/у Торезское, ш."Шахтерская" ш/у им. И. Мая, ш."Киевская", ш/у постниковское, ш."Фоминская", ш."Контарная", ш."Виктория", ш/у им. Чапаева, ш.14-14-бис, ш. 2-2-бис, ш."Шахтерская-Глубокая" комбината Донецкхантострой, Зуево-Ореховская площадь, ш.Лутугина, ш."Донецкая", ш/у Кисилева,

Продолжение таблицы II.1.2

	I	II	2
			ш."Объединенная", ш. № 17, ш."Снежнянская", ш."Прогресс" - южное крыло, уч. Донецкий-Капитальный.
3			ш."Винницкая", ш/у Стомковское, ш."Московская", ш/у Комсомольское, уч. Россыпнянский, ш/у Красная Звезда, ш.З-Бис, ш."Лесная", ш."Суходольская", ш."Миусская", ш."Прогресс" - северное крыло.

Центральный район

1	ш.им.Дзержинского, ш/у Торецкое, уч.дзержинский Глубокий.
2	ш.им.Ворошилова, ш.им.Изотова, ш.им.Артема, ш."Мжная", ш.им.Гагарина, ш."Комсомолец", ш.им. Ленина, уч.Румянцевский Глубокий - западное крыло.
3	ш."Кочегарка", ш.им.Румянцева, ш.им.Гаевого, ш.им.Калинина, ш."Александровская-Западная", ш.им.К.Маркса, уч.Румянцевский Глубокий - восточное крыло.
4	ш."Красный профитерн", ш."Красный Октябрь", ш."им.Коммунаров", ш/у Александровское, ш/у Углегорская-Западная.
5	ш."Бакинская", ш."Полтавская Комсомольская", уч.Миуссинский Северный, уч.Миуссинский № 1 и № 2 (северная часть); Миуссовская перспектива.
6	уч.Углегорский, Северо-Миусская перспектива, уч.Миусский, уч.Миусский № 1 и № 2 (южная часть).

СРЕДНЯЯ ЧАСТЬ ДОНЬАССА

Старобельский район

уч.проф.Руоежанский, пл.Варваровская, пл. Боровская,
уч.проф.Пугачев-Айдарский, пл.Муратовская,пл.Грачишинская.
пл. Краснодеркульская, пл. Лобочевская.
уч.Богдановский, уч.Богдановский № 6, уч.Богдановский 5-7.

Лисичанский район

ш."Кременская", ш.им.Капустина, ш."Привольнянская", ш."Ново-дружка", уч.ш."Привольянской", уч.Северо-Лисичанский.

Продолжение таблицы II.1.2

	1	2
2		ш.им.Мельникова, уч.ш.им.Мельникова, ш."Черноморка", ш."Матросская", ш."Войкова", уч.Горский Глубокий.
Алмазно-Марьевский район		
1		ш."Горская", ш."Карбонит", ш."Радуга", уч.Горский Глубокий уч.Светлановский
2		ш."Родина", ш."Золотое", ш."Михайловская", ш."Менжинского", ш."Сокологоровка", ш.им.Кирова, ш."Голуевская", ш.№ 100, ш. № 77 , ш.ХХII съезда КПСС, ш."Максимовская", ш.им.Чеснокова, ш.3-3-оис, ш."Криничанская", ш."Бекановская", ш."Гончковская", ш."пролетарская", ш."Луганская", уч.Светлановский – южная часть.
3		ш."Вергелевская", ш/у Домоносовское, ш."Анненская", ш."Замковская", ш.им.дзержинского, ш.им.Ильича, ш/у Криворожье, ш."Брянская", ш."Краснопольевская", ш.І--І-оис, уч. Мироновский Глубокий, Сануаровская перспектива, уч.Ломоватский, уч.Анненский Вертикальный.
Луганский район		
1		ш."Черкасская", ш/у Черкасское, ш."Славяносербская", ш."Дотикова", ш/у Черкасское, уч. Тельмановский (зап.крыло),
2		ш/у ХІІ съезда КПСС, ш."Белореченская", ш/у им.Ленина, уч.Сутаган Пологий.
3		уч. Климатовский, уч.Тельмановский (вост.крыло), уч.Новосветловский .
4		уч. Чипаевского рудника
5		уч.Менчекуровский
Краснодонский район		
1		уч. Краснодонский Северный, Краснодонская южная перспектива
2		уч.Краснодонский Северный I.

Продолжение таблицы П.1.2

I	1	2
3		ш."Молодогвардейская", ш. 50 лет СССР, ш."Самсоновская Западная" комбината "Ворошиловградшахтотроходка".
4		ш."Северная", ш."Победа", ш/у Суходольское, ш."Лютикова", ш."Дуванная", ш. им. Баракова, ш. "Суходольская-Восточная", комбината Ворошиловградшахтотроходка.
5		ш."Энгельсовская", ш."Ореховская", ш."Галовская", ш."Краснодонская", Ореховская восточная перспектива, уч. Краснодонский Глубокий - зап.крыло.
6		ш."Краснодарская", уч. Краснодонский Глубокий - восточное крыло, уч. Краснодонский Южный.

Селезневский район

1	ш/у Чоринское, ш/у им. Косиора, ш/у им. Артема, ш/у Украина, ш/у Черевальское, уч. Селезневский, уч. Анненковский Вертикальный - южное крыло.
---	-----------------------------------------------------------------------------------------------------------------------------------------------

Ореховский район

1	уч. Первозвановский, уч. Лутугинский Южный I, Лутугинская Южная перспектива.
---	------------------------------------------------------------------------------

Баково-Артальский район

1	ш/у Запорожское, ш.152, ш/у Краснокутское, уч. Краснолучский I, уч. Фацевский нижний.
2	ш.4 ш/у Артальское, ш.7-8, ш."Знамя коммунизма". ш."Миуссинская", ш/у Алмазное, уч. Фацевский рудник, уч. Гравовский рудник.
3	ш.21 ш/у Краснокутское, ш."Известия" и 10-10-оис ш/у им. газеты "Известия", ш. 32 ш/у им. газеты "Ворошиловградская Правда", ш.им. Вахрушева, ш."Центральная", ш.30 ш/у им. газеты "Ворошиловградская правда", ш."Новопавловская", ш. "Краснолучская", ш.4-оис ш/у Знамя коммунизма, ш.им. XXII съезда КПСС, уч. Нагольченский западный.

продолжение таблицы и.1.2

	I	2
4		ш/у нагольчанское, ш."Партизанская", ш."Дружба", ш/у им. им. 50 лет Советской Украины, ш/у Фрунзе, уч. ш. им. Фрунзе - западное крыло.
		Должанский район
1		ш/у Ровеньковское, им. XXIII съезда КПСС, ш/у Дауринского, Свердловская перспектива, уч.Ш.им.Фрунзе - восточная часть
2		ш/у ленинское, ш/у Космонавтов
3		ш.им.Володарского, ш."Центрросоюза", ш/у Свердлова, ш.67 ш/у Одесское, ш."Харьковская", ш/у Наклонное, ш.66 ш/у Маяк, уч. Володарский рудник
4		ш."Красный Партизан", ш."Майская", ш."Богучаровская", уч.должанский Каменский
5		ш.25 ш/у Наклонное, ш.71 ш/у Маяк, уч.должанский-жилой, уч.должанский-жилой № I

ВОСТОЧНАЯ ЧАСТЬ ДОНБАССА

Миллеровский район

1 Миллеровская западная поисковая площадь

Каменско-Гундоровский район

1 уч. Грачинский Западный, уч.Грачинский, уч.Карачевский, уч. Глубокинский № I

2 ш."Донецкая", ш."Центральная", ш."Гундоровская", ш."Изворинская", ш."Западная", уч.Михайловский Южный, уч. Михайловский Южный 2,3,4, уч. Деревеченский № 3, № 6

3 уч. Каменский I,II, Южно-Каменский I,II, Северо-Донецкий №I, З.Лиховский Северный № 2.

Белокалитвенский район

1 Дядинский комплекс, уч.Ясиновский, уч.Бугаевский восточный, уч. Глубокий, ш/у Белокалитвенское, ш.5.

2 Северо-Дядинская поисковая площадь, уч.Горняцкий Западный I,II,Ш.Шолоховский Глубокий, уч.Сухой 2, Сухой Южный,

Продолжение таблицы II.1.2

	1	2
		уч.Жерловский, ш/у Белокалитвенское, ш. № 4.
3		ш."Восточная", ш."Шолоховская", уч.Горняцкий Южный № 2, Западно-Быстрианский, Тацинский Ш, Горняцкий Кругой, Горняцкий Кругой 2, Грачевский Северный
		Тацинский район
1		уч.ш."Быстрианской I,П, уч. Тацинский, уч. Тацинский Замковый северный и южный, уч.Михайловский I,П,Ш,IУ, ш/у Тацинское.
2		уч. Коминтерновский, уч.Быстрианский П, уч.Суховский I,П,Ш
		Гуково-Зверевский район
1		ш."Углерод", ш."Комиссаровская", уч.Углерод Западный, Углерод Глубокий, уч.Замчаловский, Замчаловский Южный, Свободная Площадь Гуково-Зверевского угленосного района; Южно-Волченский комплекс,уч.Розеттовский Западный, уч. Замчаловский Западный, Заповедный Северный, уч. Лиховской, уч. Восточно-Чичерский, уч. Лиховской З.
2		ш."Антрафлит", ш/у Бургустинское, ш.им. 50-летия Октября, ш."Ростовская", ш/у Алмазное, ш/у Замчаловское, ш."Гуковская", ш."Октябрьская", уч. Заповедный Восточный, уч. Заповедный Южный, ш. "Степная".
3		ш. "Зверевская",ш."Обуховская" комбината Ростовшахтострой, ш."Дальняя", Свободная площадь Гуково-Зверевского угленосного района, уч. ш. Обуховская Западная, уч. ш.Обуховской I, уч. Шерловский южный I.
4		Калиновский комплекс, уч.Калиновский Бостонный, уч.Калиновский 2, ш."Шерловская".
		Краснодонецкий район
1		ш/у Краснодонецкое, уч.Краснодонецкий Замковый, Краснодонецкий Глубокий, уч.ш."Краснодонецкий" I, Краснодонецкий Северный I, Усть-Быстрианский, уч.Серебряковский.

Продолжение таблицы П.Т.2

1	2
Сулино-Садкинский район	
1	уч. Сулинский Северный I, Сулинский Северный II, уч.ш."Сулинская" № 1,2 и 3.
2	уч. Горный I,II,III, уч. Садкинский № 2 Западный, уч. Садкинский № 2 Центральный, уч. Южно-Кундрюченский, уч. ш."Южно-Кундрюченский"
Шахтинско-Несветаевский район	
1	ш."Соколовская", Северо-Несветаевский комплекс, Несветаевский Замковый, уч. Маянский, уч. Большой Несветаевский, уч. Самбековский южный I,2 и 3.
2	ш."Коминтерновская", ш."Красногорьевская", ш."Южно-Горьковская", ш."Западная-Капитальная", ш.им.газеты "Комсомольская Правда", ш."Несветаевская", ш/у Самбековское, ш.им.Горького, ш.№ 43 ш/у Степановское, уч. Восточно-Несветаевский, уч. Малонесветаевский, уч. Горьковский Южный. с
3	ш.3-1-бис (закрыта), ш."Юбилейная", ш.им.Ленина, ш/у Степановское, ш.3-2-бис, ш.им. Кирова, уч.Кировский Южный I,3, Аютинский Западный, Аютинский Глубокий, уч. Степановский
4	ш."Наклонная",ш."Аютинская",уч.Аютинский Глубокий, Шахтинский Глубокий, Аютинский комплекс.
5	ш. "Пролетарская диктатура" (закрыта), ш."Комсомольская Правда" (закрыта), ш."Майская", ш."Джная", ш."Нежданная", уч. Нежданский Глубокий.
6	ш/у Мирное ш."Мирная", ш.им. Артема, ш.20 лет РККА (закрыта), ш."Глубокая", ш.им.Октябрьской Революции, ш."Красина", уч. Красинский южный, уч. Октябрьский южный.
7	уч. Ягодинский, Ягодинский Восточный, уч.ш."Бессергеневской", Корчикский, Корчикский южный, уч.ш."Раздорской". Западный I,2, Раздорский, Южно-Раздорский комплекс.

Продолжение таблицы II.1.2

I	II	2
---	----	---

Задонский район

уч Ново-Золотовский I, II, III и IV, Ново-Золотовский
Глубокий, Ново-Золотовский Замковый, Семикаракорский лево-
бережный, Семикаракорский южный, Степановский I и II,
Виоловский I, II, III, IV, V, VI, VII, VIII, IX, X, XI.

Приложение 2
Таблица П.2

Парциальное давление насыщенного водяного пара

t , $^{\circ}\text{C}$	P , мм рт.ст.	t , $^{\circ}\text{C}$	P , мм рт.ст.	t , $^{\circ}\text{C}$	P , мм рт.ст.
1	2	1	2	1	2
0	4,58	2,9	5,64	5,8	6,91
0,1	4,61	3,0	5,68	5,9	6,96
0,2	4,64	3,1	5,72	6,0	7,01
0,3	4,67	3,2	5,76	6,1	7,06
0,4	4,71	3,3	5,80	6,2	7,11
0,5	4,75	3,4	5,84	6,3	7,16
0,6	4,78	3,5	5,89	6,4	7,21
0,7	4,81	3,6	5,93	6,5	7,26
0,8	4,85	3,7	5,97	6,6	7,31
0,9	4,89	3,8	6,01	6,7	7,36
1,0	4,93	3,9	6,05	6,8	7,41
1,1	4,96	4,0	6,10	6,9	7,46
1,2	4,99	4,1	6,14	7,0	7,51
1,3	5,03	4,2	6,18	7,1	7,56
1,4	5,07	4,3	6,22	7,2	7,61
1,5	5,11	4,4	6,27	7,3	7,66
1,6	5,14	4,5	6,32	7,4	7,72
1,7	5,17	4,6	6,36	7,5	7,78
1,8	5,21	4,7	6,40	7,6	7,83
1,9	5,25	4,8	6,44	7,7	7,88
2,0	5,29	4,9	6,49	7,8	7,93
2,1	5,33	5,0	6,54	7,9	7,99
2,2	5,37	5,1	6,58	8,0	8,05
2,3	5,41	5,2	6,63	8,1	8,10
2,4	5,45	5,3	6,68	8,2	8,15
2,5	5,49	5,4	6,73	8,3	8,20
2,6	5,52	5,5	6,78	8,4	8,26
2,7	5,56	5,6	6,82	8,5	8,32
2,8	5,60	5,7	6,86	8,6	8,37

188 Продолжение таблицы П.2

I	1	2	!	I	1	2	!	I	1	2
8,7		8,43		I2,3		I0,73		I5,9		I3,55
8,8		8,49		I2,4		I0,80		I6,0		I3,64
8,9		8,55		I2,5		I0,87		I6,1		I3,73
9,0		8,61		I2,0		I0,94		I6,2		I3,81
9,2		8,73		I2,8		II,08		I6,4		I3,99
9,3		8,79		I2,9		II,15		I6,5		I4,08
9,4		8,85		I3,0		II,23		I6,6		I4,17
9,5		8,91		I3,1		II,30		I6,7		I4,26
9,6		8,97		I3,2		II,37		I6,8		I4,35
9,7		9,03		I3,3		II,45		I6,9		I4,44
9,8		9,09		I3,4		II,53		I7,0		I4,53
9,9		9,15		I3,5		II,61		I7,1		I4,62
I0,0		9,21		I3,6		II,68		I7,2		I4,71
I0,1		9,27		I3,7		II,75		I7,3		I4,80
I0,2		9,33		I3,8		II,83		I7,4		I4,90
I0,3		9,39		I3,9		II,91		I7,5		I5,00
I0,4		9,45		I4,0		II,99		I7,6		I5,09
I0,5		9,52		I4,1		I2,06		I7,7		I5,18
I0,6		9,58		I4,2		I2,14		I7,8		I5,28
I0,7		9,64		I4,3		I2,22		I7,9		I5,38
I0,8		9,70		I4,4		I2,30		I8,0		I5,48
I0,9		9,77		I4,5		I2,38		I8,1		I5,57
II,0		9,84		I4,6		I2,46		I8,2		I5,67
II,1		9,90		I4,7		I2,54		I8,3		I5,77
II,2		9,97		I4,8		I2,62		I8,4		I5,87
II,3		I0,04		I4,9		I2,70		I8,5		I5,97
II,4		I0,11		I5,0		I2,79		I8,6		I6,07
II,5		I0,18		I5,1		I2,87		I8,7		I6,17
II,6		I0,24		I5,2		I2,95		I8,8		I6,27
II,7		I0,31		I5,3		I3,03		I8,9		I6,31
II,8		I0,38		I5,4		I3,12		I9,0		I6,48
II,9		I0,45		I5,5		I3,21		I9,1		I6,58
I2,0		I0,52		I5,6		I3,29		I9,2		I6,68
I2,1		I0,59		I5,7		I3,37		I9,3		I6,78
I2,2		I0,66		I5,8		I3,46		I9,4		I6,89

I	1	2	I	1	2	I	1	I	1	2
19,5	17,00	23,2	21,33	26,9	26,594					
19,6	17,10	23,3	21,46	27,0	26,750					
19,7	17,21	23,4	21,59	27,1	26,908					
19,8	17,32	23,5	21,72	27,2	27,066					
19,9	17,43	23,6	21,85	27,3	27,224					
20,0	17,54	23,7	21,98	27,4	27,382					
20,1	17,65	23,8	22,11	27,5	27,54					
20,2	17,76	23,9	22,24	27,6	27,704					
20,3	17,87	24,0	22,38	27,7	27,868					
20,4	17,98	24,1	22,51	27,8	28,032					
20,5	18,09	24,2	22,64	27,9	28,196					
20,6	18,20	24,3	22,78	28,0	28,36					
20,7	18,31	24,4	22,92	28,1	28,526					
20,8	18,42	24,5	23,06	28,2	28,692					
20,9	18,54	24,6	23,20	28,3	28,858					
21,0	18,66	24,7	23,34	28,4	29,024					
21,1	18,77	24,8	23,48	28,5	29,19					
21,2	18,88	24,9	23,62	28,6	29,362					
21,3	19,00	25,0	23,76	28,7	29,534					
21,4	19,12	25,1	23,904	28,8	29,706					
21,5	19,24	25,2	24,048	28,9	29,818					
21,6	19,35	25,3	24,192	29,0	30,05					
21,7	19,47	25,4	24,346	29,1	30,226					
21,8	19,59	25,5	24,48	29,2	30,402					
21,9	19,71	25,6	24,628	29,3	30,578					
22,0	19,83	25,7	24,772	29,4	30,754					
22,1	19,95	25,8	24,916	29,5	30,93					
22,2	20,07	25,9	25,06	29,6	31,11					
22,3	20,19	26,0	25,22	29,7	31,29					
22,4	20,31	26,1	25,37	29,8	31,47					
22,5	20,44	26,2	25,52	29,9	31,65					
22,6	20,56	26,3	25,67	30,0	31,83					
22,7	20,68	26,4	25,82	30,1	32,016					
22,8	20,81	26,5	25,97	30,2	32,202					
22,9	20,94	26,6	26,126	30,3	32,388					
23,0	21,07	26,7	26,282	30,4	32,574					
23,1	21,20	26,8	26,438	30,5	32,760					

I	1	2	1	I	1	2	1	I	1	2
30,6	32,952		34,3	40,558			38,0	49,710		
30,7	33,144		34,4	40,774			38,1	49,982		
30,8	33,336		34,5	41,040			38,2	50,254		
30,9	33,528		34,6	41,27			38,3	50,526		
31,0	33,710		34,7	41,50			38,4	50,798		
31,1	33,904		34,8	41,73			38,5	51,070		
31,2	34,098		34,9	41,96			38,6	51,348		
31,3	34,292		35,0	42,19			38,7	51,626		
31,4	34,496		35,1	42,428			38,8	51,904		
31,5	34,680		35,2	42,666			38,9	52,182		
31,6	34,878		35,3	42,904			39,0	52,460		
31,7	35,076		35,4	43,142			39,1	52,744		
31,8	35,274		35,5	43,38			39,2	53,028		
31,9	35,472		35,6	43,62			39,3	53,312		
32,0	35,670		35,7	43,86			39,4	53,596		
32,1	35,870		35,8	44,10			39,5	53,880		
32,2	36,074		35,9	44,34			39,6	54,172		
32,3	36,276		36,0	44,58			39,7	54,464		
32,4	36,478		36,1	44,826			39,8	54,756		
32,5	36,69		36,2	45,072			39,9	55,048		
32,6	36,90		36,3	45,318			40,0	55,340		
32,7	37,11		36,4	45,564			40,1	55,638		
32,8	37,32		36,5	45,810			40,2	55,936		
32,9	37,53		36,6	46,064			40,3	56,234		
33,0	37,74		36,7	46,328			40,4	56,532		
33,1	37,954		36,8	46,572			40,5	56,830		
33,2	38,168		36,9	46,826			40,6	57,136		
33,3	38,370		37,0	47,080			40,7	57,442		
33,4	38,584		37,1	47,35			40,8	57,748		
33,5	38,81		37,2	47,62			40,9	58,054		
33,6	39,03		37,3	47,89			41,0	58,360		
33,7	39,25		37,4	48,16			41,1	58,672		
33,8	39,47		37,5	48,38			41,2	58,984		
33,9	39,69		37,6	49,096			41,3	59,296		
34,0	39,91		37,7	49,362			41,4	59,608		
34,1	40,126		37,8	49,628			41,5	59,92		
34,2	40,342		37,9	49,894			41,6	60,24		

Предолжение таблицы П.2

I	1	2	I	1	2	I	1	I	1	2
41,7	60,56		43,2	65,504		44,7	70,808			
41,8	60,88		43,3	65,846		44,8	71,172			
41,9	61,20		43,4	66,188		44,9	71,536			
42,0	61,52		43,5	66,53		45,0	71,9			
42,1	61,846		43,6	66,88		45,1	72,264			
42,2	62,172		43,7	67,23		45,2	72,628			
42,3	62,498		43,8	67,58		45,3	72,992			
42,4	62,824		43,9	67,93		45,4	73,356			
42,5	63,150		44,0	68,28		45,5	73,760			
42,6	63,484		44,1	68,64		45,6	74,172			
42,7	63,818		44,2	69,00		45,7	74,524			
42,8	64,152		44,3	69,36		45,8	74,906			
42,9	64,486		44,4	69,72		45,9	75,288			
43,0	64,820		44,5	70,08		46,0	75,670			
43,1	65,162		44,6	70,444						

Таблица П.3.1

Теплофизические свойства транспортируемого угля

Марка угля	Выход летучих, %	Теплофизические свойства	Размерность	Влажность транспортируемого ископаемого, %					
				I	3	5	7	9	II
I	2	3	4	5	6	7	8	9	10
I	2-5	C	ккал/кг. ⁰ С	0,255	0,270	0,285	0,300	0,316	0,330
		λ	ккал/м.ч. ⁰ С	0,107	0,127	0,149	0,170	0,191	0,212
		Q	10^4 кг/ч	5,24	5,87	6,53	7,08	7,55	8,03
II	5-8	C	0,263	0,278	0,293	0,308	0,322	0,337	
		λ	0,098	0,116	0,136	0,156	0,175	0,194	
		Q	4,65	5,21	5,80	6,33	6,79	7,19	
III	8-12	C	0,269	0,284	0,298	0,313	0,328	0,343	
		λ	0,092	0,109	0,128	0,146	0,164	0,182	
		Q	4,25	4,84	5,34	5,82	6,25	6,65	
IV	12-15	C	0,274	0,289	0,304	0,318	0,333	0,348	
		λ	0,086	0,103	0,121	0,138	0,155	0,172	
		Q	3,92	4,45	4,97	5,42	5,81	6,17	
V	15-18	C	0,282	0,297	0,311	0,326	0,340	0,355	
		λ	0,081	0,097	0,113	0,130	0,145	0,162	
		Q	3,59	4,08	4,54	4,98	5,33	5,70	
VI	18-22	C	0,288	0,302	0,317	0,331	0,346	0,360	
		λ	0,078	0,094	0,110	0,126	0,141	0,157	
		Q	3,41	3,88	4,36	4,74	5,11	5,44	

Приложение 3
Таблица П.3.2.

Значения средних безразмерных температур Θ_{vn} и Θ_{vk} для
ископаемого в вагонетках

$F_0 \cdot 10^4$	B_L											
	1	2	3	5	10	16	20	30	50	100	200	∞
0,5	0,9998	0,9996	0,9995	0,9986	0,9978	0,9973	0,9960	0,9940	0,9898	0,9849	0,9755	
1	0,9997	0,9993	0,9991	0,9972	0,9957	0,9948	0,9927	0,9892	0,9832	0,9771	0,9663	
2	0,9994	0,9986	0,9983	0,9946	0,9918	0,9902	0,9865	0,9808	0,9722	0,9645	0,9527	
4	0,9989	0,9974	0,9967	0,9896	0,9846	0,9817	0,9756	0,9669	0,9551	0,9460	0,9335	
6	0,9984	0,9963	0,9951	0,9849	0,9780	0,9741	0,9660	0,9551	0,9414	0,9316	0,9189	
8	0,9980	0,9951	0,9936	0,9804	0,9717	0,9669	0,9573	0,9447	0,9298	0,9194	0,9067	
10	0,9975	0,9940	0,9921	0,9760	0,9658	0,9602	0,9493	0,9353	0,9194	0,9088	0,8960	
20	0,9953	0,9886	0,9846	0,9558	0,9394	0,9309	0,9152	0,8972	0,8787	0,8674	0,8546	
40	0,9910	0,9780	0,9700	0,9211	0,8962	0,8842	0,8636	0,8420	0,8218	0,8104	0,7979	
60	0,9866	0,9674	0,9556	0,8909	0,8603	0,8463	0,8231	0,7999	0,7793	0,7679	0,7558	
80	0,9821	0,9566	0,9410	0,8638	0,8291	0,8137	0,7889	0,7650	0,7443	0,7330	0,7212	
100	0,9774	0,9456	0,9264	0,8391	0,8012	0,7848	0,7590	0,7347	0,7141	0,7030	0,6915	

Приложение 4

Таблица II.4.1

Теплофизические характеристики крепежных и изоляционных материалов

Наименование материала	Плотность кг/м ³	Теплофизические свойства		
		$\lambda \cdot 10^4$, м ² /к	с, ккал °C	с, ккал м.ч. °C
Бетон	1900-2270	20,0-23,0	0,211	0,8-1,1
Пенобетон	400-600	15,0-13,3	0,25	0,15-0,20
Бетон сухой	2180	11,0	0,27	0,65
Железобетон	2200-2400	27,3-27,1	0,20	1,2-1,3
Шлакобетон	2150	17,7	0,21	0,8
Бутовая кладка	1700-2200	23,5-27,3	0,20	0,8-1,2
Шлак гранулированный	500-600	11,1-13,9	0,18	0,10-0,15
Кирпич красный обожженный	1400-1300	16,2-20,2	0,22	0,5-0,8
Кирпичная кладка влажная	1960	19,5	0,22	0,84
Дерево	500-800	4,0-4,2	0,60	0,12-0,20
Дуб, перпендикулярно волокнам	780-820	3,8-4,1	0,60	0,18-0,20
То же, параллельно волокнам	780-820	6,4-7,1	0,60	0,30-0,35
Сосна и ель, перпендикулярно волокнам	580-620	3,2-3,7	0,65	0,12-0,15
То же, параллельно волокнам	580-620	7,4-8,2	0,65	0,28-0,33
Стекловолокно	200	9,6-28,7	0,157	0,03-0,09
Шлаковата	200-300	9,4-13,0	0,18	0,034-0,07
Пенопласт (ФРП-1, резопен)	75-100	13,0-10,5	0,38	0,037-0,04
Пенополистирол ПСБ-С	50	16,4	0,40	0,0328
Перлитопластбетон	230	5,6	0,32	0,041
Пенополиуретан ППУ-6	60	15,1	0,36	0,0326
Минеральная вата	250-400	8,0-8,0	0,25	0,05-0,08
Минеральный войлок	250-350	9,6-9,1	0,25	0,06-0,08

Приложение 5

Таблица П.5

Значения коэффициента K_p в зависимости от критерия Коссовича K_0 и температурного симплекса K_T

K_T	K_p при различных значениях критерия Коссовича $ K_0 $									
	0,1	0,5	1,0	5	10	15	20	25	30	
0	0,99	0,80	0,60	0,33	0,25	0,19	0,17	0,152	0,14	
0,1	0,85	0,657	0,542	0,3	0,223	0,184	0,164	0,148	0,136	
0,5	0,586	0,535	0,448	0,276	0,21	0,171	0,150	0,142	0,132	
1	0,428	0,394	0,359	0,244	0,19	0,167	0,15	0,136	0,126	
2	0,287	0,276	0,266	0,201	0,168	0,15	0,136	0,125	0,117	
4	0,170	0,17	0,169	0,15	0,132	0,122	0,113	0,106	0,1	
8	0,101	0,101	0,101	0,095	0,09	0,086	0,083	0,078	0,076	
12	0,073	0,073	0,073	0,07	0,067	0,065	0,064	0,062	0,06	
16	0,056	0,056	0,056	0,055	0,054	0,053	0,052	0,05	0,049	
20	0,045	0,045	0,045	0,045	0,044	0,044	0,0435	0,043	0,042	

БП0616 Подписано к печати 2.02. 1979г.

Усл. физич. лист. 12,29 Учетно-изд. лист.

Заказ № 2388 Тираж 170 экз.

Ротапринт гортиографии № 2
340002, г. Донецк, пр. Б. Хмельницкого, 102